



Hochschule für Angewandte Wissenschaften Hamburg  
*Hamburg University of Applied Sciences*

# Bachelorthesis

Joshua Supra

Entwicklung einer Handsteuerung für  
Schrittmotoren mit Mikrocontroller und FPGA

Joshua Supra  
Entwicklung einer Handsteuerung für  
Schrittmotoren mit Mikrocontroller und FPGA

Bachelorthesis eingereicht im Rahmen der Bachelorprüfung  
im Studiengang Informations- und Elektrotechnik  
am Department Informations- und Elektrotechnik  
der Fakultät Technik und Informatik  
der Hochschule für Angewandte Wissenschaften Hamburg

Betreuender Prüfer : Prof. Dr.-Ing. Karl-Ragmar Riemschneider  
Zweitgutachter : Prof. Dr. Pawel Buczek

Abgegeben am 14. September 2018

**Joshua Supra**

## **Thema der Bachelorthesis**

Entwicklung einer Handsteuerung für Schrittmotoren mit Mikrocontroller und FPGA

## **Stichworte**

Handsteuerung, Mikrocontroller, FPGA, STM32F4, Cyclone IV, 2-Phasen-Schrittmotoren, Hardware, Software, Firmware

## **Kurzzusammenfassung**

Im Rahmen dieser Bachelorthesis wird eine Handsteuerung für 2-Phasen-Schrittmotoren entwickelt. Mit dieser Handsteuerung wird es möglich sein, experimentelle Aufbauten am DESY im Vorwege zu überprüfen. Es werden die Konzepte für die Hardware, die Software im Mikrocontroller und die Firmware für den FPGA skizziert und erläutert. Basierend auf den Konzepten wird die Handsteuerung realisiert. Abschließend werden Funktionstests durchgeführt und ein Ausblick auf die zukünftigen Entwicklungen gegeben.

**Joshua Supra**

## **Title of the paper**

Development of a hand control for stepper motors with microcontroller and FPGA

## **Keywords**

Hand control, microprocessor, FPGA, STM32F4, Cyclone IV, 2-phase-stepper-motors, hardware, software, firmware

## **Abstract**

In this bachelor thesis a hand control for 2-phase-stepper-motors will be developed. With this hand control it will be possible to validate experimental construction at DESY in advance. Concepts for the hardware, the software of the microprocessor and firmware for the FPGA will be described. Based on these concepts the hand control will be realised. Eventually the functionality will be tested and a prospect on future developments will be given.

# Inhaltsverzeichnis

<b>1. Einführung</b>	<b>7</b>
1.1. DESY . . . . .	7
1.2. Großanlagen am DESY in Hamburg . . . . .	8
1.3. Experiment Control Gruppe . . . . .	9
1.4. Schrittmotoren . . . . .	9
1.5. Aufgabe . . . . .	13
<b>2. Konzeption und Vorstudie</b>	<b>14</b>
2.1. Rahmenbedingungen . . . . .	14
2.1.1. Kontrolleinheit . . . . .	14
2.1.2. Endstufe . . . . .	14
2.1.3. Spannungsversorgung . . . . .	15
2.1.4. Backplane . . . . .	15
2.1.5. Gehäuse . . . . .	16
2.1.6. Encoder . . . . .	17
2.2. Anforderungen . . . . .	18
2.2.1. Hardware Anforderungen . . . . .	18
2.2.2. Software Anforderungen . . . . .	19
2.2.3. Firmware Anforderungen . . . . .	19
2.3. Konzept der Handsteuerung . . . . .	20
2.3.1. Konzept der Hardware . . . . .	21
2.3.2. Konzept der Software im Mikrocontroller . . . . .	22
2.3.3. Konzept der Firmware im FPGA . . . . .	23
<b>3. Realisierung der Konzepte</b>	<b>25</b>
3.1. Auswahl der Komponenten . . . . .	25
3.1.1. Mikrocontroller . . . . .	27
3.1.2. FPGA . . . . .	28
3.2. Aufbau der Leiterplatte . . . . .	30
3.3. Die Software im Mikrocontroller . . . . .	31
3.3.1. Menüsteuerung . . . . .	31
3.3.2. Speicherung der eingestellten Endstufenparameter . . . . .	31

---

3.3.3. Schnittstelle für die Kommunikation zum Display . . . . .	32
3.3.4. Schnittstelle für die Kommunikation zum FPGA . . . . .	33
3.3.5. Parametrierung der Endstufe . . . . .	33
3.3.6. Programmablauf . . . . .	34
3.4. Aufbau der Firmware im FPGA . . . . .	41
3.4.1. Auswerten von Encodern . . . . .	41
3.4.2. Verarbeitung der Kommunikation über SPI im FPGA . . . . .	41
3.4.3. Datenverwaltung . . . . .	45
3.4.4. Frequenzerzeugung im FPGA . . . . .	46
3.4.5. Impulserzeugung . . . . .	48
3.4.6. Impulszähler . . . . .	52
<b>4. Test und Validierung</b>	<b>53</b>
4.1. Erstinbetriebnahme . . . . .	53
4.2. Validierung einzelner Funktionen . . . . .	56
4.2.1. Impulserzeugung . . . . .	56
4.2.2. Lesen von Encoder-Signalen . . . . .	57
4.2.3. Kommunikation mit der Endstufe . . . . .	58
4.3. Funktionstest der ZMX-Handsteuerung für 2-Phasen-Schrittmotoren . . . . .	59
<b>5. Auswertung und Bewertung</b>	<b>63</b>
5.1. Auswertung . . . . .	63
5.2. Ausblick . . . . .	64
5.2.1. EtherCAT Anbindung . . . . .	64
5.2.2. Positionsregelung . . . . .	64
<b>Abkürzungsverzeichnis</b>	<b>65</b>
<b>Tabellenverzeichnis</b>	<b>67</b>
<b>Abbildungsverzeichnis</b>	<b>69</b>
<b>Literaturverzeichnis</b>	<b>71</b>
<b>A. Schaltpläne und Zeichnungen</b>	<b>75</b>
<b>B. VHDL-Quellcode der Firmware vom FPGA</b>	<b>85</b>
B.1. DDS.vhd . . . . .	87
B.2. SPISlave.vhd . . . . .	88
B.3. Registerverwaltung.vhd . . . . .	93
B.4. Impulszaeler.vhd . . . . .	97
B.5. Encoder.vhd . . . . .	98

---

B.6. Stepgeneration.vhd . . . . .	100
<b>C. Quellcode der Software des Mikrocontrollers: Header Dateien</b>	<b>110</b>
C.1. main.h . . . . .	110
C.2. encoder.h . . . . .	112
C.3. ea_dip203B.h . . . . .	113
C.4. various.h . . . . .	115
C.5. spi_fpga.h . . . . .	116
C.6. I2C.h . . . . .	117
C.7. gpio.h . . . . .	118
C.8. ZMX.h . . . . .	119
<b>D. Quellcode der Software des Mikrocontrollers: Source Dateien</b>	<b>121</b>
D.1. main.c . . . . .	121
D.2. encoder.c . . . . .	154
D.3. ea_dip203B.c . . . . .	158
D.4. various.c . . . . .	168
D.5. spi_fpga.c . . . . .	173
D.6. I2C.c . . . . .	177
D.7. gpio.c . . . . .	179
D.8. ZMX.c . . . . .	181

# 1. Einführung

In diesem Kapitel wird das Forschungsinstitut DESY<sup>1</sup> vorgestellt. Es werden die wichtigsten, sich im Betrieb befindlichen Anlagen dargestellt und eine kurze Übersicht über die Fachgruppe „Experiment Control“ gegeben. Im Anschluss wird auf die Aufgabenstellung der Bachelorthesis eingegangen.

## 1.1. DESY

Das Deutsche Elektronen-Synchrotron ist ein mit öffentlichen Mitteln finanziertes Forschungszentrum der Helmholtz-Gemeinschaft. Es wurde am 18. Dezember 1959 in Hamburg gegründet. Heute hat das DESY zwei Standorte in Deutschland, den Hauptstandort in Hamburg und einen weiteren in Zeuthen in Brandenburg [1].

Der Bau des ersten Ringbeschleunigers „DESY“ begann Anfang 1959 und wurde 1964 abgeschlossen. Bis Ende 1978 wurden dort Experimente mit Synchrotron-Strahlung durchgeführt. Im Anschluss wurde die Anlage mehrfach umgebaut und erneuert, so dass sie heute noch als Vorbeschleuniger für PETRA<sup>2</sup> III genutzt wird [2, p. 10,19].

Die Forschung am DESY ist in drei Schwerpunkte aufgeteilt [3].

- Entwicklung, Bau und Betrieb von Beschleunigern
- Forschung mit Photonen
- Teilchen- und Astrophysik

---

<sup>1</sup>Deutsches Elektronen-Synchrotron

<sup>2</sup>Positron-Elektron-Tandem-Ring-Anlage

## 1.2. Großanlagen am DESY in Hamburg

Zur Zeit werden auf dem Campus in Hamburg drei Großanlagen betrieben: die beiden Linearbeschleuniger FLASH<sup>3</sup> und der European XFEL<sup>4</sup>, sowie der Ringbeschleuniger PETRA III.

### FLASH

Der Linearbeschleuniger FLASH wurde 2005 fertiggestellt und erzeugt seitdem ultrakurz gepulste Röntgenlaserblitze. Auf einer Länge von 315 Metern werden Elektronen auf fast Lichtgeschwindigkeit beschleunigt und durch Magnete abgelenkt. Die dabei entstehenden Röntgenblitze können genutzt werden, um chemische Reaktionen auf atomarer Ebene sichtbar zu machen. FLASH bietet insgesamt fünf Messplätze für Experimente. 2016 wurde eine zweite Experimentierhalle in Betrieb genommen, die Platz für weitere sechs Messplätze zur Verfügung stellt [4].

### European XFEL

Wie FLASH ist der European XFEL ein Linearbeschleuniger. Für den Bau und Betrieb ist die eigens gegründete Gesellschaft European XFEL GmbH verantwortlich. Nach sieben Jahren Bauzeit wurde das europäische Gemeinschaftsprojekt 2016 fertiggestellt. Seit 2017 erzeugt der ca. 3,4 Kilometer lange Beschleuniger extrem brillante Laserstrahlung im Röntgenbereich, mit deren Hilfe die Reaktionen von Atomen miteinander aufgenommen werden können. Zurzeit stellt eine unterirdische Experimentierhalle zehn Messplätze zur Verfügung. Bei Bedarf kann der European XFEL um eine weitere Experimentierhalle mit der gleichen Anzahl an Messplätzen erweitert werden [5].

### PETRA III

Mit PETRA III stellt DESY eine sehr brillante Lichtquelle zur Verfügung, welche Forscher aus der ganzen Welt nutzen können. In dem 2,3 Kilometer langen Speicherring werden Elektronen auf nahezu Lichtgeschwindigkeit beschleunigt. Durch Ablenkung der Elektronen in Magneten entsteht dabei Synchrotronstrahlung. Diese lässt sich bündeln und erzeugt Strahlen die bis zu 5000-mal feiner sind als ein menschliches Haar. Hierdurch lassen sich Proben bis in den atomaren Bereich analysieren.

---

<sup>3</sup>Freie-Elektronen-Laser in Hamburg

<sup>4</sup>X-Ray Free-Electron Laser

Seit 2010 liefert PETRA III die Röntgenstrahlung für 30 Messtationen, die jedoch aufgrund der hohen Nachfrage regelmäßig ausgebucht sind. Deshalb wurden zwei neue Experimentierhallen, PETRA III Erweiterung Nord und Ost gebaut. Durch den derzeitigen Ausbau beider Hallen, entstehen zehn weitere Messplätze [6].

### 1.3. Experiment Control Gruppe

Die Gruppe FS-EC<sup>5</sup> ist für die Unterstützung der Nutzer an den Messplätzen von PETRA III zuständig. Der Support lässt sich in die Bereiche Hardware und Software einteilen. Erstellung von Steuerungssoftware, Datenerfassung und Speicherung von Forschungsdaten gehören zum Aufgabengebiet des Bereichs Software. Entwicklung von nutzerspezifischer Hardware, Reparatur von Geräten oder Anfertigen von speziellen Kabeln, sind Aufgabe des Hardware bzw. Elektronikbereichs der Gruppe [7].

### 1.4. Schrittmotoren

Schrittmotoren entsprechen in Aufbau und Funktion dem Synchronmotor. Im Prinzip bestehen sie aus einem Läufer und einem Stator mit der Erregerwicklung. Durch Anlegen einer rechteckförmigen Gleichspannung kann eine Bewegung in beide Richtungen erfolgen. Dabei werden je nach Drehrichtung die einzelnen Wicklungen umgepolt, oder abgeschaltet. Der Läufer folgt daraufhin dem geänderten Magnetfeld, bis der maximale magnetische Fluss zwischen Nord- und Südpol vorhanden ist. Der Motor bleibt stehen, bis sich das Feld wieder ändert. Die Anzahl der Polpaare im Läufer und der Phasen im Stator gibt dabei den Winkel vor, um den sich der Motor bei einem Schritt dreht. Ein Motor mit zwei Phasen und einem Polpaar bewegt sich bei einem Schritt um 90 Grad. Dementsprechend benötigt der Läufer für eine Umdrehung vier Schritte (vgl. Abb. 1.1) [12, p. 380-383].

---

<sup>5</sup>Forschung Synchrotron - Experiment Control

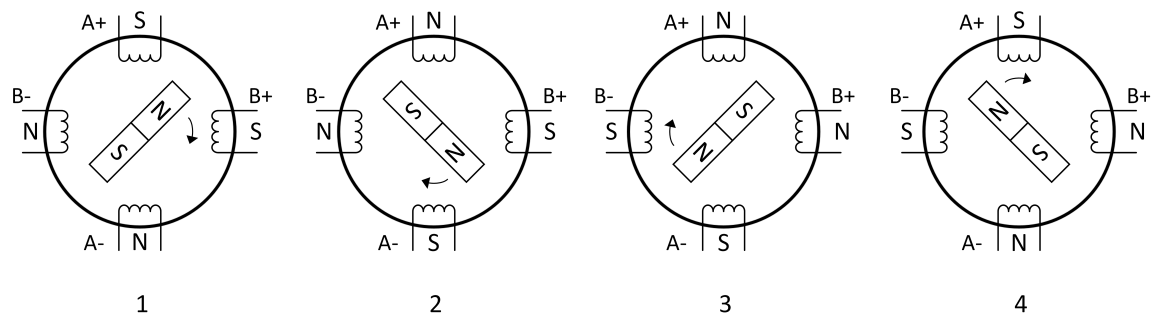


Abbildung 1.1.: Im Vollschrittbetrieb werden beide Motorphasen bestromt. Bei jedem Schritt bewegt sich der Läufer um 90 Grad im Uhrzeigersinn. Werden die Schritte im umgekehrter Reihenfolge ausgeführt, dreht sich der Läufer gegen den Uhrzeigersinn.

In Schritt (1) fließt der Strom in den Motorphasen A und B von A+ nach A- bzw. von B+ nach B-. Im folgenden Schritt (2) wird die Motorphase A umgepolt. Der Strom fließt nun dort von A- nach A+. Das Feld dreht sich um 90 Grad im Uhrzeigersinn und somit auch der Läufer. Im nächsten Schritt wird die Motorphase B umgepolt (3), das Feld und somit der Läufer bewegen sich um 90 Grad weiter. Im letzten Schritt (4) wird wieder die Motorphase A umgepolt. Der Strom in der Phase A fließt von A+ nach A- und in der Phase B von B- nach B+. Nach insgesamt vier Schritten hat sich der Läufer um 360 Grad gedreht. In Tabelle 1.1 ist die Stromrichtung bei den jeweiligen Schritten zusammengefasst.

Schritt	Stromrichtung	
	A	B
1	+	+
2	-	+
3	-	-
4	+	-

Tabelle 1.1.: Stromrichtung in den Motorphasen im Vollschrittbetrieb.

Es ist möglich den Läufer um kleinere Winkel als 90 Grad zu bewegen. Hierfür werden Betriebsarten wie der Halbschritt- oder der Mikroschrittbetrieb genutzt. Im Halbschrittbetrieb (vgl. Abb. 1.2) werden im Gegensatz zum Vollschrittbetrieb Motorphasen bei jedem zweiten Schritt abgeschaltet [12, p. 383]. Dies hat zur Folge, dass sich der zweiphasige Motor mit jedem Schritt um 45 Grad bewegt.

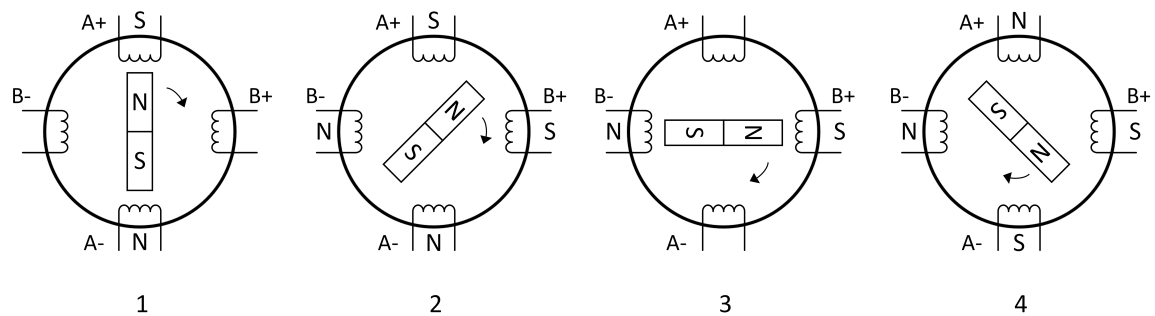


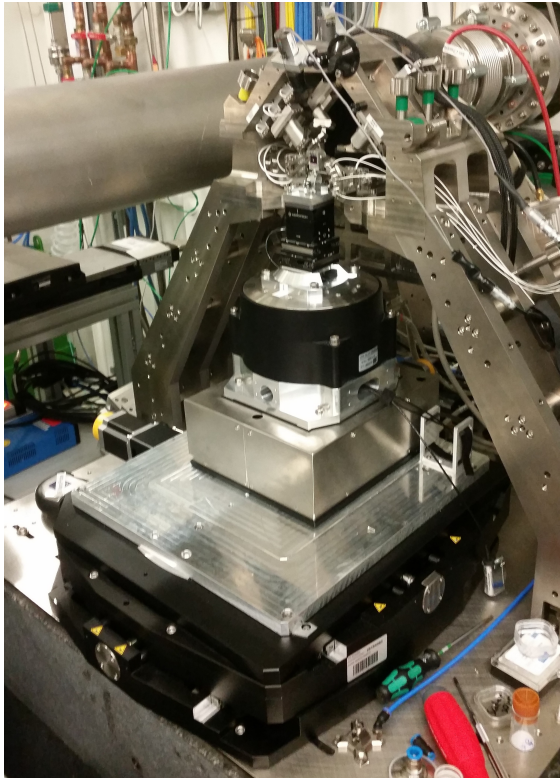
Abbildung 1.2.: Durch das Zu- und Abschalten der Motorphasen ist es möglich den Läufer um 45 Grad zu bewegen. Die Abbildung zeigt die ersten vier Schritte im Halbschrittbetrieb, dabei dreht sich der Läufer im Uhrzeigersinn.

Für eine ganze Umdrehung benötigt der Motor acht Schritte. Die Stromrichtung in den Motorphasen im Halbschrittbetrieb ist in Tabelle 1.2 dargestellt.

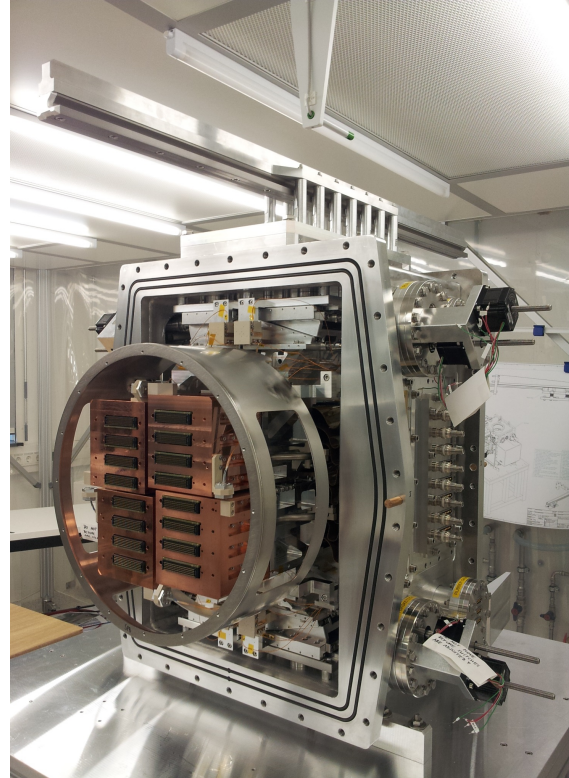
Schritt	Stromrichtung	
	A	B
1	+	0
2	+	+
3	0	+
4	-	+
5	-	0
6	-	-
7	0	-
8	+	-

Tabelle 1.2.: Stromrichtung in den Motorphasen im Halbschrittbetrieb.

Um kleinere Schrittauflösungen zu erreichen ist es möglich neben dem Ab- und Zuschalten der Motorphasen, auch den Strom in den Phasen schrittweise zu verändern. Wird der Strom in einem bestimmten Verhältnis zueinander verändert, kann eine Auflösung von z. B. 128 Mikroschritten je Vollschritt erreicht werden. Für eine volle Umdrehung würde ein Motor mit zwei Phasen und einem Polpaar 512 Schritte benötigen. Somit ist eine Auflösung von 0,7 Grad je Schritt möglich [12, p. 383-384].



(a) Die Probe (oben im Bild) befindet sich auf einem Schrittmotor der in Z Richtung bewegt werden kann. Darunter zu sehen ist ein Tisch für die Bewegung in X und Y Richtung.



(b) Vakuumkammer des AGIPD Detektors. Die Schrittmotoren (außerhalb der Kammer) dienen zum Verfahren der einzelnen Quadranten (mitte Bild) in X und Y Richtung. Foto: Annette Delfs ©DESY

Abbildung 1.3.: Die beiden Abbildungen zeigen zwei Einsatzgebiete von Schrittmotoren am DESY. Der Aufbau in Abbildung a befindet sich an einem Experiment an einem Messplatz von PETRA III. Die Abbildung b zeigt einen Aufbau in einem Labor auf dem Gelände des DESY.

## 1.5. Aufgabe

Es soll eine neue Serie von Handsteuerungen für 2-Phasen-Schrittmotoren gebaut werden. Hierfür wird eine neue Leiterplatte zur Ansteuerung der Endstufe für die Schrittmotoren, sowie Anzeige- und Bedienelemente benötigt. Auf einem Display sollen Motordaten, sowie wichtige Daten im Betrieb dargestellt werden. Nicht mehr lieferbare Teile sollen durch kompatible Komponenten ersetzt werden. Der vorhandene 8-Bit Mikrocontroller soll durch ein 32-Bit Mikrocontroller mit ARM<sup>6</sup>-Architektur ersetzt werden. Um Encoder-Signale auswerten zu können, soll ein passendes System entwickelt werden. Für die Steuerung muss eine Software für den Mikrocontroller entwickelt werden. Nach erfolgreicher Entwicklung der Hard- und Software, muss durch ein Test die Funktionalität der Handsteuerung belegt werden. Im Folgenden wird die Handsteuerung für 2-Phasen-Schrittmotoren „ZMX-Handsteuerung“<sup>7</sup> genannt.

---

<sup>6</sup>Advanced RISC Machines

<sup>7</sup>Durch DESY gewählter Name

## **2. Konzeption und Vorstudie**

In diesem Kapitel werden die Rahmenbedingungen zur Entwicklung der ZMX-Handsteuerung beschrieben. Es werden die Anforderungen an die ZMX-Handsteuerung definiert und die Vorgängerversion analysiert. Für die Anforderungen werden passende Lösungsmöglichkeiten ermittelt und erläutert.

### **2.1. Rahmenbedingungen**

Im Folgenden werden die Rahmenbedingungen für die Entwicklung der ZMX-Handsteuerung beschrieben. Es werden die wichtigsten Baugruppen skizziert, sowie das Funktionsprinzip der Encoder dargestellt.

#### **2.1.1. Kontrolleinheit**

Die Kontrolleinheit bildet das Herzstück der ZMX-Handsteuerung. Ihre Aufgabe besteht darin, die durch den Nutzer eingestellten Parameter zur Endstufe zu übertragen. Des Weiteren wird die Kontrolleinheit benötigt, um die Impulse und das Richtungssignal vorzugeben. Das Auswerten von Endlagen und Inkrementalencodern gehört außerdem zum Funktionsumfang. Auf ihr befinden sich alle Anzeige- und Bedienelemente. Um in das Gehäuse zu passen, muss sie die gleichen Maße besitzen, wie die Vorgängerversion. Das Konzeptionieren, Realisieren und Testen ist Inhalt dieser Bachelorthesis. Auf den Quellcode wird dabei nicht speziell eingegangen.

#### **2.1.2. Endstufe**

Für die Ansteuerung von 2-Phasen-Schrittmotoren wird eine Endstufe benötigt. Die Firma Phytron bietet mit der ZMX<sup>+</sup> eine 19" Schrittmotor-Endstufe (vgl. Abb. 2.1) zur bipolaren Ansteuerung von Zweiphasen-Schrittmotoren an. Über den ServiceBus [8, p. 5-6] wird die Mög-

lichkeit geboten die Endstufenparameter wie z.B. Schrittauflösung, Lauf<sup>1</sup>- oder Stopstrom<sup>2</sup> einzustellen. Es handelt sich hierbei um eine serielle Kommunikation mit einem vorgegebenen Telegrammformat. Durch vielfachen Einsatz am DESY hat sich diese Endstufe bewährt und wird ebenfalls in der Vorgängerversion der ZMX-Handsteuerung eingesetzt. Im Folgenden wird die 2-Phasen-Schrittmotor Endstufe „ZMX-Endstufe genannt“ [9].



Abbildung 2.1.: Gezeigt ist die ZMX<sup>+</sup> Endstufe der Firma Phytron. Sie wird zur Ansteuerung der Schrittmotoren verwendet.

### 2.1.3. Spannungsversorgung

Die gesamte Spannungsversorgung der ZMX-Handsteuerung wird durch ein AC-DC Netzteil von N2Power realisiert. Über den Kaltgeräteanschluss in der Rückplatte werden 230V AC eingespeist. Daraus generiert das Netzteil 56V DC für die Versorgung der ZMX-Endstufe, 12V DC für die Endlagen und Encoder, sowie 5V DC für die Versorgung der Kontrolleinheit [10]. Der Einsatz dieses Netzteils hat sich in der Vorgängerversion bewährt und wird deshalb wieder eingesetzt.

### 2.1.4. Backplane

Im hinteren Teil des Gehäuses befindet sich die Backplane<sup>3</sup>. Sie bildet die Schnittstelle zwischen ZMX-Endstufe, Kontrolleinheit, Spannungsversorgung und Motor. Mit Hilfe von Steck-

<sup>1</sup>Strom in den Motorphasen während des Betriebs

<sup>2</sup>Haltestrom in den Motorphasen im Stillstand des Motors

<sup>3</sup>Frei gewählter Name

verbindern werden die für den Betrieb notwendigen Signale von und zur Rückplatte geführt. Die Backplane wurde durch die Fachgruppe FS-EC zur Verfügung gestellt.<sup>4</sup>

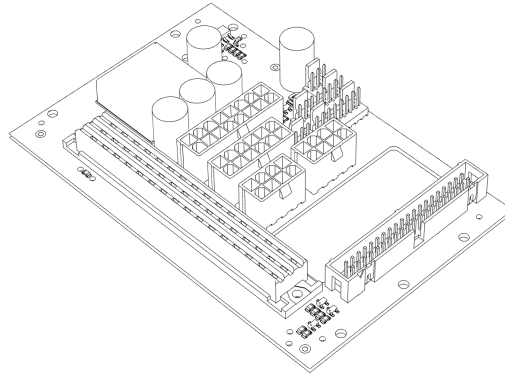


Abbildung 2.2.: Die Backplane ist im hinteren Teil des Gehäuses verbaut. Sie bildet die Schnittstelle zwischen Motor, Endstufe und Kontrolleinheit.

### 2.1.5. Gehäuse

Bei dem Gehäuse handelt es sich um ein Kompletzgehäuse<sup>5</sup> mit EMV<sup>6</sup>-Schirmung von der Firma Schroff. Es besitzt Lüftungsschlitze um die durch das Netzteil, die ZMX-Endstufe oder der Elektronik erzeugte Wärme abzutransportieren. Das Gehäuse hat sich in der Vorgängerversion bewährt und wird aus diesem Grund wieder eingesetzt [11, p. 4].

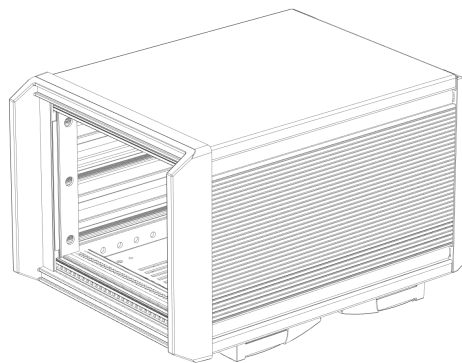


Abbildung 2.3.: Das Gehäuse bietet Platz für die Kontrolleinheit, Backplane, ZMX-Endstufe und Spannungsversorgung.

<sup>4</sup>Schaltplan siehe Anhang A, „ZMX Handsteuerung Backplane“

<sup>5</sup>Tischgehäuse PropacPRO: 24576-103

<sup>6</sup>Elektromagnetische Verträglichkeit

### 2.1.6. Encoder

Encoder bieten die Möglichkeit eine Rückmeldung über die Position oder Geschwindigkeit eines sich drehenden bzw. bewegenden Objekts wie z.B. einen Motor, zu geben. Das Objekt ist mit einem Raster verbunden, das z.B. optisch durch einen Lesekopf abgetastet wird. Es gibt die Absolut- und die Inkremental-Encoder. Absolute Encoder verarbeiten ein codiertes Raster, ähnlich wie ein Lineal, wodurch die Position ermittelt werden kann. Vorteil bei dieser Methode ist, dass bei einem Verlust der Versorgungsspannung die Information der Position erhalten bleibt. Ein Nachteil hingegen ist die geringere Auflösung [12, p. 333-336].

Inkremental-Encoder besitzen ein gleichmäßig aufgeteiltes Raster. Sie stellen zwei Signale zur Verfügung, A und B, die eine Phasenverschiebung von 90 Grad vorweisen. Je nachdem ob zuerst A und dann B den Pegel ändert, zählt eine Logik auf- bzw. abwärts (vgl. Abb. 2.4) [13, p. 619]. In diesem Fall wird ein Rechtecksignal dargestellt. An den Experimenten bei PETRA III werden hauptsächlich Encoder mit Quadratursignal verwendet.

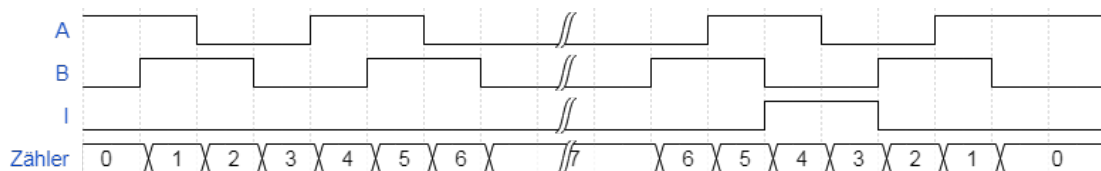


Abbildung 2.4.: Encodersignale A und B mit zugehörigem Zählerverhalten. Eilt das Signal A dem Signal B um 90 Grad voraus wird inkrementiert, eilt es nach wird dekrementiert.

Die Drehrichtung eines angeschlossenen Motors kann ebenfalls aus den Encodern ermittelt werden. Dafür muss bekannt sein, wie die beiden Signale bei einer bestimmten Drehrichtung zueinander phasenverschoben sind. Zusätzlich zu den beiden Ausgängen stellen einige Encoder ein dritten Ausgang, den Index I zur Verfügung. Erreicht der Motor diese Position, wird das Signal auf den Pegel „high“ gesetzt. Dies kann z.B. der Fall sein, wenn der Motor seine 0 Grad Position erreicht hat [13, p. 619]. Dadurch könnte der Zähler zurückgesetzt werden. Ein großer Vorteil gegenüber den Absolut-Encodern ist, dass eine deutlich höhere Auflösung bis in den Nanometer Bereich erreicht werden kann. Ein Ausfall der Versorgungsspannung führt zum Verlust der gemessenen Position [12, p. 336].

## 2.2. Anforderungen

Im Folgenden werden die Anforderungen an die ZMX-Handsteuerung definiert. Hierbei ist darauf zu achten, dass die Bedienbarkeit der Vorgängerversion<sup>7</sup> entspricht. Die Menüführung soll identisch bleiben und nur um eventuelle neue Funktionalitäten erweitert werden. Für die Impulserzeugung und das Auswerten von Encodern soll ein FPGA<sup>8</sup> verwendet werden. FPGAs können im Vergleich zum Mikrocontroller Aufgaben parallel ausführen und somit schneller auf Ereignisse reagieren. Die Verwendung des FPGA ist als Anforderung, um zukünftige Funktionalitäten umsetzen zu können, zu betrachten. Die Anforderungen wurden durch das Elektroniklabor der Fachgruppe FS-EC festgelegt.

### 2.2.1. Hardware Anforderungen

Die Anforderungen an die Hardware beziehen sich auf den Aufbau der Kontrolleinheit, sie sind im folgenden aufgelistet:

- Steuerung der Endstufe über die Eingänge: Takt, Drehrichtung, Entregen, Reset [9, p. 25].
- An den Motor angeschlossene Endlagen sollen ausgewertet werden.
- LEDs visualisieren den Zustand der Endlagen [14, p. 6].
- Eine LED visualisiert den Betriebszustand der Endstufe: Rot signalisiert den Zustand aktiviert, grün signalisiert den Zustand deaktiviert.
- An den Motor angeschlossene Encoder sollen ausgewertet werden.
- Über Taster und Drehencoder auf der Leiterplatte soll die ZMX-Handsteuerung bedient werden.
- Ein Display visualisiert die wichtigsten Endstufenparameter (siehe Software Anforderungen).
- Ein Mikrocontroller mit 32-Bit ARM-Architektur soll die Bedien- und Anzeigeelemente auswerten und ansteuern.
- Die Leiterplatte darf nicht größer als 112 mm x 98,5 mm sein.
- Die Ein- und Ausgabeelemente sollen gemäß der Zeichnung der Frontplatte<sup>9</sup> angeordnet werden.

---

<sup>7</sup>ZMX-Handsteuerung Serie 2

<sup>8</sup>Field Programmable Gate Array

<sup>9</sup>Zeichnung siehe Anhang A, „Frontplatte ZMX-Handsteuerung“

- Die Leiterplatte wird mit Schrauben an der Frontplatte befestigt.

### 2.2.2. Software Anforderungen

Bei der Programmierung des Mikrocontrollers sollen die folgenden Punkte umgesetzt werden:

- Parametrierung der Endstufe über den ServiceBus [8]: Laufstrom und Stoppstrom einstellbar von 0A bis 5A in 0,1A Schritten, Schritteinrichtung einstellbar [9, p. 24].
- Endstufenparameter sollen im Display visualisiert werden.
- Der Zustand der Endlagen soll im Display angezeigt werden.
- Visualisierung der gezählten Encoder-Schritte vom Motor im Display.
- Visualisierung der Anzahl der erzeugten Impulse für die ZMX-Endstufe.
- Die Kommunikation mit dem FPGA soll realisiert werden.

### 2.2.3. Firmware Anforderungen

Für die Firmware des FPGA gelten die folgenden Vorgaben:

- Impulserzeugung für die ZMX-Endstufe: 1Hz bis 100kHz mit einer minimalen Impulsbreite von 1 $\mu$ s [9, p. 41].
- Endlageneinstellung CW<sup>10</sup>, CCW<sup>11</sup>: „active-high“, „active-low“ und deaktiviert.
- Auslösen einer Endlagen führt zum Stopp des Motors, keine Bewegung in diese Richtung mehr möglich.
- Auswerten von Encoder-Signalen mit Reset Funktion.
- Schnittstelle zur Kommunikation mit dem Mikrocontroller.
- Einstellen der Motordrehrichtung und Aktivierung der ZMX-Endstufe.

---

<sup>10</sup>Clockwise

<sup>11</sup>Counter Clockwise

### 2.3. Konzept der Handsteuerung

Im Folgenden wird auf das Konzept der ZMX-Handsteuerung bzw. der Kontrolleinheit eingegangen. Abbildung 2.5 zeigt dieses Konzept. Auf Darstellung der Backplane zur Signalverteilung wurde aus Gründen der Übersicht verzichtet.

Auf der Kontrolleinheit befinden sich die Taster und Drehencoder (1) zur Bedienung der ZMX-Handsteuerung. Außerdem befinden sich dort LEDs zur Anzeige. Der Mikrocontroller (2) wertet die Taster und die Drehencoder aus und steuert die LEDs an. Eingestellte Parameter wie Lauf- und Stoppstrom werden im Display (3) dargestellt. Gleichzeitig erfolgt die Parametrierung der Endstufe (5) über den ServiceBus. Die Ansteuerung der ZMX-Endstufe, d.h. Impulserzeugung, die Aktivierung oder die Auslösung des Signals Reset erfolgt über den FPGA (4). Die dafür benötigten Werte werden ebenfalls über eine Serielle Schnittstelle von dem Mikrocontroller gesendet. Ist die Endstufe aktiviert und erhält Impulse, steuert sie gemäß der Parametrierung den Motor (6) an. Angeschlossene Encoder und Endlagen werden vom FPGA ausgewertet und die Informationen an den Mikrocontroller übertragen.

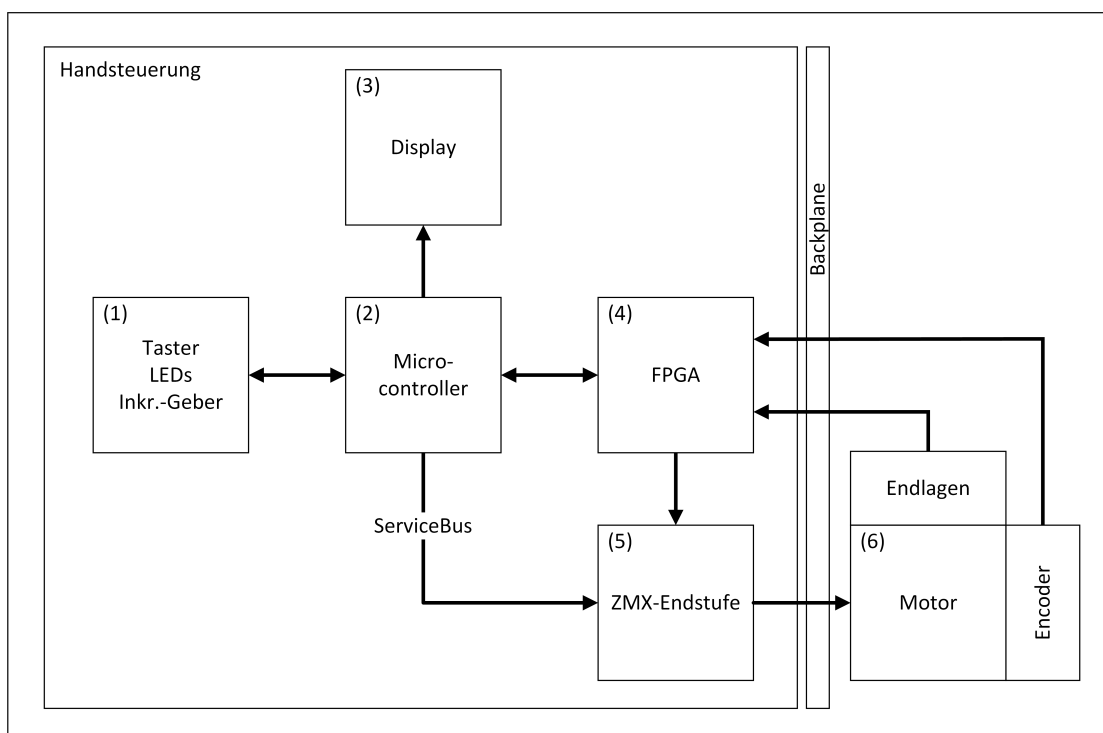


Abbildung 2.5.: Konzept für den Aufbau der Handsteuerung. Die Kontrolleinheit besteht aus den Ein- und Ausgabeelementen, sowie Mikrocontroller und FPGA. Die Endstufe wird über den ServiceBus parametrierung, während der FPGA für die Impulserzeugung und das Auslesen von Endlagen und Encoder zuständig ist.

### 2.3.1. Konzept der Hardware

Das Hardware Konzept in Abbildung 2.6 stellt die Anordnung der Baugruppen auf der Leiterplatte dar. Im unteren Teil befinden sich die Ein- und Ausgabeelemente (1), wie die Taster und Drehencoder. Der Mikrocontroller (3) wird zentral auf der Leiterplatte positioniert. Der Takt wird ihm von einem einen Oszillator (2) mit 8MHz zur Verfügung gestellt. Das Display (5) wird über SPI<sup>12</sup> vom Mikrocontroller angesteuert. Um den Kontrast einstellen zu können, wird ein digitales Potentiometer eingesetzt, das über I<sup>2</sup>C<sup>13</sup> angesprochen wird.

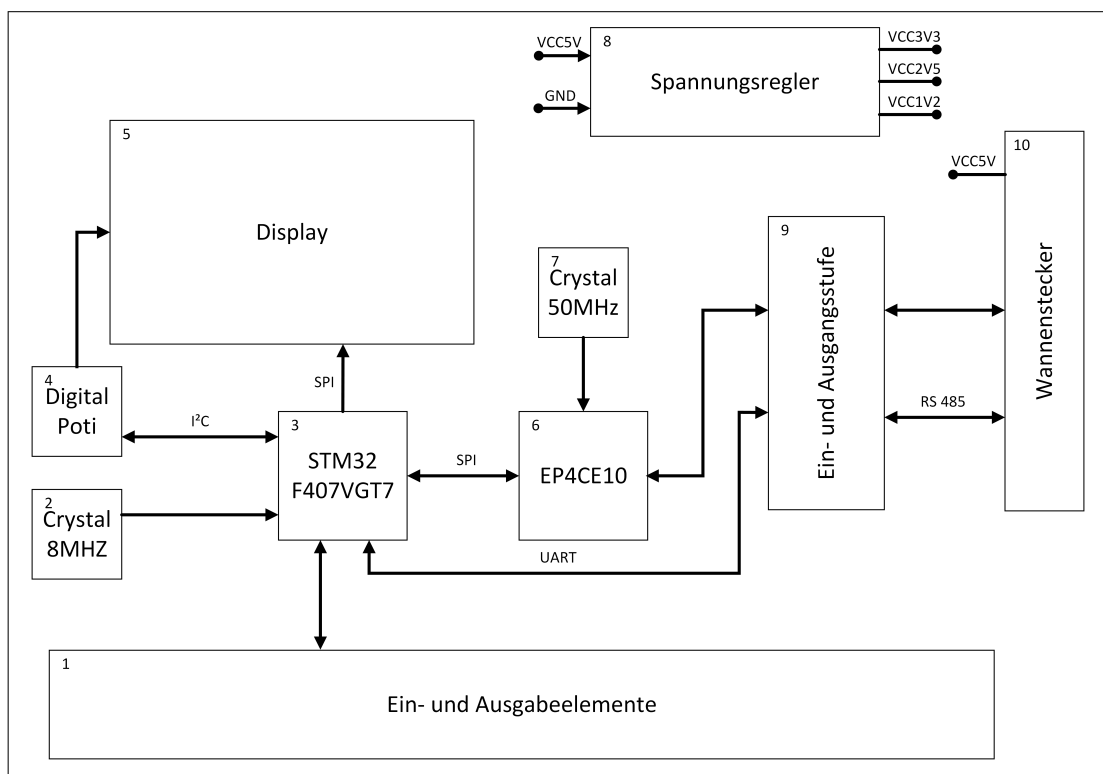


Abbildung 2.6.: Hardware-Konzept der Kontrolleinheit: Geplante räumliche Anordnung der einzelnen Teilschaltungen/Komponenten auf der Leiterplatte.

Der FPGA (6) bekommt seinen Takt ebenfalls über einen Oszillator (7) mit einer Frequenz von 50MHz. Die Parametrierung der Endstufe erfolgt über eine UART<sup>14</sup>-Schnittstelle vom Mikrocontroller und wird mit Hilfe von Treibern in der Ein- und Ausgangsstufe (9) auf RS485 gewandelt. Die Pegel der Signale zwischen dem FPGA und der Endstufe werden angepasst. Es findet eine Wandlung der Pegel von 3,3V auf 5V statt. Die Endlagen werden mit 15V

<sup>12</sup>Serial Peripheral Interface

<sup>13</sup>Inter-Integrated Circuit

<sup>14</sup>Universal Asynchronous Receiver Transmitter

von der Backplane versorgt. Um sie mit dem FPGA auswerten zu können, wird der Pegel auf 3,3V angepasst. Über den Wannenstecker (10) wird die Verbindung zur Backplane und somit zu Endstufe hergestellt. Hierüber werden ebenfalls die 5V zur Verfügung gestellt. Die Spannungsregler (8) wandeln 5V auf 3,3V. Diese dienen zur Versorgung der ICs und den I/Os des FPGAs. Außerdem stellen sie 2,5V für die analoge und 1,2V für die digitale PLL-Spannungsversorgung des FPGAs bereit.

### 2.3.2. Konzept der Software im Mikrocontroller

Der Mikrocontroller bildet die zentrale datenverarbeitende Baugruppe. In Abbildung 2.7 wird dieses Konzept skizziert. Mit Hilfe des Menü-Tasters und dem Drehencoder in der Frontplatte, wird das Menü (1) gesteuert. Die Menüstruktur (2) wird über die Kommunikationschnittstelle (3) an das Display übertragen und dort visualisiert. Über das Menü lässt sich die ZMX-Endstufe konfigurieren (4), d.h. es lassen sich Stopp- und Laufstrom sowie Schrittauflösung einstellen. Die Parameter werden über UART (5) an die ZMX-Endstufe übertragen. Frequenzeinstellung für die Impulserzeugung, aktivieren der Endstufe und Laufrichtungseinstellungen werden in der Konfiguration für den FPGA (7) ausgewertet.

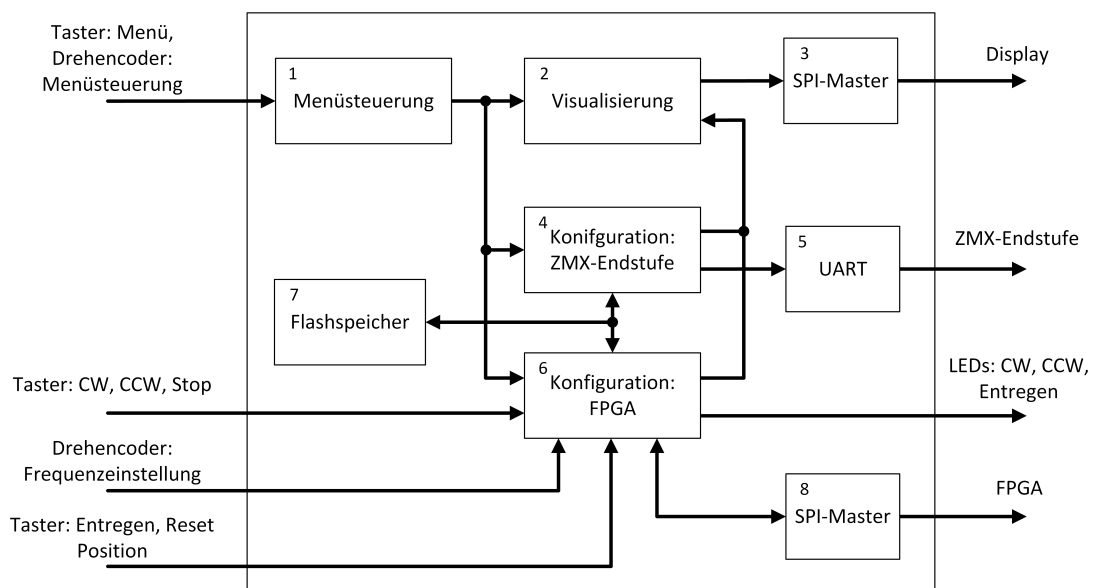


Abbildung 2.7.: Dargestellt ist das Konzept der Software im Mikrocontroller. Einstellungen erfolgen durch Eingabelemente in der Frontplatte. Parameter werden im Display visualisiert und an die entsprechende Baugruppe übertragen.

Über SPI (8) werden die Daten zum FPGA übertragen. Im Flash-Speicher (6) werden Endstufenparameter und Einstellungen gespeichert, damit sie bei der nächsten Nutzung der

Handsteuerung wieder zur Verfügung stehen. Informationen über den Zustand der Endlagen erhält der Mikrocontroller ebenfalls über SPI vom FPGA und steuert die LEDs in der Frontplatte dementsprechend an.

### 2.3.3. Konzept der Firmware im FPGA

Der FPGA erhält seinen Takt von einem externen 50MHz Oszillator und wird intern mit Hilfe einer PLL<sup>15</sup> auf 100MHz geregelt. Dieser globale Takt versorgt alle Teilschaltungen in der Logik. Sollte der Takt aufgrund geänderter Anforderungen nicht mehr ausreichen, ist es möglich die Frequenz zu erhöhen. Den limitierenden Faktor stellt hierbei die Komplexität der Schaltung und die damit verbundene Gatterlaufzeit dar.

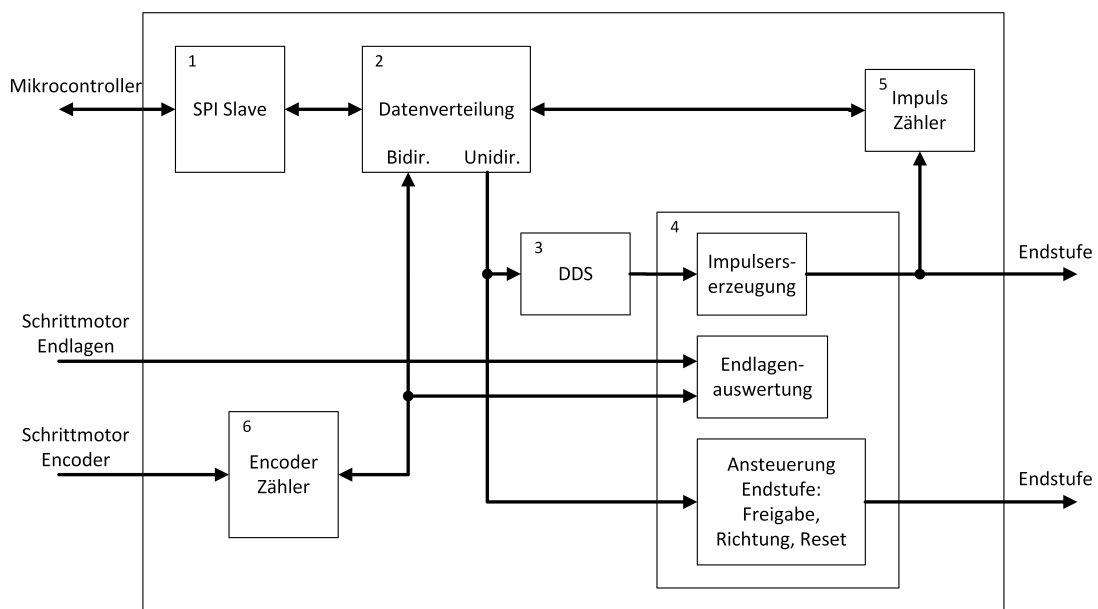


Abbildung 2.8.: Das Konzept zeigt den Aufbau der Firmware innerhalb des FPGAs. Hierbei wird zwischen uni- und bidirektionalem Datenaustausch unterschieden. Je nach Zugriffsmodus können Register beschrieben oder gelesen werden.

In Abbildung 2.8 wird das Hardware-Konzept für die Firmware vom FPGA dargestellt. Über das Modul zur SPI Kommunikation (1) findet der Datenaustausch zwischen FPGA und Mikrocontroller statt. Die Schnittstelle ist als Slave definiert, d.h. es können nur Daten gesendet und empfangen werden, wenn der Mikrocontroller den Schiebetakt bereitstellt. Werden Daten empfangen oder sollen gesendet werden, stellt das Modul für die Datenverteilung (2) diese bereit. Hierbei wird zwischen uni- und bidirektionaler Datenverteilung unterschieden. Un-

<sup>15</sup>Phase Locked Loop

idirektional bedeutet, es werden nur Daten in Register geschrieben, bidirektional es können die Register auch ausgelesen werden. Eine Beschreibung der Register und Zugriffsmöglichkeiten befinden sich in Tabelle 2.1. Die einstellbare Frequenz zur Taktung der Impulse wird im Modul DDS<sup>16</sup> (3) erzeugt und in den Baustein für die Impulserzeugung (4) eingespeist. Hier findet auch die Auswertung der Endlagen und die Ansteuerung der Endstufe statt. Hat eine Endlage ausgelöst, fällt die Freigabe zur Impulserzeugung weg und der Motor bleibt stehen. Der Baustein Impulszähler (5) zählt die generierten Pulse, die vom Mikrocontroller ausgelesen werden können. Das Modul Encoder-Zähler (6) wertet die Encoder vom Schrittmotor aus. Bei Bedarf kann der Zählerstand dem Mikrocontroller bereitgestellt werden.

Register	Zugriff	Beschreibung
Firmware	R	Lese aktuelle Firmware Version aus
Inkrementalgeber	R W	Lese Encoder Wert aus Reset Encoder
Steuerregister	R W	Lese Steuerregister und Endlagen Schreibe Steuerregister
n-Schritte Sollwert	W	Schreibe n-Schritte Sollwert
Impulsfrequenz	W	Schreibe Impulsfrequenz
Impulszähler	R W	Lese Impulszähler Reset Impulszähler

Abkürzungen: R = Read, W = Write

Tabelle 2.1.: Register im FPGA und deren Zugriffsmodus

<sup>16</sup>Direct Data Synthesis

## 3. Realisierung der Konzepte

In diesem Kapitel wird auf die Umsetzung der Konzepte eingegangen. Als Erstes wird die Realisierung der Hardware beschrieben. Anschließend die Implementierung der Konzepte im Mikrocontroller bzw. FPGA.

### 3.1. Auswahl der Komponenten

Die neue ZMX-Handsteuerung soll vom Aufbau und der Bedienung der Vorgängerversion entsprechen. Aus diesem Grund wird die Vorgängerversion in Bezug auf die dort verwendeten Bauteile analysiert<sup>1</sup>. Hierbei wird explizit nur auf die Bedienelemente und den Mikrocontroller eingegangen. Das Ergebnis ist in Tabelle 3.1 dargestellt.

Bauteil	Serie 2	Status <sup>a</sup>	Serie 3
Taster	Schurter: 1241.1612	OK	Schurter: 1241.1612
Drehencoder	Grayhill: 62P22-H	Obs.	Bourns: PEC11R-4215F-S0024
Potentiometer	Vishay: MOD 335, 10k	N/A	Bourns: PEC11R-4215F-S0024
Display	EA: Electronic Assembly: DIP204B-6NLW	Obs.	Electronic Assembly: EA DIP203B-6NLW
LEDs	Osram: LSG T676	OK	Osram: LSG T676
Mikrocontroller	Atmel: ATmega64-16AU	N/A	STMicroelectronics: STM32Fxx

a) Abkürzungen: OK: wird verwendet, N/A: nicht mehr verwendet, Obs: nicht mehr lieferbar

Tabelle 3.1.: *Ausgewählte Bauteile aus der Handsteuerung Serie 2 und deren Status, die in der Serie 3 wiederverwendet werden sollen bzw. mögliche Ersatztypen*

Die Taster zur Bedienung der Handsteuerung sind lieferbar und können somit weiter verwendet werden. Der optische Drehencoder von Grayhill ist nicht mehr lieferbar und wird durch

<sup>1</sup>Schaltplan siehe Anhang A, „ZMX-Handsteuerung Frontplatine“

einen mechanischen Drehencoder von der Firma Bourns ersetzt. Das zuvor verwendete Potentiometer zur Einstellung der Impulsfrequenz, wird ebenfalls durch einen Drehencoder ausgetauscht. Die LEDs sind verfügbar und können wieder eingesetzt werden. Das Display der Serie 2 ist nicht mehr lieferbar, stattdessen wird das Nachfolgemodell vom selben Hersteller verbaut. Das Display kann entweder über SPI oder einen 4/8-Bit parallel Bus angesteuert werden. Der einzige relevante Unterschied besteht dabei in der Änderung der Versorgungsspannung von 5V DC auf 3,3V DC [15].

Die größte Änderung wird der Ersatz des 8-Bit Mikrocontrollers durch einen 32-Bit ARM-Prozessor. Nach Rücksprache mit der Fachgruppe FS-EC wurde entschieden einen ARM Cortex-M4 32 Bit MCU<sup>2</sup> von STM<sup>3</sup> zu nutzen. Durch den wiederholten Einsatz der Mikrocontroller von STM innerhalb der Gruppe, kann auf ein fundiertes Wissen im Bereich der Programmierung zurückgegriffen werden. Einen weiteren Vorteil bietet die identische Versorgungsspannung von Display und Mikrocontroller. Eine Anpassung der Pegel für eine Kommunikation untereinander entfällt. Die sich aus den Anforderungen und den Konzepten ergebenden Schnittstellen sind in Tabelle 3.2 zusammengefasst.

Teilnehmer A	Teilnehmer B	Schnittstelle	Eigenschaft
Mikrocontroller	Display	SPI	Simplex, Mikrocontroller: Master
Mikrocontroller	Digitales Potentiometer	I <sup>2</sup> C	Half-Duplex, Mikrocontroller: Master
Mikrocontroller	FPGA	SPI	Duplex, Mikrocontroller: Master
Mikrocontroller	ZMX-Endstufe	UART / RS485	TX, RX
Mikrocontroller	Taster und LEDs	GPIO	Menü, Entregen, CW, CCW, Stop, Pos. Reset
FPGA	ZMX-Endstufe	GPIO <sup>4</sup>	Reset, Richtung, Entregen
FPGA	Motor: Encoder	GPIO	A, B
FPGA	Motor: Endlagen	GPIO	CW, CCW

Tabelle 3.2.: Schnittstellen zur Kommunikation zwischen den einzelnen Baugruppen

<sup>2</sup>Microcontroller Unit

<sup>3</sup>STMicroelectronics

<sup>4</sup>General Purpose Input/Output

### 3.1.1. Mikrocontroller

Um einen geeigneten Mikrocontroller für die Steuereinheit zu finden, wird die ARM Cortex-M4 Familie von STM betrachtet. STM bietet hierbei vier Anwendungsgebiete: Wireless, Ultra-low-power, Mainstream und High Performance. Mit bis zu 168 I/Os<sup>5</sup> sollten alle nötigen Pins für das Projekt abgedeckt sein. Darüber hinaus existiert Raum für Änderungen oder Erweiterungen. Die wichtigsten Aspekte in dieser spezifischen Anwendung sind in Tabelle 3.3 dargestellt. Die ZMX-Handsteuerung wird weder über eine WLAN-Anbindung verfügen, noch wird auf besondere Energieeffizienz Wert gelegt, so dass die Typen STM32-WB und STM32-L4/L4+ aus der Auswahl herausfallen. Finanzielle Aspekte bei der Beschaffung von Bauteilen spielen am DESY eine untergeordnete Rolle, wichtig sind vor allem Leistung und Verfügbarkeit.

Anwendung	Wireless	Ultra-low-power	Mainstream	High performance
<b>Typ</b>	STM32-WB	STM32-L4/L4+	STM32F3	STM32F4
<b>Takt</b>	64MHz Dual-Core	80/120 MHz max.	72MHz max.	180MHz max.
<b>Quadratur-Eingang</b>	Nein	Ja	Ja	Ja
<b>SPI<sup>a</sup></b>	2	3	4	6
<b>I<sup>2</sup>C<sup>a</sup></b>	2	4	3	4
<b>UART<sup>a</sup></b>	1	6	3	4
<b>IOs<sup>a</sup></b>	72	140	115	168

a) Maximale Anzahl die innerhalb der Familie zur Verfügung steht.

Tabelle 3.3.: ARM Cortex-M4 Mikrocontroller von STM im Vergleich in ausgewählten Kategorien

Insgesamt werden 40 Pins für I/Os und Kommunikation verwendet (vgl. Tabelle 3.4). Die geplante Kommunikation zwischen den einzelnen Baugruppen besteht aus zwei SPI Schnittstellen und einer UART Schnittstelle. Außerdem werden zwei Timer im Encodermode benötigt. Dies ermöglicht die direkte Auswertung von Drehencodern.

Aus diesem Grund wurde sich für die High performance Serie STM32F4 entschieden. Mit einer Geschwindigkeit bis zu 180MHz sollten keine Engpässe bei dem Programmablauf im Mikrocontroller entstehen, auch wenn mehrere Schnittstellen zeitnah betrieben werden [16]. In der Vergangenheit hat der Verfasser bereits mit dem Mikrocontroller STM32F407 gearbeitet und gute Erfahrungen gemacht. Aus diesem Grund wird überprüft, ob der Mikrocontroller für die Umsetzung der Anforderungen geeignet ist.

<sup>5</sup>Input/Outputs

Tabelle 3.4 zeigt die genutzten und verfügbaren Pins des STM32F407. Es ist deutlich zu erkennen, dass die gesetzten Anforderungen mit dem Mikrocontroller umgesetzt werden können. Wichtig für mögliche Änderungen ist zu bedenken, dass nicht jede alternative Funktion gleichzeitig implementiert werden kann, da GPIOs teilweise doppelt belegt sind [17, p. 62-70].

Signal	Anzahl d. Pins	Funktion
Taster	7	GPIO
Drehencoder	4	AF, Timer, Encodermode
Taster Drehencoder	2	GPIO
Komm. Display SPI	4	AF, SPI
Komm. Display 8 Bit (Reserve)	7	GPIO
Komm. FPGA	4	AF, SPI
Komm. dig. Potentiometer	2	AF, I2C
Komm. ZMX	2	AF, UART
Debug PC	2	AF, UART
LED	6	GPIO
Summe	40	AF + GPIO

AF: Alternate Function des GPIO

Tabelle 3.4.: Pin-Nutzung des Mikrocontrollers

Mit einer Taktfrequenz von 168MHz, bis zu 1MB Speicher und 140 I/Os stellt der STM32F407 eine optimale Lösung dar [17, p. 1]. Des Weiteren bietet STM mit dem STM32F4DISCOVERY ein günstiges und verfügbares Evaluations-Board für erste Tests und Entwicklungen.

Funktion	Genutzt	Verfügbar
AF, Timer, Encodermode	2	4
AF, SPI	2	3
AF, I2C	1	3
AF, UART	2	2

Tabelle 3.5.: Ressourcennutzung des Mikrocontrollers STM32F407

### 3.1.2. FPGA

Das Auslesen von Encodern, Auswerten der Endlagen und das Erzeugen der Impulse für die Endstufe soll durch einen FPGA realisiert werden. Im Folgenden wird eine passende Auswahl für ein Modell getroffen.

Aufgrund von Erfahrungen aus anderen Projekten, wird die Nutzung der FPGAs der Cyclone IV Familie von Intel vorgeschlagen. Intel bietet generell zwei Typen an: die Cyclone IV G FPGAs und die Cyclone IV E FPGAs. Während die G-Typen nur in der Bauform BGA<sup>6</sup> verfügbar sind, können einige E-Typen auch in der Bauform QFP<sup>7</sup> erworben werden. Allgemein ist die Bestückung von ICs<sup>8</sup> in BGA-Bauform deutlich aufwändiger als die der QFP-Bauform. In der Anfangsphase des Projekts erleichtern zudem die seitlich heraus geführten Pins das Aufnehmen von Signalen mit dem Oszilloskop zwecks der Fehlersuche. Aus diesen Gründen, wird sich für die E-Typen in QFP-Bauform entschieden. Mögliche verwendbare FPGAs sind in Tabelle 3.6 zusammengetragen.

Product	EP4CE6	EP4CE10	EP4CE15	EP4CE22
Logic Elements (k)	6	10	15	22
M9K memory blocks	30	46	56	66
Embedded memory (kb)	270	414	504	594
18 x 18 multipliers	15	23	56	66
Global clock networks	10	10	20	20
PLLs	2	2	4	4
I/O voltage levels supported (V)	1.2, 1.5, 1.8, 2.5, 3.3			
User I/O Pins	91	91	81	79
Pin compatible	yes	yes	yes	yes

Tabelle 3.6.: Vergleich der Cyclone IV E in der Bauform QFP [18].

Ein Vergleich der Typen untereinander zeigt, dass die Hauptunterschiede in der Speichergroße und in der Anzahl der Multiplizierer liegt. Da die endgültige Größe des Programms nicht bekannt ist und Tools zum Debuggen im FPGA recht speicherintensiv sind, wird der Typ EP4CE10 festgelegt. Mit 10.000 Logikelementen und 46 Memory Blöcken stellt der FPGA eine gute Grundlage für den Einstieg dar. Die vier Typen sind Pin kompatibel, d.h. sollte der Speicher zu klein oder deutlich zu groß sein, können sie untereinander ersetzt werden. Ein wichtiger Vorteil ist die I/O Versorgungsspannung von 3,3 Volt. Um mögliche Daten zwischen FPGA und Mikrocontroller auszutauschen, muss keine Pegelanpassung vorgenommen werden.

<sup>6</sup>Ball Grid Array

<sup>7</sup>Quad Flat Package

<sup>8</sup>Integrated Circuits

## 3.2. Aufbau der Leiterplatte

Die folgenden zwei Abbildung zeigen die Leiterplatte der Kontrolleinheit. Zusätzlich sind die wichtigsten Bauteile gekennzeichnet.

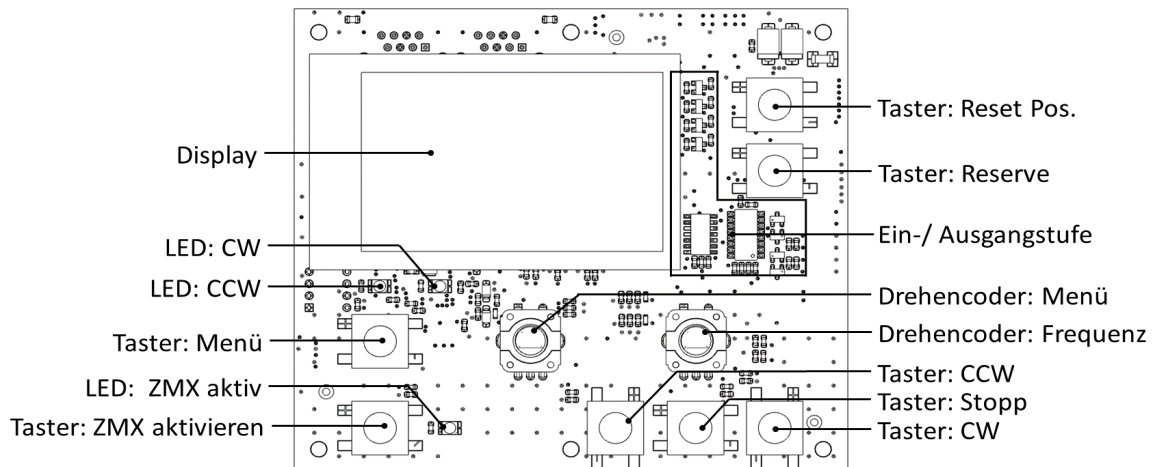


Abbildung 3.1.: Top-Ansicht der bestückten Leiterplatte von der Kontrolleinheit. Die wichtigsten Bauteile sind gekennzeichnet.

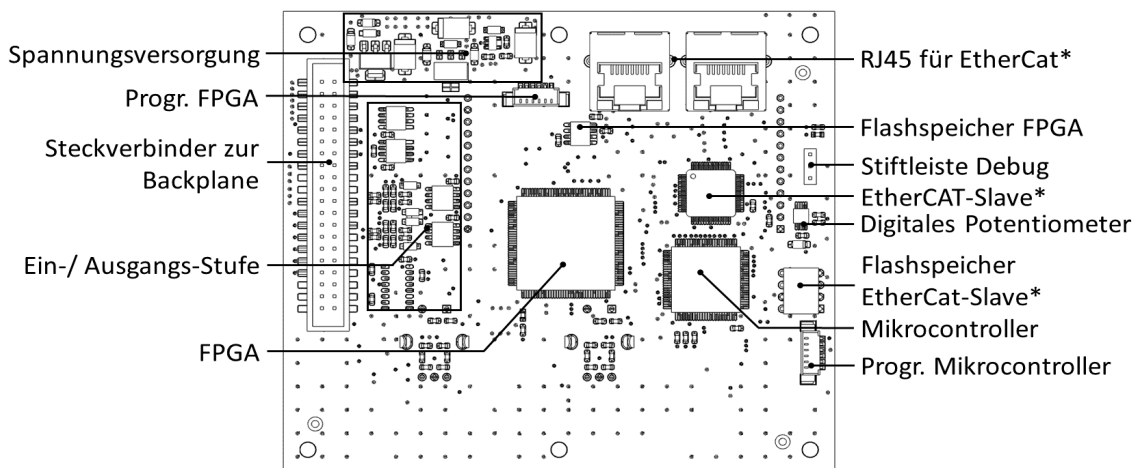


Abbildung 3.2.: Bottom-Ansicht der bestückten Leiterplatte von der Kontrolleinheit. Die wichtigsten Bauteile sind gekennzeichnet. Für Informationen über Bauteile die mit einem \* markiert sind, siehe Abschnitt 5.2.

### 3.3. Die Software im Mikrocontroller

Im Folgenden wird auf die Realisierung des Konzepts der Software im Mikrocontroller eingegangen. Es werden die einzelnen Schnittstellen und Protokolle beschrieben.

#### 3.3.1. Menüsteuerung

Die Bedienung der ZMX-Handsteuerung erfolgt über ein Menü, das auf dem Display visualisiert wird. Um im Menü zu navigieren, wird der Drehencoder „Menü“ auf der Kontrolleinheit benötigt. Für die Auswertung wird der Timer 1 als Encodereingang konfiguriert [19, p. 550-552]. Die dafür benötigten Leitungen sind in Tabelle 3.7 dargestellt.

Bezeichnung	Richtung	Funktion
SW1_A	Eingang	Rechtecksignal A
SW1_B	Eingang	Rechtecksignal B
SW1_T	Eingang	Taster dient zum Auswählen des Parameters

Tabelle 3.7.: Leitungen vom Drehinkrementalgeber zum Mikrocontroller

Die Encodereingänge sind zusätzlich mit einem digitalen Tiefpass-Filter konfiguriert, um dem mechanischen Prellen entgegen zu wirken [20, p. 13].

#### 3.3.2. Speicherung der eingestellten Endstufenparameter

Damit zuvor eingestellte Parameter der ZMX-Endstufe auch nach einem Neustart der ZMX-Handsteuerung zur Verfügung stehen, wird ein nichtflüchtiger Speicher benötigt. STM stellt für die Mikrocontroller der Familie STM32F40x eine EEPROM<sup>9</sup> Emulation im Flash-Speicher bereit [21, p. 1]. Gespeichert werden die Werte:

- Laufstrom
- Stoppstrom
- Schrittauflösung
- Endlageneinstellungen
- Impulsfrequenz

<sup>9</sup>Electrically Erasable Programmable Read-Only Memory

Sollten noch keine Werte beim Start der ZMX-Handsteuerung gespeichert sein, werden Default-Werte geladen.

### 3.3.3. Schnittstelle für die Kommunikation zum Display

Die Kommunikation zum Display wird über eine Hardware-SPI-Schnittstelle realisiert, d.h. der Mikrocontroller bietet GPIOs an die passend konfiguriert werden können [19, p. 882]. Die dafür benötigten Leitungen sind in Tabelle 3.8 zusammengefasst.

Bezeichnung	Richtung	Funktion
SCK <sup>10</sup>	Eingang	Schiebetakt für den Slave
NSS <sup>11</sup>	Eingang	Aktiviert den Datenempfang beim Slave
MOSI <sup>12</sup>	Ausgang	Datenleitung vom Master zum Slave

Tabelle 3.8.: Leitungen der SPI-Schnittstelle vom Mikrocontroller zum Display.

Das Display bietet die Möglichkeit Daten über SPI auszulesen, wird jedoch im Rahmen dieser Arbeit nicht eingesetzt. Der Ablauf der Kommunikation erfolgt gemäß Abbildung 3.3. Als erstes wird ein Start Byte gesendet das aus Synchronisationsbits, R/W<sup>13</sup> Anweisung und RS<sup>14</sup>-Bit besteht. Aus den zu sendenden Daten werden mit Hilfe einer Funktion ein „upper“ und „lower“ Byte erzeugt. Anschließend werden die Daten an das Display gesendet.

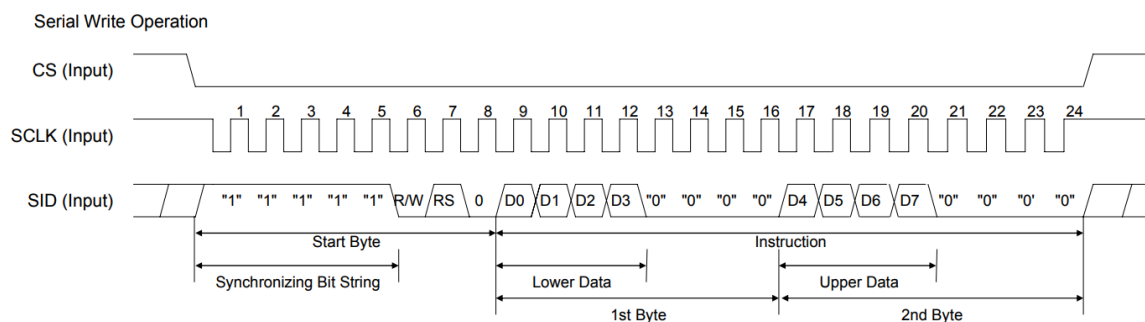


Abbildung 3.3.: Timing-Diagramm der Kommunikation vom Mikrocontroller zum Display [22, p. 27].

Nach jeder gesendeten Anweisung wird die geforderte Ausführungszeit gewartet. Diese entspricht beim Senden eines Zeichens mindestens 43µs und beim Löschen des gesamten

<sup>10</sup>Shift Clock

<sup>11</sup>Active Low Slave Select

<sup>12</sup>Master Out Slave In

<sup>13</sup>Read/Write

<sup>14</sup>Register Select

Displays mindestens 1.53ms. Erst danach darf eine neue Anweisung gesendet werden [15, p. 29-32].

### 3.3.4. Schnittstelle für die Kommunikation zum FPGA

Die Kommunikation zum FPGA wird über eine SPI-Schnittstelle realisiert. Der Mikrocontroller ist als Master und der FPGA als Slave definiert. Für die Schnittstelle sind vier Leitungen notwendig (vgl. Tabelle 3.9).

Bezeichnung	Richtung	Funktion
SCK	Eingang	Schiebetakt für den Slave
NSS	Eingang	Aktiviert den Datenempfang beim Slave
MISO <sup>15</sup>	Eingang	Datenleitung vom Slave zum Master
MOSI	Ausgang	Datenleitung Vom Master zum Slave

Tabelle 3.9.: Leitungen der SPI-Schnittstelle zwischen FPGA und Mikrocontroller aus Sicht des Masters.

Es ist möglich im Full-Duplex Betrieb zu arbeiten, d.h. es können gleichzeitig Daten gesendet und empfangen werden. Bei der Datenübertragung über SPI kann ein Slave den Takt zur Kommunikation nicht selber generieren. Das bedeutet, dass der Master beim Auslesen der Daten aus dem Slave den Takt bereit stellen muss. Um eine hinreichend schnelle Kommunikation zu gewährleisten, ist die Frequenz für den Schiebetakt auf 5.25MHz eingestellt. Eine genaue Beschreibung der Datenübertragung zum FPGA befindet sich im Kapitel 3.4.2.

### 3.3.5. Parametrierung der Endstufe

Die Anbindung der ZMX-Endstufe erfolgt über eine RS-485-Schnittstelle. Dabei handelt es sich um eine asynchrone serielle Datenübertragung. Hierfür kann der UART-Baustein im Mikrocontroller verwendet werden. Der Mikrocontroller stellt GPIOs bereit, die entsprechend der Anforderung konfiguriert werden können [19, p. 1010]. Für die Kommunikation werden zwei Pins benötigt, die laut Tabelle 3.10 parametrierung sind.

Bezeichnung	Richtung	Funktion
Rx	Eingang	Leitung für den Empfang von Daten
Tx	Ausgang	Leitung für das Senden von Daten

Tabelle 3.10.: Leitungen der UART-Schnittstelle vom Mikrocontroller zur ZMX-Endstufe.

<sup>15</sup>Master In Slave Out

Für den gesicherten Datenaustausch zwischen Mikrocontroller und ZMX-Endstufe, hat die Firma Phytron ein Protokoll vorgegeben [8, p. 6]. Die Einstellung für die UART-Schnittstelle sind wie folgt:

- Asynchrone Übertragung, 8 Bits/Byte, 1 Stopbit, 1 Paritybit
- Übertragungsgeschwindigkeit: 57600 Baud.

Das Telegrammformat muss der folgenden Form entsprechen:

<STX> <Adresse\_H> <Adresse\_L> <Befehl> <Wert> : <csh> <csl> <ETX>

Bezeichner	Bedeutung
STX	Startbyte, 0x02
Adresse_H	Höherwertiges Byte der Geräteadresse
Adresse_L	Niederwertiges Byte der Geräteadresse
Befehl	Befehlsbyte
Wert	Datenbyte/s
:	Begrenzer
csh	„High“ -Nibble der Prüfsumme
csl	„Low“ -Nibble der Prüfsumme
ETX	Endzeichen, 0x03

Tabelle 3.11.: Erläuterung des Protokolls zur Kommunikation mit der ZMX-Endstufe [8, p. 6].

Im Mikrocontroller werden die Daten entsprechend aufbereitet und an die ZMX-Endstufe gesendet.

### 3.3.6. Programmablauf

Die Software des Mikrocontrollers besteht aus zwei Teilen. Die Initialisierung und dem Hauptprogramm.

Zuerst wird der Mikrocontroller initialisiert, d.h. es werden die GPIOs, der Timer zum Senden von Daten an das Display und die Kommunikationsschnittstellen konfiguriert (vgl. Abb.3.4). Es werden selbst definierte Zeichen<sup>16</sup> [15, p. 3] an das Display übertragen, um sie später nutzen zu können.

<sup>16</sup>c und w negiert, c und w invertiert und C und W durchgestrichen

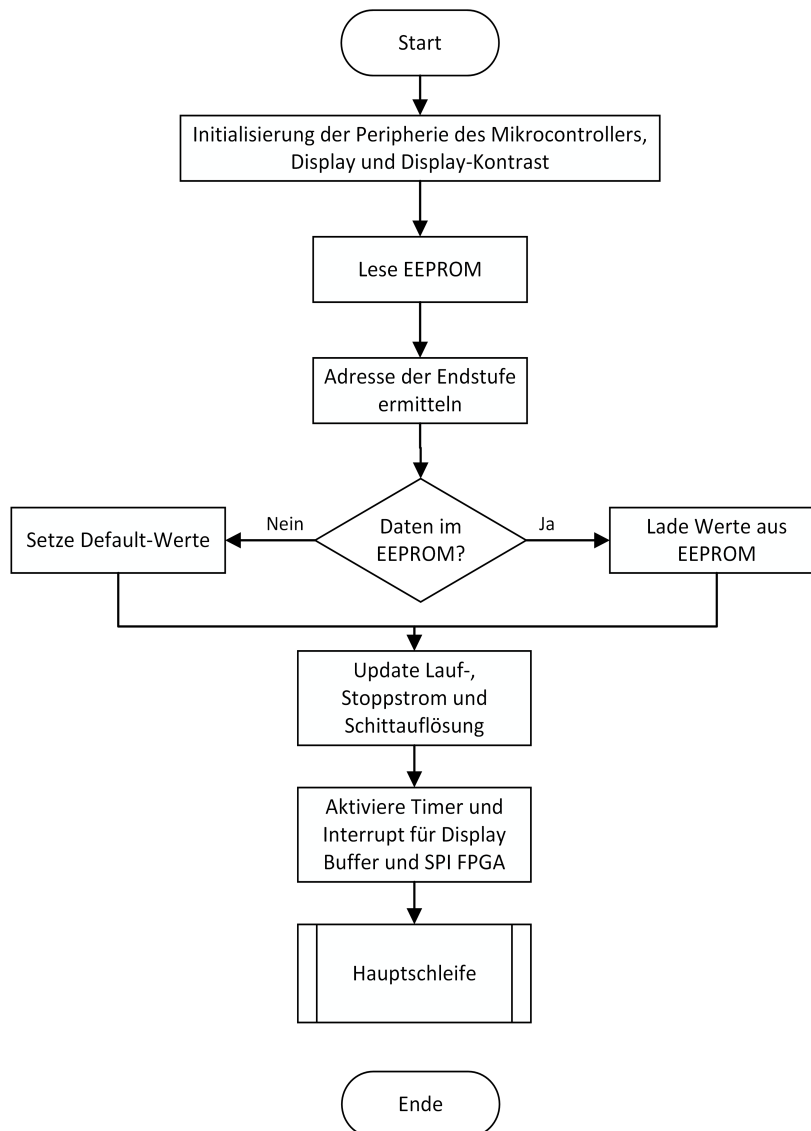


Abbildung 3.4.: Programmablauf der Initialisierung im Mikrocontroller. Es werden die genutzten Funktionen konfiguriert und die ZMX-Handsteuerung in einen sicheren Anfangszustand gebracht.

Anschließend werden die gespeicherten Parameter aus dem emulierten EEPROM geladen und für die Übertragung zur ZMX-Endstufe bereit gestellt. Die Zähler der Encoder und der Schritte im FPGA werden zurückgesetzt. Um einen definierten Anfangszustand zu erhalten, wird die Impulserzeugung gestoppt und die ZMX-Endstufe deaktiviert. Als letzter Punkt werden die Timer und Interrupts für das Schreiben von Daten in den Buffer für das Display und für die Datenübertragung zum FPGA initialisiert. Das Programm wird in der Hauptschleife (vgl. Abb. 3.5) fortgesetzt.

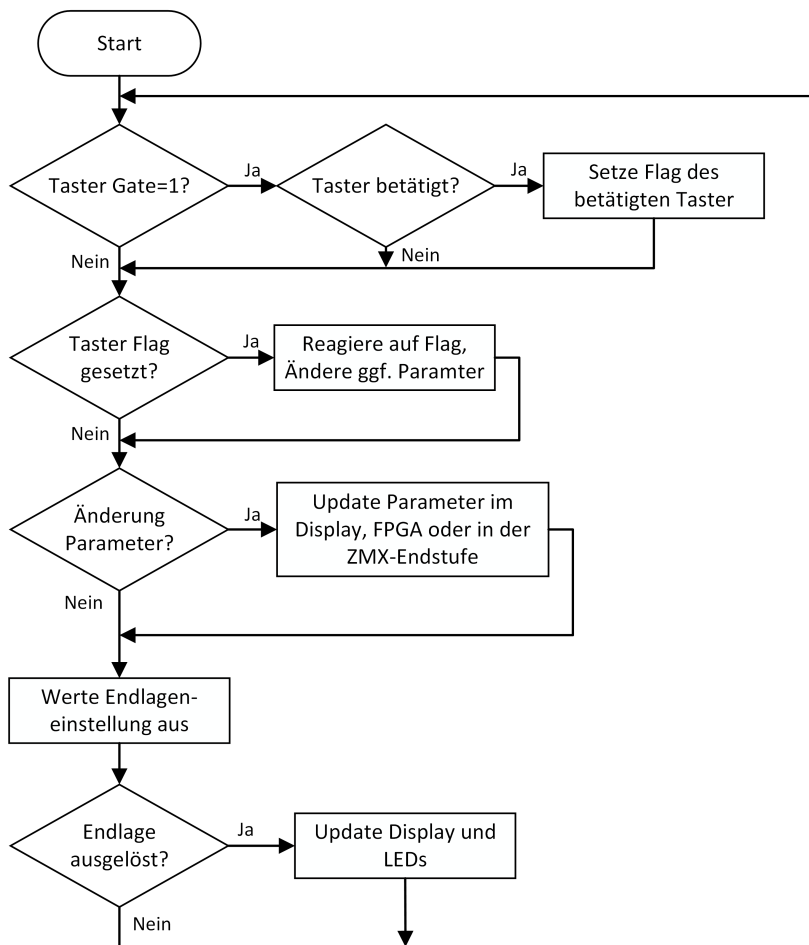


Abbildung 3.5.: Programmablauf innerhalb der Hauptschleife im Mikrocontroller. Dieser Programmteil reagiert auf Änderungen durch Eingabe des Nutzers: Betätigung der Taster CW, CCW, Stopp und Entregen (dieser Taster dient der Aktivierung und Deaktivierung der Endstufe).

Der Programmablauf im Betrieb ist in zwei Teile unterteilt, der Hauptschleife und dem Interrupt gesteuerten Teil. Innerhalb der Hauptschleife wird auf die Betätigung der Taster reagiert. Resultiert daraus eine Änderung eines Parameters, wird das passende Bit gesetzt. Löst ein Interrupt aus, z.B. für die Aktualisierung der Parameter in dem Display, werden die dazugehörigen Bits überprüft. Aktualisierte Parameter werden in den Sendebuffer für das Display geschrieben. Daten die zum FPGA übertragen werden sollen, werden ebenfalls in Variablen gespeichert. Erst mit dem Interrupt zum Senden von Daten, werden die Daten in das adressierte Register geschrieben. Daten an die ZMX-Endstufe werden direkt bei Änderung des Werts übertragen.

Insgesamt werden fünf Timer gesteuerte Interrupts genutzt. Mit Hilfe der Gleichung 3.3.6.1 [23, p. 10] können Prescaler bzw. Periode bei geeigneter Annahme berechnet werden.

$$f_{up} = \frac{f_{clk}}{(Periode + 1) \cdot (Prescaler + 1)} \quad (3.3.6.1)$$

Ein Interrupt z.B. soll alle 20 ms ausgelöst werden. Das bedeutet eine Frequenz von 50Hz, die der Timer 5 vorgeben wird. Laut Datenblatt ist die dort anliegende Frequenz 84MHz [19, p. 217]. Für den Prescaler wird der Wert 499 angenommen, so dass die Periode mit der umgestellten Formel berechnet werden kann:

$$Periode = \left( \frac{f_{clk}}{(Prescaler + 1) \cdot f_{up}} \right) - 1 \quad (3.3.6.2)$$

$$= \left( \frac{84MHz}{(499 + 1) \cdot 20MHz} \right) - 1 \quad (3.3.6.3)$$

$$= 4999 \quad (3.3.6.4)$$

In Tabelle 3.12 sind die genutzten Interrupts mit zugehöriger Konfiguration und Anwendung dargestellt.

Name	EEPROM	SPI-Display	SPI-FPGA	Display-Buffer	Drehencoder
Timer	2	3	4	5	6
Zeit	250ms	1us	20ms	20ms	50ms
Periode	4199	41	499	499	499
Prescaler	4999	1	3359	3359	8399
Priorität	4	0	2	1	3
Subpriorität	0	0	0	0	0

Tabelle 3.12.: Konfiguration der Interrupts im Mikrocontroller.

Löst der Interrupt für die Datenübertragung an das Display aus, wird überprüft ob Daten im Buffer vorhanden sind. Ist das der Fall, wird die Übertragung gestartet. Das Display wird selektiert und die erste Anweisung (Adresse) gesendet. Nach jeder Anweisung muss die Ausführungszeit im Display beachtet werden. Während dieser Zeit darf keine neue Anweisung an das Display erfolgen. Wird der Interrupt nach einer Mikrosekunde wieder aufgerufen, wird als erstes überprüft ob die Ausführungszeit abgelaufen ist. Ist das nicht der Fall, springt der Mikrocontroller zurück in das Hauptschleife. Auf diese Weise können während dieses Zeitraums andere Anweisungen ausgeführt werden. Abbildung 3.6 zeigt den Programmablauf im Interrupt.

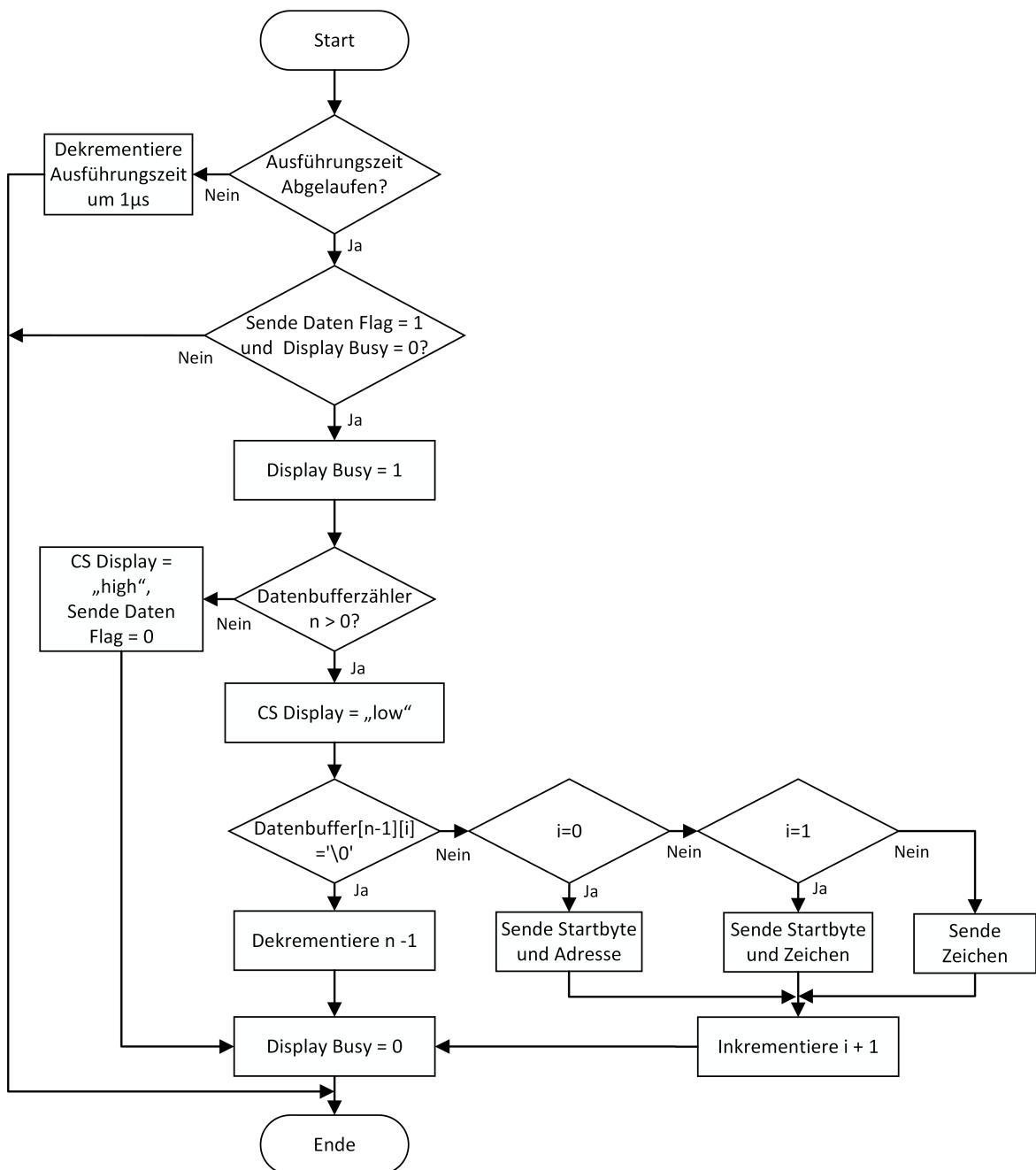


Abbildung 3.6.: Dargestellt ist der Programmablauf für den Interrupt zum Senden von Daten an das Display. Erst wenn die Ausführungszeit nach dem Senden einer Anweisung an das Display abgelaufen ist, darf eine neue Anweisung gesendet werden. Nach jeder Übertragung wird durch die Funktion für das Senden von Daten über SPI der Zähler für die Ausführungszeit zurückgesetzt. So können während dieser Zeit andere Programmteile ausgeführt werden.

Der Display-Buffer arbeitet nach dem FIFO<sup>17</sup>-Prinzip. Die Daten die zuerst in den Buffer geschrieben werden, werden auch als erstes an das Display übertragen. Abbildung 3.7 zeigt den Aufbau des Sendebuffers. Geänderte Anzeigewerte werden im Timer 5 Interrupt aufbereitet und in den Buffer geschrieben. Wird dort die Flag zum Senden von Daten gesetzt, startet beim nächsten Sende-Interrupt die Datenübertragung zum Display.

Buffer[n]	Adresse	D[0]	D[1]	D[2]	...	D[i-1]	D[i]
0	0x80	l	R	u	...	n	\0
1	0xA0	l	S	t	...	p	\0
2	0xCB	+	1	\0	...		
...	...	...	...	...	...	...	...
n	0xEB	1	5	0	...	z	\0

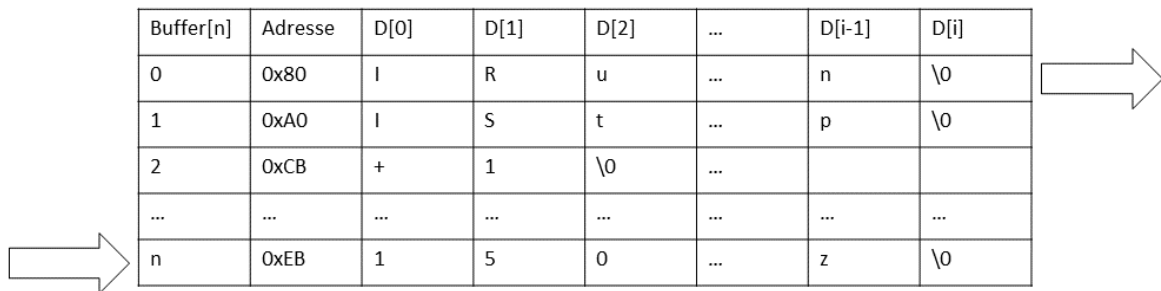


Abbildung 3.7.: Aufbau des Display-Buffers: Zuerst wird die Adresse gespeichert, gefolgt von den Daten und dem Nullterminator. Zuerst in den Buffer geschriebene Daten, werden auch als erstes an das Display übertragen.

Die Auswertung des FPGAs wird zyklisch alle 20ms ausgeführt. Es wird der Zustand der Endlagen ausgelesen, sowie die Werte des Encoder- und Schrittzählers. Ist das Flag zum senden von Daten gesetzt, werden sie in das passende Register im FPGA geschrieben. Der Programmablauf ist in Abbildung 3.8 dargestellt.

<sup>17</sup>First In First Out

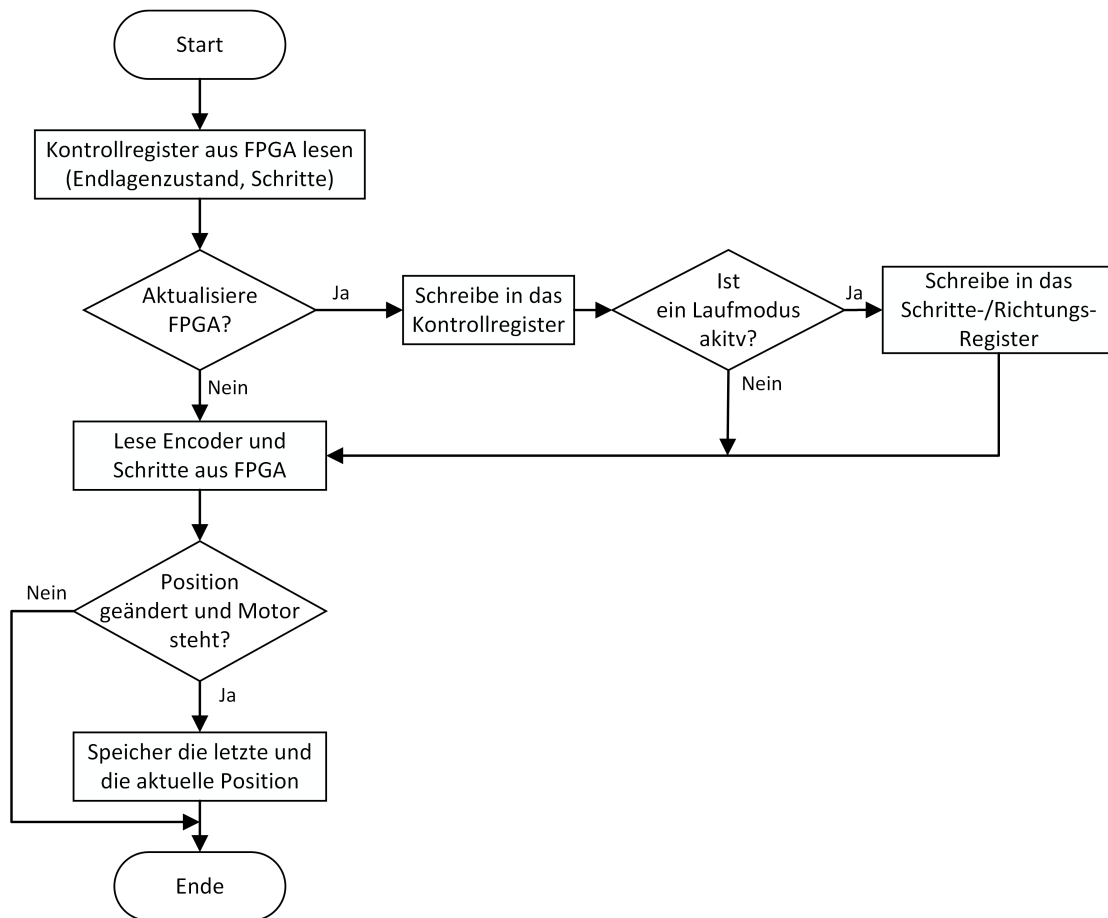


Abbildung 3.8.: Programmablauf für den Interrupt zum Senden von Daten zum FPGA. Löst der Interrupt aus, wird als erstes Kontrollregister ausgelesen. Anschließend werden aktualisierte Daten an den FPGA übertragen. Als letztes werden die Encoder und gezählten Schritte ausgelesen.

Der Timer 2 Interrupt ist für das Speichern von Parametern im EEPROM zuständig. Wird für 30s die Impulsfrequenz nicht geändert, oder das Menü verlassen, werden die Werte gespeichert. Im Interrupt der durch den Timer 6 ausgelöst wird, findet alle 50ms die Auswertung der Drehencoder statt. Bei Änderung wird das passende Flag gesetzt und neue Werte zum FPGA, zu der ZMX-Endstufe oder an das Display übertragen.

### 3.4. Aufbau der Firmware im FPGA

Im Folgenden wird die Realisierung der Firmware im FPGA beschrieben.

#### 3.4.1. Auswerten von Encodern

Abbildung 3.9 zeigt das Konzept zum Auswerten von Encodern. Die Eingänge A und B, jeweils Bits, werden auf einen zwei Bit Vektor x abgebildet. Ein Zustandsautomat reagiert auf die Änderung in dem Vektor. Ist der Zustand "00" aktiv, heißt dies das beide Eingänge „low“ sind. Wird nun angenommen das A „high“ und B „low“ ist, so nimmt x den Wert „10“ an. Der Zustand wechselt nach "10". Folglich hat sich der Motor um einen Encoder-Schritt bewegt und der Zähler wird um ein inkrementiert [24]<sup>18</sup>.

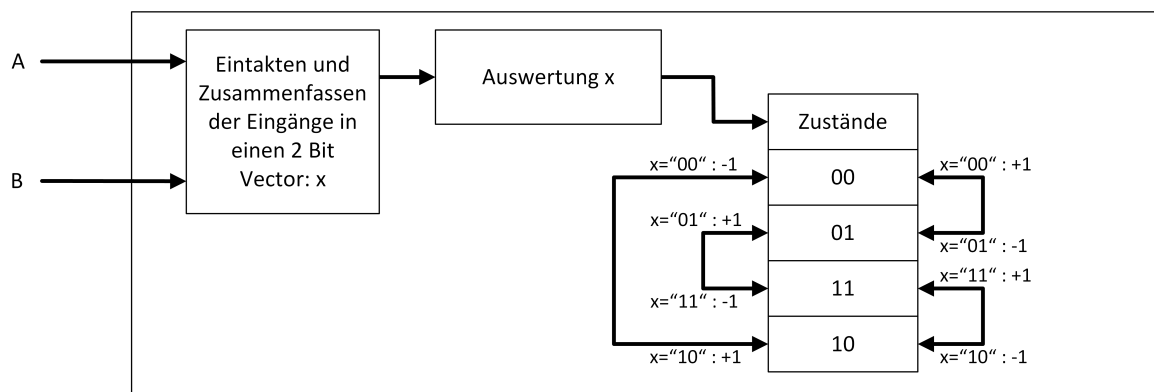


Abbildung 3.9.: Auswertung von Quadratur-Encodern im FPGA. Die Eingänge A und B werden zusammengefasst und ausgewertet. Anhängig davon welcher Zustand aktiv ist, wird inkrementiert (+1) oder dekrementiert (-1) und der Zustand entsprechend gewechselt.

#### 3.4.2. Verarbeitung der Kommunikation über SPI im FPGA

Um die Kommunikation über die SPI-Schnittstelle zu beginnen, muss das Signal NSS auf den Pegel „low“ geschaltet werden. Mit dem Takt auf der SCK-Leitung werden die Daten von der MOSI-Leitung übernommen, bzw. auf die MISO-Leitung geschoben. Sobald das Signal NSS auf den Pegel „high“ gesetzt wird, ist die Kommunikation beendet. Abbildung 3.10 zeigt die Kommunikation zwischen FPGA und Mikrocontroller über SPI. Hierbei wird ein festes Format verwendet, welches aus insgesamt 6 Bytes (vgl. Tabelle 3.13) besteht: Als erstes wird die

<sup>18</sup>Der Quellcode wurde von [24] übernommen und angepasst. Änderungen sind im Quellcode vermerkt.

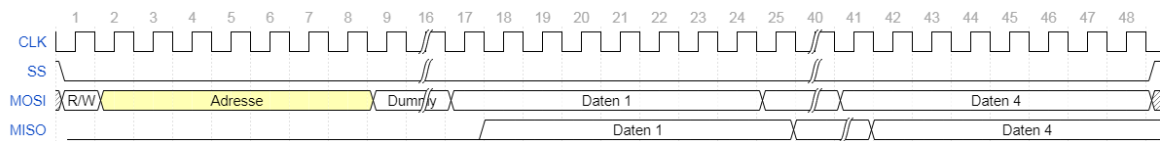


Abbildung 3.10.: Timing-Diagramm der Kommunikation zwischen FPGA und Mikrocontroller. Es wird die Read-/Write-Anweisung mit Adresse und vier Byte Daten übertragen.

R/W Anweisung übertragen, gefolgt von der Adresse des Registers, das beschrieben oder gelesen werden soll. Das erste Byte muss den Aufbau in Tabelle 3.14 entsprechen.

Byte 1	Byte 2	Byte 3	Byte 4	Byte 5	Byte 6
R/W, Adresse	Dummy	Daten 1	Daten 2	Daten 3	Daten 4

Tabelle 3.13.: Datenframe zur Kommunikation mit dem FPGA über SPI.

Bit	7	6	5	4	3	2	1	0
Anweisung	R/W	Adresse						
	= 0 : Lese Register							
	= 1 : Schreibe Register							

Tabelle 3.14.: Aufbau des ersten Bytes, das die R/W Anweisung und die Adresse enthält.

Anschließend folgt ein Dummy-Byte. Beim Ausführen einer Leseanweisung müssen die Daten aus dem passenden Register in das Ausgangsregister geladen werden. Das Dummy-Byte sorgt dafür, dass genügend Zeit für den Vorgang zur Verfügung steht. Im Anschluss können vier Bytes an Daten geschrieben oder gelesen werden. Tabelle 3.15 zeigt die im FPGA implementierten Register mit Adresse, Zugriffsmodus und Beschreibung der Funktion.

Adresse	Register	Zugriff	Beschreibung
0x00	Firmware	R	Lese aktuelle Firmware Version aus
0x01	Inkrementalgeber	R	Lese Encoder Wert aus
		W	Reset Encoder
0x02	Steuerregister	R	Lese Steuerregister und Endlagen
		W	Schreibe Steuerregisterr
0x03	n-Schritte Sollwert	W	Schreibe n-Schritte Sollwert
0x04	Impulsfrequenz	W	Schreibe Impulsfrequenz
0x05	Impulszähler	R	Lese Impulszähler
		W	Reset Impulszähler

Tabelle 3.15.: Register im FPGA mit Adresse und deren Zugriffsmodus

Das Empfangen bzw. Versenden von Daten ist in zwei Programmteile unterteilt. Der erste Teil ist für die Auswertung des Schiebetakts zuständig (vgl. Abb. 3.11). Es werden die Takte gezählt, die durch den Mikrocontroller generiert werden. Mit steigender Flanke werden Daten von der MOSI Leitung übernommen, bzw. mit fallender Flanke auf die MISO Leitung gelegt. Das ist zwingend notwendig, damit dem Mikrocontroller die Daten rechtzeitig zur Verfügung stehen. Als erstes wird das MSB<sup>19</sup> gesendet bzw. empfangen.

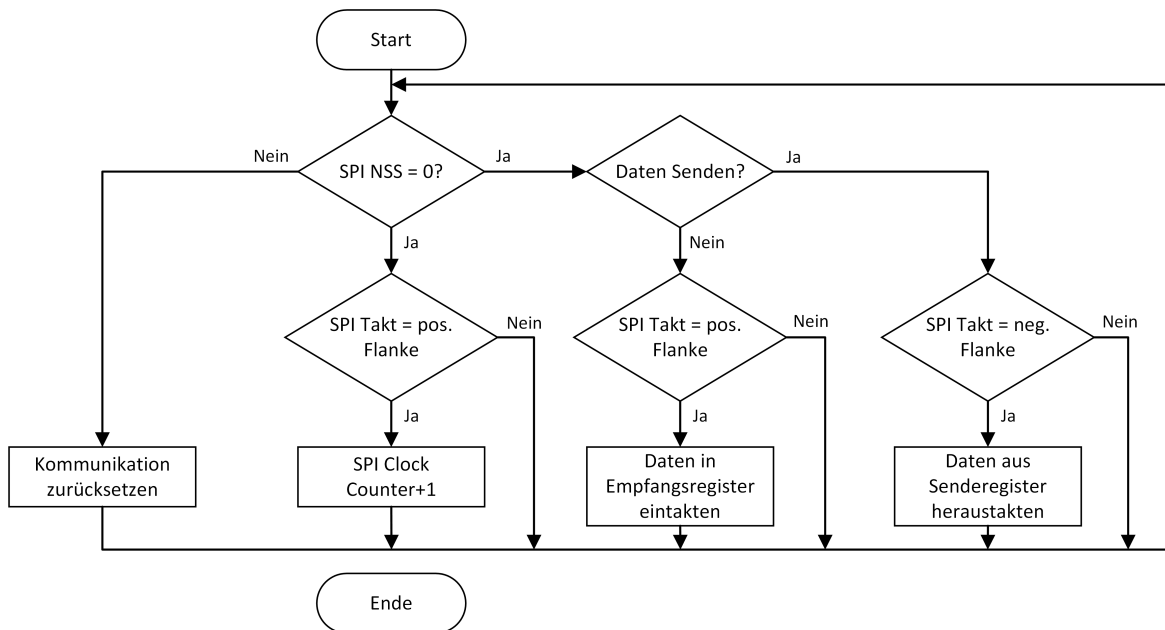


Abbildung 3.11.: Programmablauf für das Empfangen bzw. Senden von Daten über SPI. Der FPGA ist als Slave aufgebaut und benötigt dementsprechend einen externen Takt. Daten werden mit steigender Flanke empfangen und bei fallender Flanke gesendet.

Der zweite Programmteil befasst sich mit der Aufbereitung empfangener Daten. Mit Hilfe einer State-Machine werden sie entsprechend aufbereitet. Dabei werden dem Modul für die Datenverarbeitung die Lese- Schreibanweisung, die Registeradresse und ggf. die Daten einzeln zur Verfügung gestellt. Abbildung 3.12 zeigt den Ablauf, welcher im FPGA implementiert wurde.

<sup>19</sup>Most Significant Bit

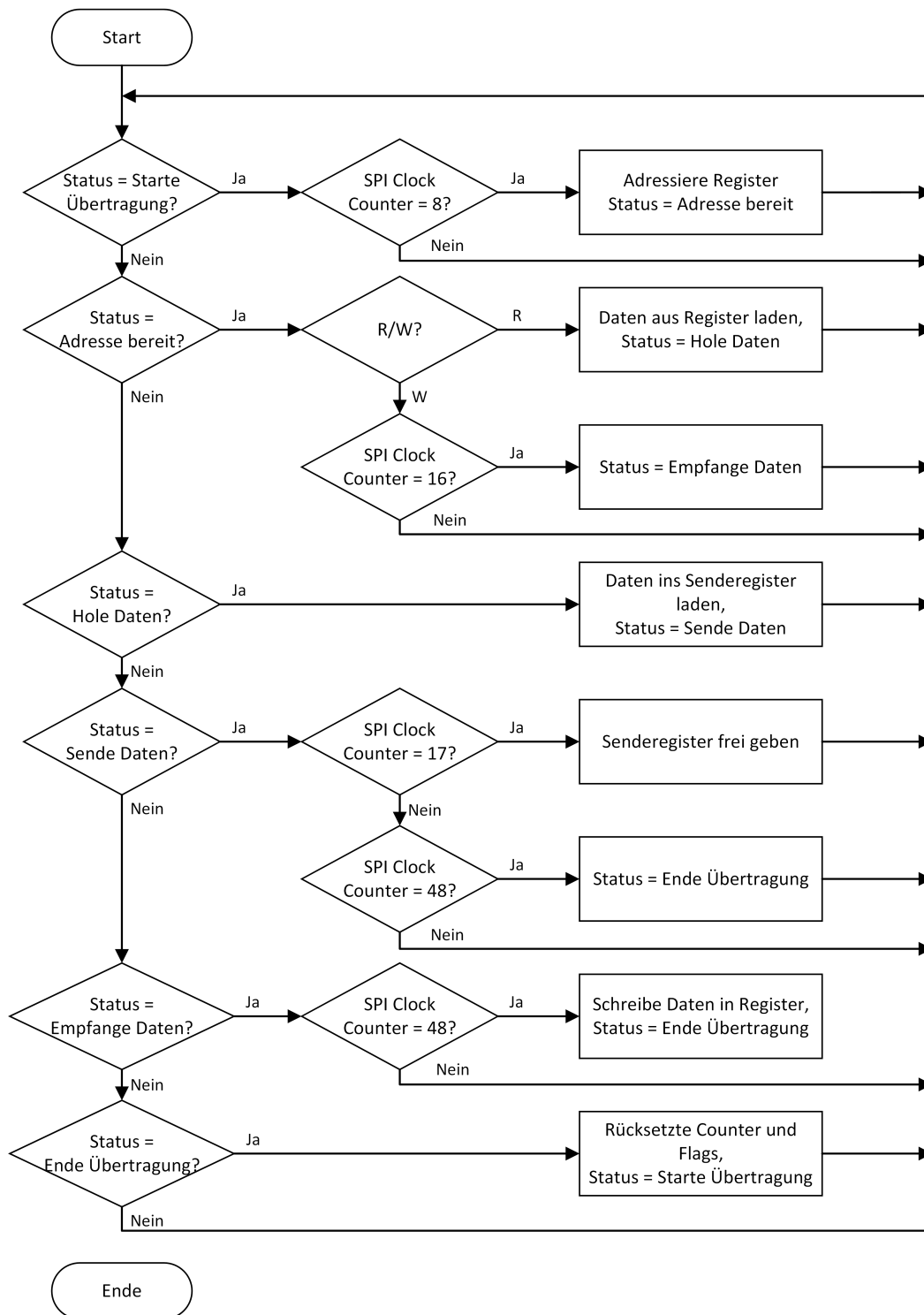


Abbildung 3.12.: Programmablauf der State-Machine für die Kommunikation über SPI.

### 3.4.3. Datenverwaltung

Stellt die SPI-Kommunikation Daten bereit wird überprüft, ob es sich dabei um neue Daten handelt. Dies ist der Fall, wenn sich die Adresse, die R/W-Anweisung oder die Daten geändert haben. Handelt es sich dabei um Schreibzugriff, werden die empfangenen Daten in das adressierte Register geschrieben. Sollen Daten gelesen werden, stellt die Datenverwaltung sie der Schnittstelle zur Kommunikation über die Schnittstelle SPI zur Verfügung. Der Programmablauf ist in Abbildung 3.13 veranschaulicht.

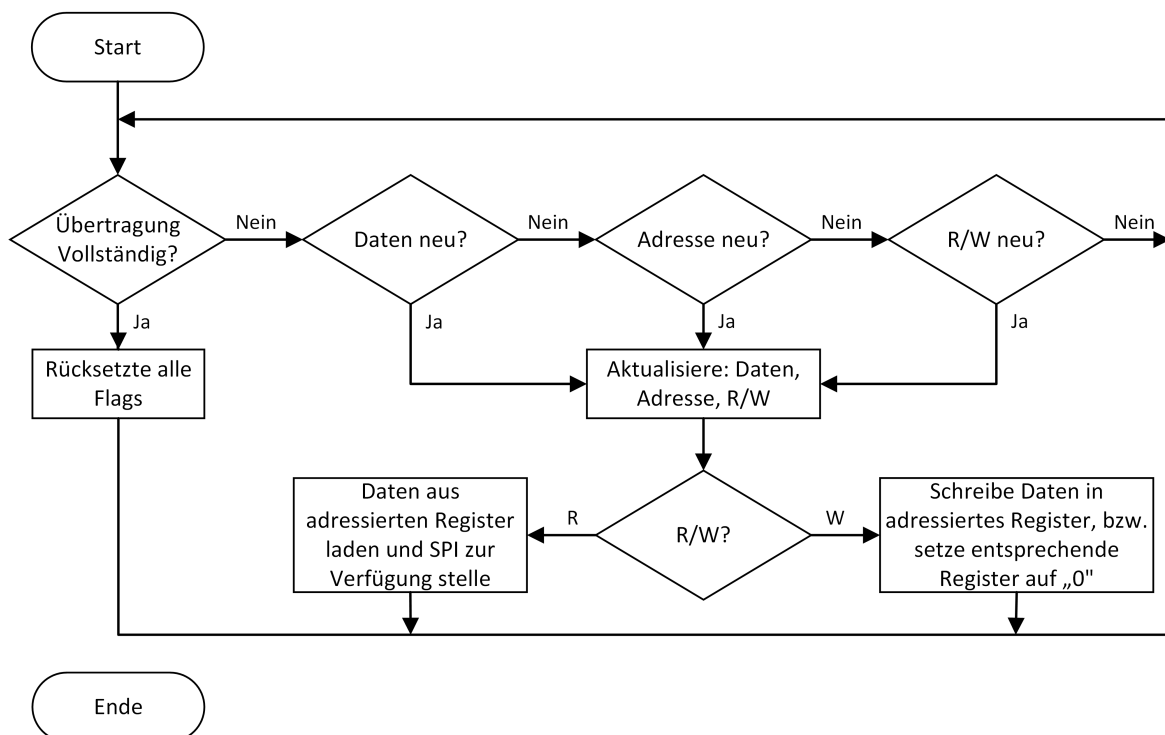


Abbildung 3.13.: Programmablauf zur Datenverwaltung im FPGA: Werden neue Daten vom SPI-Slave bereit gestellt, findet die Verteilung an das passende Register statt.

### 3.4.4. Frequenzerzeugung im FPGA

Um die Impulsfrequenz für die ZMX-Endstufe im FPGA zu erzeugen, wird eine DDS genutzt. Hierbei wird je nach eingestellter Ausgangsfrequenz ein Zähler um ein Vielfaches von  $\text{Cnt}_{\min}$  inkrementiert. Erreicht der Zähler  $2^{n-1}/2$ , wird der Ausgang auf „high“ geschaltet. Entspricht der Zähler  $2^n$ , kommt es zu einem Überlauf und er wird wieder auf 0 gesetzt. Der Ausgang wird „low“ gesetzt und die Periode beginnt von neuem [25, p. 5]. Der Programmablauf ist in Abbildung 3.14 dargestellt.

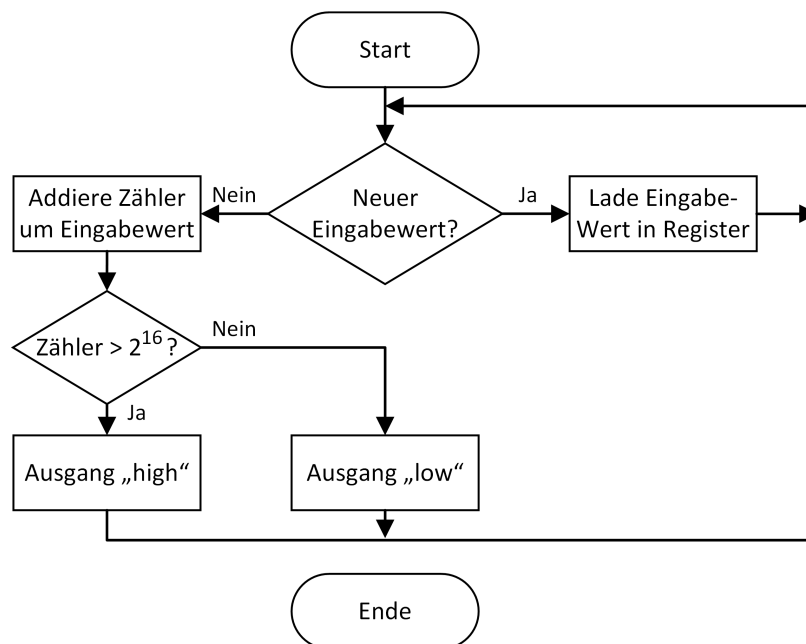


Abbildung 3.14.: Programmablauf vom DDS. Bei jedem Durchlauf wird der Zähler um den Eingabewert erhöht und verglichen, ob der Zählerstand größer als  $2^{32}$  ist und dementsprechend der Ausgang geschaltet.

Mit Hilfe der Gleichung 3.4.4 [25, p. 14] lässt sich der minimale Wert, um den der Zähler erhöht werden muss berechnen.

$$Cnt_{min} = \frac{2^n \cdot f_{out_{min}}}{f_{Takt}} \quad (3.4.4.1)$$

In diesem Fall soll sich die Frequenz von 1Hz bis 100kHz einstellen lassen. Die Taktfrequenz vom FPGA beträgt 100MHz und der Zähler ist 32-Bit groß.

$$Cnt_{min} = \frac{2^n \cdot f_{out_{min}}}{f_{Takt}} \quad (3.4.4.2)$$

$$= \frac{2^{32} \cdot 1Hz}{100MHz} \quad (3.4.4.3)$$

$$= 42,9496 \quad (3.4.4.4)$$

Der minimale Wert um den der Zähler inkrementiert werden darf, beträgt laut Berechnung 42,9496. Zur Erzeugung einer Frequenz von beispielsweise 1.5 kHz wird in Gleichung 3.4.4  $f_{out}=1500$  Hz gesetzt.

$$= \frac{2^{32} \cdot 1500Hz}{100MHz} \quad (3.4.4.5)$$

$$= 64424,509 \quad (3.4.4.6)$$

Diese Rechenoperation wird im Mikrocontroller ausgeführt. Es wird an den FPGA der auf den nächsten ganzzahligen Wert gerundete  $Cnt$  übertragen.

### 3.4.5. Impulserzeugung

Innerhalb der Impulserzeugung findet sowohl das Generieren der Pulse für die ZMX-Endstufe, als auch das Auswerten der Endlagen statt. Der Programmablauf ist in Abbildung 3.15 dargestellt. Als erstes wird das Schritt- und Richtungsregister ausgewertet. Die Drehrichtung des Motors wird somit festgelegt. Das Register enthält ebenfalls die Anzahl der Schritte, welche in eine Richtung erzeugt werden sollen. Durch das Kontrollregister wird die ZMX-Endstufe aktiviert oder deaktiviert. Im Kontrollregister werden ebenfalls die Endlageneinstellungen und der Laufmodus festgelegt.

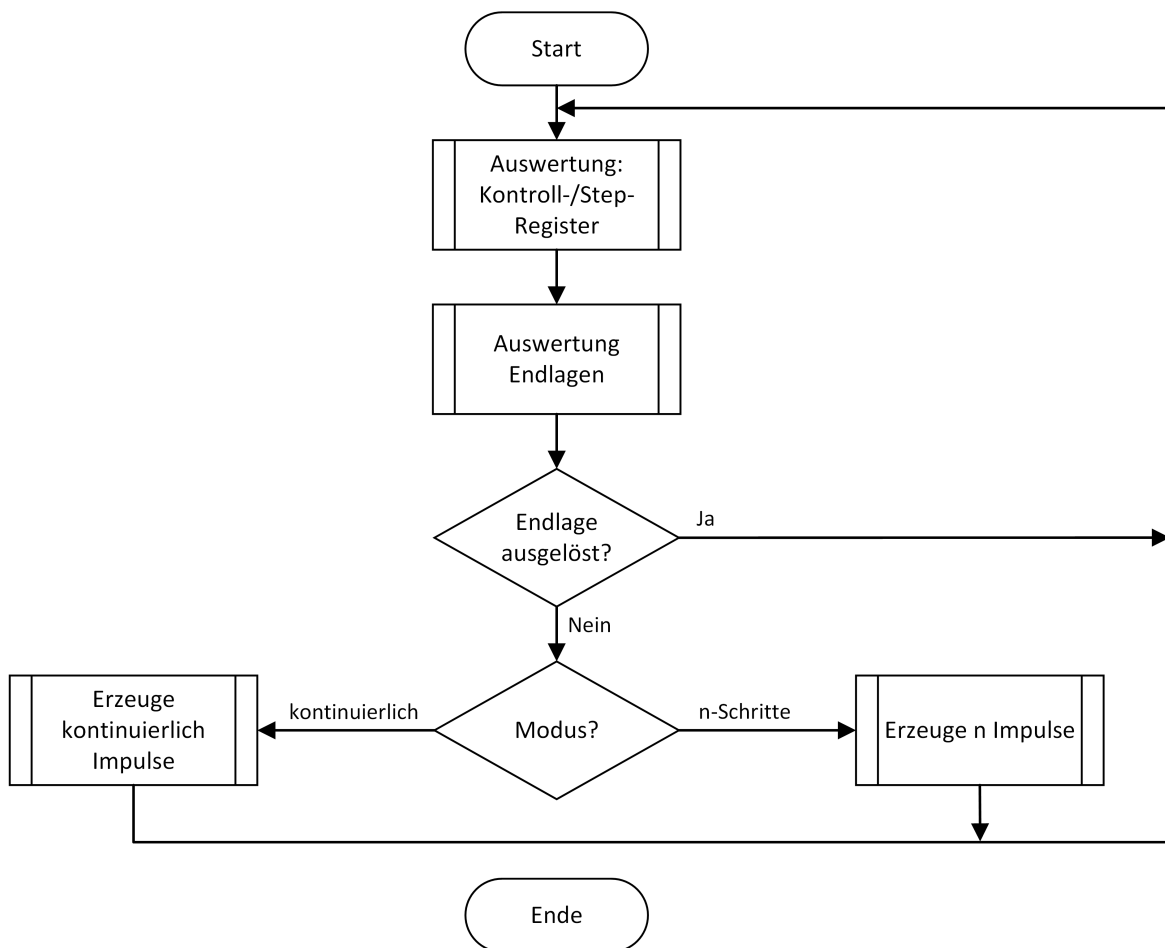


Abbildung 3.15.: Programmablauf des Bausteins für die Impulserzeugung. Nachdem die Kontrollregister und Endlagen ausgewertet wurden, werden je nach Einstellung die Impulse für die ZMX-Endstufe erzeugt.

Name	Bit	Wert [dezimal]	Funktion
Mode	0 - 1	0	Stop Impulserzeugung
		1	kontinuierlicher Modus
		2	n-Schritt-Modus
CCW	8 - 9	0	Reset Einstellungen
		1	active high
		2	active low
		3	deaktiviert
CW	12 - 13	0	Reset Einstellungen
		1	active high
		2	active low
		3	deaktiviert
ZMX	24	0	Endstufe deaktiviert
		1	Endstufe aktiviert
Reset	25	0	Endstufe Reset deaktiviert
		1	Endstufe Reset aktiviert

Tabelle 3.16.: Bedeutung der einzelnen Bits in dem Kontrollregister mit den einstellbaren Funktionen.

Name	Bit	Wert [dezimal]	Funktion
Steps	0 - 23	0 bis 16777216	Anzahl der Schritte
Dir	31	0	Lafrichtung CCW
		1	Lafrichtung CW

Tabelle 3.17.: Bedeutung der einzelnen Bits in dem Schritt- und Richtungsregister mit den einstellbaren Funktionen.

Nachdem der Laufmodus und die Richtung parametrisiert wurden, wird überprüft, ob eine Endlage ausgelöst hat. Dies dient als direkte Schaltbedingung für das Erzeugen der Impulse für die ZMX-Endstufe. Hat keine Endlage ausgelöst, wird mit der Impulserzeugung fortgefahren. Der kontinuierliche Modus (vgl. Abb. 3.16) wird so lange durchlaufen, bis dieser entweder vom Nutzer, oder durch das Auslösen einer Endlage gestoppt wird. Der Unterschied zwischen kontinuierlichem und n-Schritte Modus (vgl. Abb. 3.17) besteht darin, dass der Programmablauf im n-Schritte Modus n-mal durchlaufen werden muss und die Impulserzeugung danach beendet wird.

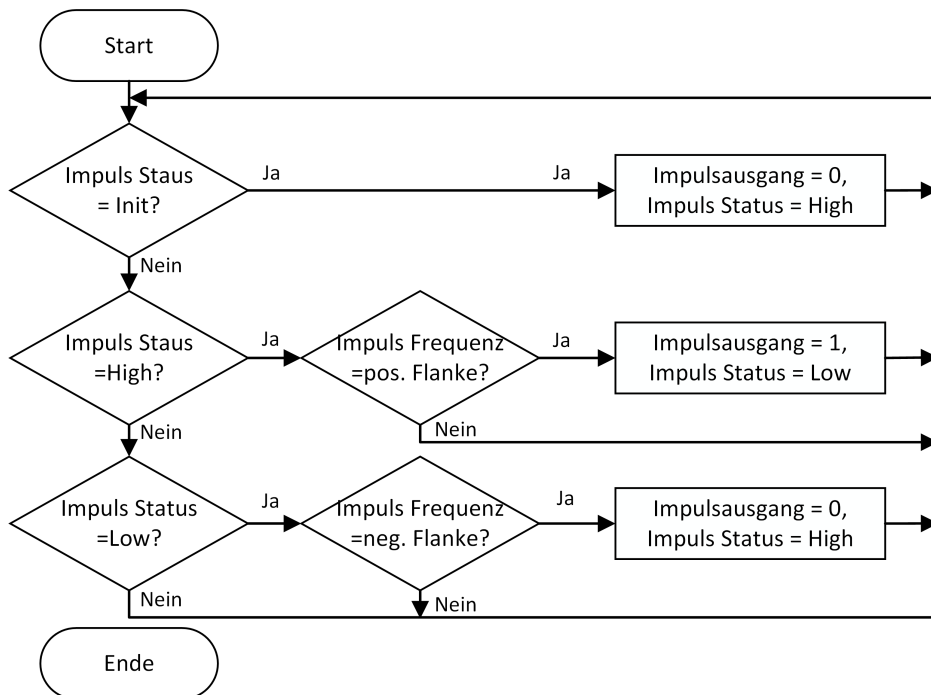


Abbildung 3.16.: Programmablauf für die kontinuierliche Erzeugung von Impulsen. Der Modus wird so lange durchlaufen bis die Impulserzeugung gestoppt wird. Dies kann entweder durch den Nutzer, oder durch das Auslösen einer Endlage geschehen.

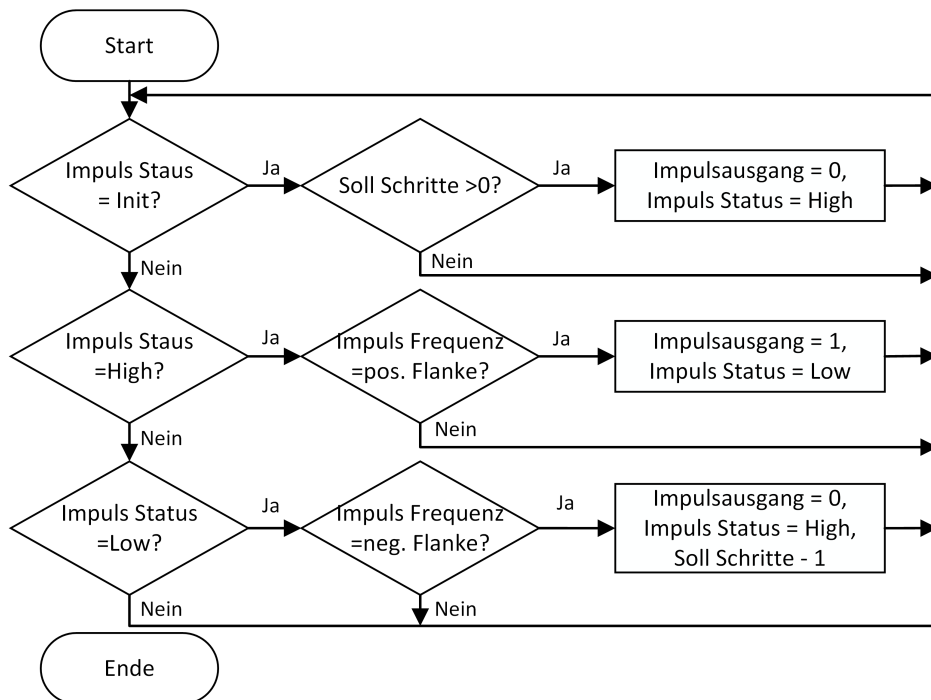


Abbildung 3.17.: Programmablauf für die Erzeugung von  $n$ -Schritten. Wird der Modus  $n$ -mal durchlaufen, hört die Impulserzeugung auf. Das Auslösen einer Endlage, oder der Nutzer kann die Impulserzeugung vorzeitig beenden.

### 3.4.6. Impulszähler

Wird ein Impuls im FPGA erzeugt, so detektiert der Impulszähler die steigende Flanke. Zusätzlich findet eine Überprüfung der Drehrichtung statt, um dann entsprechend mit einem Zähler aufwärts (im Uhrzeigersinn drehend) oder abwärts (gegen den Uhrzeigersinn drehend) zu zählen. In Abbildung 3.18 ist der Programmablauf des Impulszählers dargestellt.

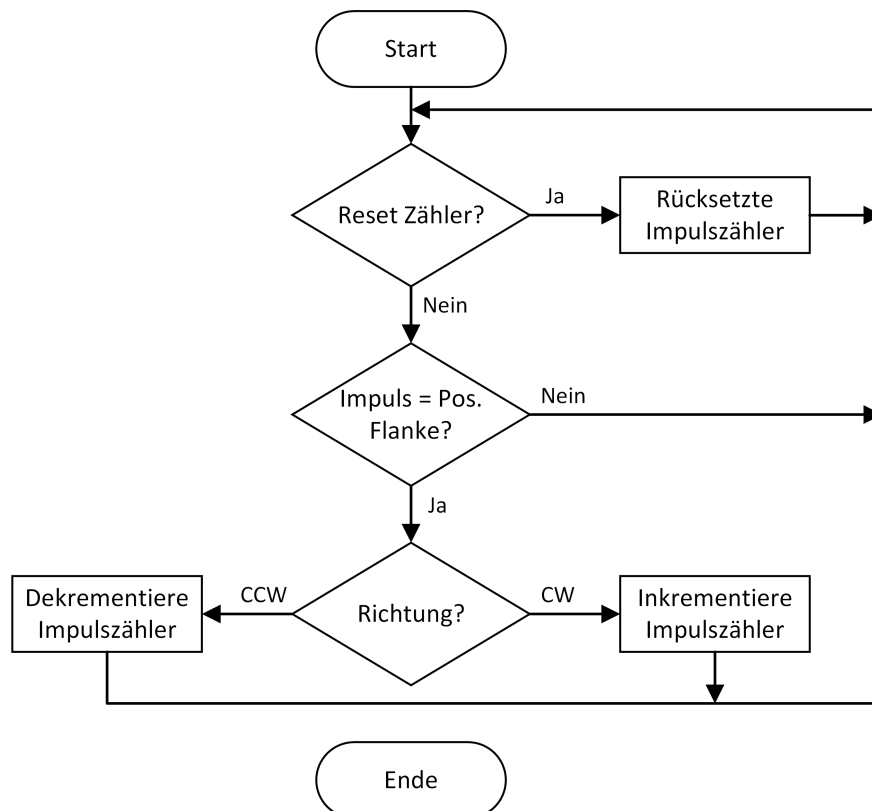


Abbildung 3.18.: Programmablauf des Impulszählers. Wird eine steigende Flanke detektiert wird je nach Drehrichtung aufwärts oder abwärts gezählt.

## 4. Test und Validierung

In diesem Kapitel wird auf die Inbetriebnahme und den Funktionstest der ZMX-Handsteuerung eingegangen. Als erstes wird die Hardware der Kontrolleinheit auf Funktion geprüft. Gefolgt vom Testen einzelner Komponenten in Soft- und Firmware. Im Anschluss folgt der Gesamttest der ZMX-Handsteuerung mit Hilfe eines Schrittmotors und mit angeschlossenem Encoder.

### 4.1. Erstinbetriebnahme

Für die Erstinbetriebnahme wurde die Leiterplatte in folgender Reihenfolge bestückt:

1. Spannungsregler: 3.3V, 2.5V, 1.2V
2. FPGA und Peripherie
3. Mikrocontroller und Peripherie
4. Display und Peripherie
5. Ein- und Ausgangsstufe
6. Ein- und Ausgabeelemente

Nach jedem Punkt wurde die Leiterplatte an einen einstellbaren Netzteil<sup>1</sup> angeschlossen und mit 5V DC versorgt. Die Strombegrenzung wurde auf 200mA eingestellt, um mögliche Schäden an den Bauteilen durch einen Kurzschluss auf der Leiterplatte zu verhindern.

Im ersten Testlauf wurde die Spannungsversorgung getestet. Nach Einschalten des Netzgeräts, lag der Stromverbrauch bei 1,9mA. Die Ausgangsspannungen der Linearregler wurden mit einem Multimeter<sup>2</sup> gemessen und in die Tabelle 4.1 eingetragen.

Anschließend wurde der FPGA bestückt und mit einer Firmware beschrieben. Mit der Fehlermeldung das der Chip nicht gefunden wurde, konnte das Beschreiben des FPGAs nicht abgeschlossen werden. Eine Überprüfung der Spannungsversorgung an den Versorgungspins ergab keine Abweichung zum Datenblatt. Nach genauer Studie des Datenblatts wurde

---

<sup>1</sup>HAMEG Programmable Power Supply HMP2030

<sup>2</sup>FLUKE 289 True RMS Multimeter

Spannung Sollwert [V]	3.3	2.5	1.2
Spannung Istwert [V]	3.28	2.51	1.19

Tabelle 4.1.: Soll- und Istwert der Spannungsversorgung auf der Kontrolleinheit

ersichtlich, dass das Pad unterhalb des Gehäuses angeschlossen werden muss [26, p. 5]. Zuvor wurde fälschlicherweise davon ausgegangen, dass es sich dabei um eine rein thermische und nicht elektrische Anbindung handelt. Um für die Erstbestückung den Aufwand gering zu halten, wurde auf die Anbindung des Pads verzichtet. Nachdem das Pad angeschlossen wurde, ließ sich der FPGA programmieren.

Der bestückte Mikrocontroller wurde direkt vom Programmieradapter erkannt und ließ sich programmieren.

Um das Display zu testen, wurde auf dem Mikrocontroller der Initialisierungsvorgang für die Anzeige durchgeführt [22, p. 49-50] und anschließend ein Teststring gesendet. Dieser Test blieb erfolglos. Die Fehlersuche ergab, dass MISO- und MOSI-Leitung der SPI-Kommunikation vertauscht waren. Nach Beheben des Fehlers konnte das Display erfolgreich initialisiert und beschrieben werden.

Zuletzt wurden die Ein- und Ausgangsstufe, sowie die Ein- und Ausgabeelemente bestückt. Um die Taster und die Drehencoder zu testen, wurden jeweils die Eingänge am Mikrocontroller abgefragt und bei Betätigung eine LED zum Leuchten gebracht.

Die Funktionalität der differentiell zu single-ended Wandlung der Encodersignale wurde mit Hilfe eines Motors mit Encodern und einem Oszilloskop getestet (vgl. Abb. 4.1). Der Motor wurde von Hand bewegt, dabei war das zu erwartende Rechtecksignal auf dem Oszilloskop zu erkennen.

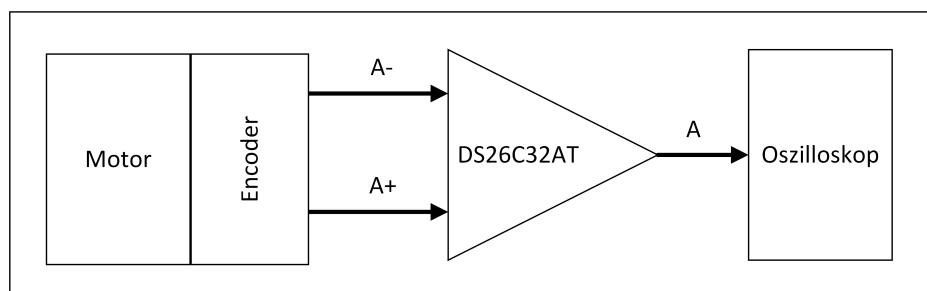


Abbildung 4.1.: Testaufbau für die Wandlung der differentiellen Encodersignale in single ended. Das single ended Signal wird mit einem Oszilloskop überprüft.

Löst eine Endlage aus, soll dies vom FPGA erkannt werden. Damit die 15V der Endlagen den FPGA nicht beschädigen, muss die Spannung auf 3.3V gewandelt werden. Um die Baugruppe für die Pegelanpassung zu testen, wurden am Eingang 15V bzw. 0V angelegt und die Spannung gemessen (vgl. Abb. 4.2). Die maximale Ausgangsspannung beträgt

3,3V, somit wird der Eingang vom FPGA nicht beschädigt.

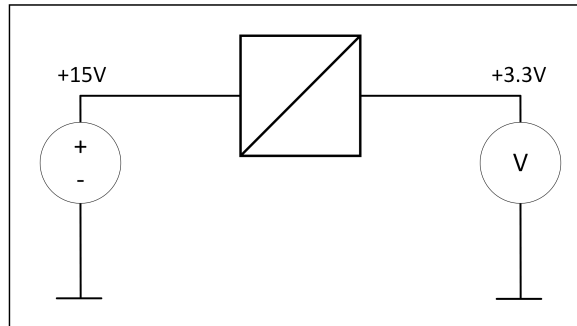


Abbildung 4.2.: Testaufbau für Auswertung der Endlagen. Es werden 15V auf der Eingangsseite eingespeist und die Spannung auf der Ausgangsseite gemessen.

Die Erstinbetriebnahme konnte erfolgreich beendet werden. Es kann nun die Programmierung des Mikrocontrollers und des FPGAs erfolgen. Für weitere Tests wird die ZMX-Handsteuerung zusammengebaut, um die gesamte Funktionalität zu überprüfen.

## 4.2. Validierung einzelner Funktionen

Im Folgenden wird die Überprüfung der Realisierung der Anforderungen dargestellt. Es wird auf grundlegende Funktionen wie Impulserzeugung im FPGA und Kommunikation zur ZMX-Endstufe eingegangen.

### 4.2.1. Impulserzeugung

Um die Richtigkeit der Impulserzeugung zu überprüfen, wurde mit einem Oszilloskop<sup>3</sup> direkt an dem Steckverbinder X2 Pin 6 der erzeugte Impuls aufgenommen (vgl. Abbildung 4.3). Die Impulsparameter wurden im Mikrocontroller vorgegeben und über SPI zum FPGA übertragen.

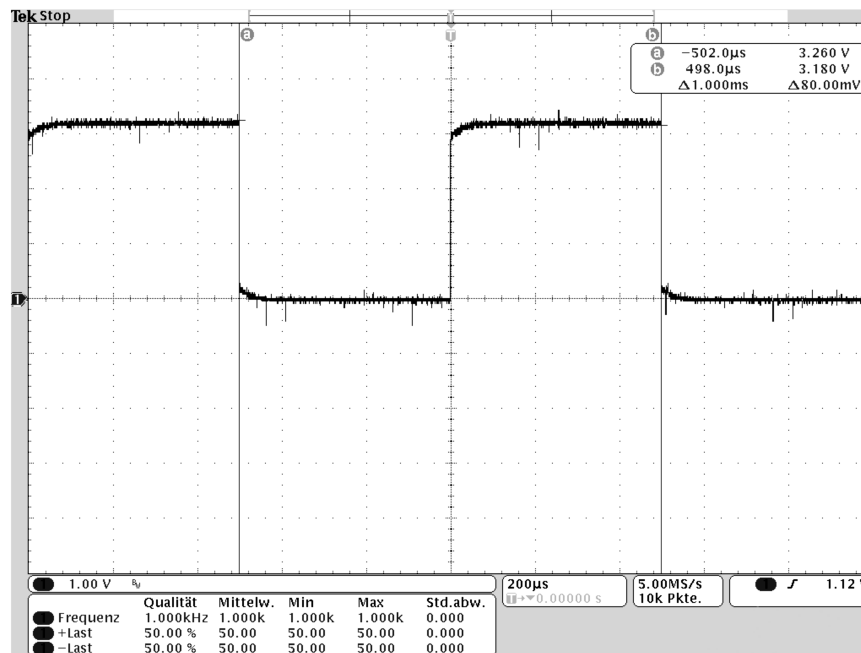


Abbildung 4.3.: Wiederholungsrate von 1kHz der erzeugten Impulse für die ZMX-Endstufe gemessen an X2 Pin 6.

<sup>3</sup>Tektronix MSO4104

Die Dauer der Impulse hängt von der Wiederholungsrate ab. Ein Maximum von 100kHz bedeutet, dass die Minimale Impulsdauer

$$t_{min} = \frac{1}{f_{max} \cdot 2} = \frac{1}{100kHz \cdot 2} = 5\mu s \quad (4.2.1.1)$$

fünf Mikrosekunden entspricht. Daraus ist ersichtlich, dass die gestellte Anforderung von mindestens einer Mikrosekunde eingehalten wird. Des Weiteren wurde die Impulsrate überprüft. Dafür wurde eine Impulsfrequenz von 1000Hz vorgegeben. Die Abbildung 4.3 zeigt ganz deutlich, dass die Impulse mit genau 1kHz Wiederholungsrate erzeugt werden. Ebenfalls wurde die minimal und maximal einstellbare Frequenz überprüft. Mit 1Hz Minimum und 100kHz Maximum sind die Anforderungen erfüllt. Alle Messungen sind in Tabelle 4.2 dargestellt.

Bezeichnung	gemessen	Sollwert
Impulsbreite	min. 5µs	>1µs
f <sub>min</sub>	1Hz	1Hz
f <sub>1000Hz</sub>	1000Hz	1000Hz
f <sub>max</sub>	100kHz	100kHz

Tabelle 4.2.: Gemessene und vorgegebene Werte für die Impulserzeugung.

## 4.2.2. Lesen von Encoder-Signalen

Um die Auswertung von Encodern zu testen, wurde ein Schrittmotor mit Encoder an die ZMX-Handsteuerung angeschlossen. Die Impulsfrequenz wurde auf 700Hz eingestellt. Altera bietet den SignalTap II Logic Analyzer, ein Tool das es ermöglicht, die internen Signale eines FPGA zu untersuchen [27, p. 1]. Mit diesem Tool wurde das Verhalten der Encoder-Auswertung analysiert (vgl. Abbildung 4.4). Nach dem Aktivieren des Signals Reset, wurde der Zähler auf 0 gesetzt. Jede Zustandsänderung an den Eingangssignalen A oder B bewirkt eine Änderung am Zählerstand. In diesem Fall dreht sich der Motor im Uhrzeigersinn und somit wird auch der Zählerstand erhöht.

Type	Alias	Name	-1024	0	1024	2048	3072	4096	5120	6144	7168	
		ENC_A_in	[Timing diagram showing a square wave signal]									
		ENC_B_in	[Timing diagram showing a square wave signal]									
		Encoder:inst2 Position[31..0]	135445	0	1	2	3	4	5	6	7	
		Encoder:inst2 RES	[Timing diagram showing a pulse signal]									

Abbildung 4.4.: Mit dem SignalTap II Logic Analyser aufgenommenes Verhalten der Encoder-Auswertung im FPGA. Die Auslösung des Signal Reset setzt den Zählerstand auf Null. Mit jeder Zustandsänderung der Eingänge wird der Zähler inkrementiert.

### 4.2.3. Kommunikation mit der Endstufe

Um die Kommunikation mit der ZMX-Endstufe zu testen, wurde die Softwareversion der Endstufe ausgelesen. Über den ServiceBus wurde der Befehl „B“ gesendet, der zum Auslesen der Softwareversion dient. Die Endstufe antwortete mit dem String „ZMX+ V1.01“ [8, p. 17]. Als weiterer Test wurde der Laufstrom auf 1A eingestellt. Die Endstufe antwortete mit dem String „r100“ [8, p. 18]. Über den ServiceBus kann die ZMX-Endstufe jetzt den Anforderungen entsprechend parametrisiert werden.

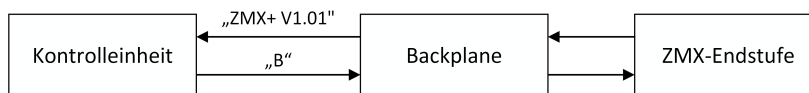


Abbildung 4.5.: Test zur Kommunikation mit der Endstufe. Der Befehl „B“ dient zum Auslesen der Firmware Version. Die Endstufe antwortet mit dem String „ZMX+ V1.01“ .

### 4.3. Funktionstest der ZMX-Handsteuerung für 2-Phasen-Schrittmotoren

Für den folgenden Funktionstest wurde ein Präzisions-Lineartisch mit angeschlossenen inkrementellen Linearencoder der Firma PI verwendet [28].

#### Eingabe

Im ersten Schritt wurde die Funktion der Eingabeelemente überprüft. Bei Betätigung des jeweiligen Bedienelements wird der Zustand der dazugehörigen Funktion getestet. Das Ergebnis ist in Tabelle 4.3 dargestellt.

Bedienelement	Funktion	Zustand
Menu	Aktivierung des Menü zur Parametrierung	OK
Entregen	Aktivierung der Endstufe	OK
Inkr. Menu	Navigation im Menü <sup>a</sup> , Single-Step <sup>b</sup> Single-Step <sup>b</sup>	OK OK
Taster Inkr. Menu	Ansichtswechsel Encoder/Steps	OK
Pos. Reset	Reset Encoder/ Steps <sup>c</sup>	OK
Inkr. Frequenz	Einstellen der Impulsfrequenz <sup>b</sup>	OK
CW	Motor dreht sich in Richtung CW <sup>b</sup>	OK
CCW	Motor dreht sich in Richtung CCW <sup>b</sup>	OK
Stop	Stoppt den Motor <sup>b</sup>	OK

a) Das Menü muss aktiviert sein.

b) Die Endstufe muss aktiv sein.

c) Die jeweils durch den Taster Inkr. Menu ausgewählte Ansicht wird zurückgesetzt.

Tabelle 4.3.: Test der Eingabeelemente und dazugehöriger Funktion.

#### Ausgabe

Der Test der Ausgabeelemente wird analog zum Test der Eingabeelemente durchgeführt. Die Ergebnisse sind in Tabelle 4.4 zusammengetragen. Um die Endlagen zu überprüfen, wurden sie entsprechend der Anforderungen, d.h. „active high“, „active low“ sowie deaktiviert eingestellt und durch Betätigung überprüft.

Anzeige	Funktion	Zustand
LED CW	Zeigt den Zustand der Endlage CW an	OK
LED CCW	Zeigt den Zustand der Endlage CCW an	OK
LED ZMX	Zeigt den Zustand der ZMX-Endstufe an: rot aktiv, grün nicht aktiv	OK
Display	Darstellung diverser Parameter (vgl. Tabelle 4.5)	OK
Display	Anzeige Encoder <sup>a</sup>	OK
	Anzeige Schritte <sup>a</sup>	OK

a) Die jeweils durch den Taster Inkr. Menu ausgewählte Ansicht wird angezeigt.

Tabelle 4.4.: Test der Ausgabeelemente

### Parametrierung

Im Zuge des Test der Ein- und Ausgabeelemente wurde ebenfalls die Parametrierung der ZMX-Handsteuerung überprüft. Wie in den Anforderungen gefordert, konnten alle Parameter eingestellt werden. Das Resultat ist in Tabelle 4.5 dargestellt.

Parameter	Einstellung	Zustand
Laufstrom	0A bis 5A in 0,1A Schritte	OK
Stoppstrom	0A bis max. Laufstrom in 0,1A Schritte	OK
	Auto-Modus: Stoppstrom= 0,5·Laufstrom	OK
Schrittauflösung	1/1 bis 1/512 in 14 Stufen	OK
Endlagenauswertung CW	Active high, active low, deaktiviert	OK
Endlagenauswertung CCW	Active high, active low, deaktiviert	OK
Impulsfrequenz	1Hz bis 100kHz	OK

Tabelle 4.5.: Test der Parametrierung der ZMX-Handsteuerung.

### Gesamttest anhand eines Testszenarios

Zum Abschluss wurde die Funktion ZMX-Handsteuerung in einem Testszenario validiert. Hierfür wurde der in Abbildung 4.6 gezeigte Testaufbau verwendet. Der Schrittmotor wurde direkt über eine Leitung mit der ZMX-Handsteuerung verbunden. Das erzeugte Signal vom linearen Inkrementalencoder wurde über eine Interpolationseinheit und „Encoder Power Supply“ mit der ZMX-Handsteuerung verbunden. Die zusätzliche Spannungsversorgung diente zur Versorgung der Interpolationseinheit und des Encoders. Mit dem Testaufbau

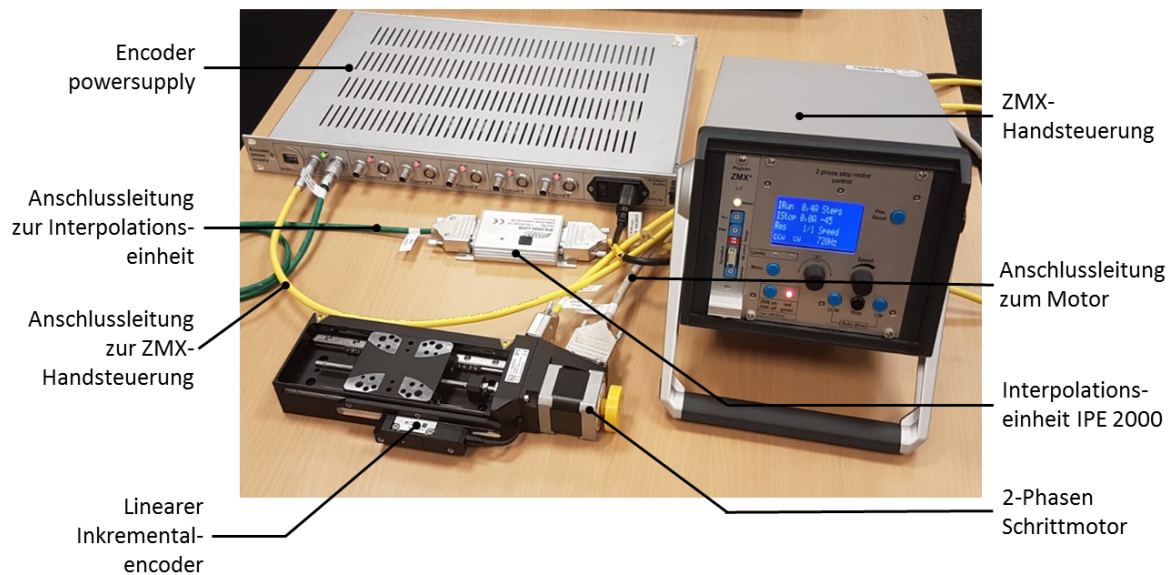


Abbildung 4.6.: Testaufbau für die ZMX-Handsteuerung.

wurden die in Tabelle 4.6 aufgelisteten Schritte durchgeführt, um die Funktionalität der ZMX-Handsteuerung zu belegen. Hierbei wurde ein besonderes Augenmerk auf die korrekte Bedienung und Anzeige im Display gelegt, sowie auf mögliches Verhalten durch den Nutzer (Schritt 11).

Des Weiteren wurde überprüft, ob die Anzahl der erzeugten Impulse und gezählten Encodern zu den Motordaten passen, um somit deren korrekte Funktion zu validieren. Laut Datenblatt benötigt der angeschlossene Schrittmotor 200 Vollschritte für eine ganze Umdrehung [28, p. 4]. Dabei wurden 100.015 Encoderschritte gezählt. Bei einer Auflösung von 10nm pro Encoderschritt ergibt sich daraus laut Gleichung 4.3.0.1 1mm Vorschub.

$$s = 100.015 \cdot 10\text{nm} \approx 1\text{mm} \quad (4.3.0.1)$$

Dies entspricht der Angabe aus dem Datenblatt [28, p. 3]. Die minimale Abweichung von 150nm kann durch mechanische Ungenauigkeiten in der Spindel oder durch Temperaturänderungen der Umgebung entstehen. Es kann angenommen werden, dass die Impulserzeugung und das Auswerten von Encodern die korrekte Funktion aufweisen.

Schritt	Beschreibung	Verhalten
1	Laufstrom auf 1.5A einstellen	Display: IRun 1.5A
2	Stoppstrom auf 0.7A einstellen	Display: IStop 0.7A
3	Schrittauflösung auf 1/1 einstellen	Display: Res 1/1
4	Endlagen auf active high	Display: Einstellung Endlage, LEDs Endlage aus
5	Endstufe aktivieren	Display: ZMX Enabled, LED rot
6	Frequenz auf 400Hz einstellen	Display: Speed 400Hz <sup>a</sup>
7	Fahre Motor kontinuierlich Richtung CW	Motor dreht sich CW mit 400Hz <sup>b</sup>
8	Erreichen der Endlage CW	Motor stoppt, keine Fahrt in Richtung CW mehr möglich, Display und LED zeigen die Aktivierung der Endlage an
9	Fahre Motor kontinuierlich Richtung CCW	Motor dreht sich CCW mit 400Hz <sup>b</sup>
10	Erreichen der Endlage CCW	Motor stoppt, keine Fahrt in Richtung CCW mehr möglich, Display und LED zeigen das Auslösen der Endlage an
11	Deaktiviere Endlage CCW	Motor bleibt weiterhin im Stopp
12	Reset gezählte Schritte und Encoder	Display: Steps/Enc. 0
13	Autodrive auf 200 Schritte einstellen	Display: Autodrive $\pm 200$
14	Fahre 200 Schritte in Richtung CW	Display: Steps 200 / Enc. 100015
15	Betätige CW und CCW gleichzeitig	Motor fährt 200 Schritte in Richtung CCW, Display: Steps 0
16	Betätige CW und CCW gleichzeitig	Motor fährt 200 Schritte in Richtung CW, Display: Steps 200
17	Single Step Faktor auf 10 Fach einstellen	Display: Factor 10x
18	Drehe Menü um eine Rastung in Richtung CW	Motor fährt 10 Schritte in Richtung CW, Display: Steps 210
19	Drehe Menü um zwei Rastung in Richtung CCW	Motor fährt 20 Schritte in Richtung CCW, Display: Steps 190
20	Endstufe deaktivieren	Display: ZMX Disabled, LED grün

a) Impulsfrequenz für die ZMX-Endstufe

b) Der Motor benötigt 200 Vollschrte für eine Umdrehung [28, p. 4]. Daraus ergibt sich bei eingestellter Impulswiederholungsrate eine Frequenz von 2Hz.

Tabelle 4.6.: Testscenario zur Validierung der Funktion der ZMX-Handsteuerung

# 5. Auswertung und Bewertung

In diesem Kapitel wird die Bachelorthesis reflektiert und ein Ausblick für mögliche Erweiterungen gegeben.

## 5.1. Auswertung

Das Konzept für die ZMX-Handsteuerung konnte erfolgreich realisiert werden. In dem anschließenden Test bestand die ZMX-Handsteuerung allen Anforderungen.

Das erstellte Hardware Konzept, ermöglichte eine schnelle und zielführende Entwicklung der Kontrolleinheit für die ZMX-Handsteuerung. Das Konzept für den FPGA gestattete es die Firmware zügig zu entwickeln und zu implementieren. Der modulare Aufbau der Firmware erlaubte es, die einzelnen Bausteine wie die SPI-Slave-Schnittstelle oder die Impulserzeugung separat und dann im Gesamten erfolgreich zu testen. Das Konzept der Software für den Mikrocontroller erwies sich als gut. Die Verteilung der Kommunikation zwischen Mikrocontroller und FPGA, sowie Mikrocontroller und Display auf unterschiedliche Interrupts erlaubte das Priorisieren einzelner Schnittstellen. Der Einsatz eines Buffers für die Datenübertragung zu dem Display erwies sich als sinnvoll. So ist es möglich während der Ausführungszeit der Schreiboperationen im Display, andere Programmteile im Mikrocontroller auszuführen, bevor ein weiteres Zeichen gesendet wird. Das Konzept der Software konnte in Tests überzeugen.

Während der Inbetriebnahme tauchten Fehler in der Hardware auf, wie z.B. das Vertauschen der Datenleitungen in der Schnittstelle zur Kommunikation mit dem Display über SPI. Diese Fehler konnten schnell behoben werden. Die Aufgabenaufteilung auf FPGA und Mikrocontroller erwies sich als vorteilhaft. Der FPGA übernimmt die Impulserzeugung, Überwachung der Endlagen und das Auswerten der Inkrementalencoder. Während der Mikrocontroller für Visualisierung und Kommunikation zuständig ist. So wird sicher gestellt, dass das Auslösen der Endlagen immer rechtzeitig detektiert wird. Durch das Auswerten von Inkrementalencodern bietet die ZMX-Handsteuerung eine deutlich genauere Möglichkeit an, einen Motor zu positionieren. Grenzen werden hierbei nur noch bedingt durch die Mechanik des Motors oder die Auflösung der Encoderschritte gesetzt.

## 5.2. Ausblick

Im Folgenden wird ein Ausblick auf Erweiterungen gegeben, die in der ZMX-Handsteuerung implementiert werden können. Durch die Aufteilung der Aufgaben auf Mikrocontroller und FPGA stehen nun zwei Bausteine für Erweiterungen zur Verfügung. Sowohl FPGA als auch Mikrocontroller bieten unterschiedliche Möglichkeiten für die Realisierung neuer Anforderungen.

### 5.2.1. EtherCAT Anbindung

Als eine sehr interessante Möglichkeit für die Zukunft bietet sich die Anbindung der ZMX-Handsteuerung in ein EtherCAT Netz an. Die Abbildung 3.2 und der Schaltplan Seite 6 im Anhang A zeigen, dass die Grundvoraussetzung dafür bereits geschaffen wurden. IC11 ist ein EtherCAT Slave Controller, der über eine Schnittstelle zur Kommunikation über SPI von einem Mikrocontroller angesteuert werden kann. Über EtherCAT ist eine echtzeitfähige Anbindung der ZMX-Handsteuerung an ein Netzwerk möglich.

### 5.2.2. Positionsregelung

Angeschlossene Encoder bieten den Vorteil, dass die Position relativ zu einem Punkt bestimmt werden kann. Diese Eigenschaft kann genutzt werden, um z.B. die Position eines Motors über ein PID-Regler zu Regeln. Eine Möglichkeit wäre Proportional-, Integral und Differentialanteil über das Menü einstellen zu können. Bei Vorgabe des Encoderwerts, fährt der Motor die Position an und hält diese.

# Abkürzungsverzeichnis

<b>DESY</b>	Deutsches Elektronen-Synchrotron
<b>PETRA</b>	Positron-Elektron-Tandem-Ring-Anlage
<b>FLASH</b>	Freie-Elektronen-Laser in Hamburg
<b>XFEL</b>	X-Ray Free-Electron Laser
<b>FS-EC</b>	Forschung Synchrotron - Experiment Control
<b>ARM</b>	Advanced RISC Machines
<b>EMV</b>	Elektromagnetische Verträglichkeit
<b>FPGA</b>	Field Programmable Gate Array
<b>CW</b>	Clockwise
<b>CCW</b>	Counter Clockwise
<b>SPI</b>	Serial Peripheral Interface
<b>I<sup>2</sup>C</b>	Inter-Integrated Circuit
<b>UART</b>	Universal Asynchronous Receiver Transmitter
<b>PLL</b>	Phase Locked Loop
<b>DDS</b>	Direct Data Synthesis
<b>MCU</b>	Microcontroller Unit
<b>STM</b>	STMicroelectronics
<b>GPIO</b>	General Purpose Input/Output
<b>BGA</b>	Ball Grid Array
<b>QFP</b>	Quad Flat Package
<b>IC</b>	Integrated Circuit
<b>I/O</b>	Input/Output

**EEPROM** Electrically Erasable Programmable Read-Only Memory

**R/W** Read/Write

**RS** Register Select

**NSS** Active Low Slave Select

**SCK** Shift Clock

**MOSI** Master Out Slave In

**MISO** Master In Slave Out

**Rx** Receiver

**Tx** Transmitter

**MSB** Most Significant Bit

**FIFO** First In First Out

# Tabellenverzeichnis

1.1. Stromrichtung in den Motorphasen im Vollschrittbetrieb. . . . .	10
1.2. Stromrichtung in den Motorphasen im Halbschrittbetrieb. . . . .	11
2.1. Register im FPGA und deren Zugriffsmodus . . . . .	24
3.1. Ausgewählte Bauteile aus der Handsteuerung Serie 2 und deren Status, die in der Serie 3 wiederverwendet werden sollen bzw. mögliche Ersatztypen . .	25
3.2. Schnittstellen zur Kommunikation zwischen den einzelnen Baugruppen . . .	26
3.3. ARM Cortex-M4 Mikrocontroller von STM im Vergleich in ausgewählten Kate- gorien . . . . .	27
3.4. Pin-Nutzung des Mikrocontrollers . . . . .	28
3.5. Ressourcennutzung des Mikrocontrollers STM32F407 . . . . .	28
3.6. Vergleich der Cyclone IV E in der Bauform QFP . . . . .	29
3.7. Leitungen vom Drehinkrementalgeber zum Mikrocontroller . . . . .	31
3.8. Leitungen der SPI-Schnittstelle vom Mikrocontroller zum Display. . . . .	32
3.9. Leitungen der SPI-Schnittstelle zwischen FPGA und Mikrocontroller aus Sicht des Masters. . . . .	33
3.10. Leitungen der UART-Schnittstelle vom Mikrocontroller zur ZMX-Endstufe. . .	33
3.11. Erläuterung des Protokolls zur Kommunikation mit der ZMX-Endstufe . . . .	34
3.12. Konfiguration der Interrupts im Mikrocontroller. . . . .	37
3.13. Datenframe zur Kommunikation mit dem FPGA über SPI. . . . .	42
3.14. Aufbau des ersten Bytes, das die R/W Anweisung und die Adresse enthält. .	42
3.15. Register im FPGA mit Adresse und deren Zugriffsmodus . . . . .	42
3.16. Bedeutung der einzelnen Bits in dem Kontrollregister mit den einstellbaren Funktionen. . . . .	49
3.17. Bedeutung der einzelnen Bits in dem Schritt- und Richtungsregister mit den einstellbaren Funktionen. . . . .	49
4.1. Soll- und Istwert der Spannungsversorgung auf der Kontrolleinheit . . . . .	54
4.2. Gemessene und vorgegebene Werte für die Impulserzeugung. . . . .	57
4.3. Test der Eingabeelemente und dazugehöriger Funktion. . . . .	59
4.4. Test der Ausgabeelemente . . . . .	60
4.5. Test der Parametrierung der ZMX-Handsteuerung. . . . .	60

---

4.6. Testscenario zur Validierung der Funktion der ZMX-Handsteuerung . . . . .	62
--	----

# Abbildungsverzeichnis

1.1. Schrittmotor im Vollschrittbetrieb . . . . .	10
1.2. Schrittmotor im Halbschrittbetrieb . . . . .	11
1.3. Aufbauten mit Schrittmotoren am DESY . . . . .	12
2.1. Phytron ZMX+ Endstufe . . . . .	15
2.2. Backplane . . . . .	16
2.3. Gehäuse der ZMX-Handsteuerung . . . . .	16
2.4. Beispiel Encodersignal . . . . .	17
2.5. Konzept der Handsteuerung . . . . .	20
2.6. Konzept der Hardware der Kontrolleinheit . . . . .	21
2.7. Konzept der Software im Mikrocontroller . . . . .	22
2.8. Konzept der Firmware im FPGA . . . . .	23
3.1. Leiterplatte Top-Anischt . . . . .	30
3.2. Leiterplatte Bottom-Ansicht . . . . .	30
3.3. Timing Diagramm SPI Mikrocontroller-Display . . . . .	32
3.4. Programmablauf der Initialisierung im Mikrocontroller . . . . .	35
3.5. Programmablauf innerhalb der Hauptschleife im Mikrocontroller . . . . .	36
3.6. Programmablauf für den Interrupt zum Senden von Daten an das Display. . . . .	38
3.7. Display-Buffer . . . . .	39
3.8. Programmablauf für den Interrupt zum Senden von Daten zum FPGA . . . . .	40
3.9. Auswertung von Quadratur-Encodern im FPGA . . . . .	41
3.10. Timing-Diagramm SPI Mikrocontroller-FPGA . . . . .	42
3.11. SPI-Slave im FPGA . . . . .	43
3.12. SPI-Slave State-Machine im FPGA . . . . .	44
3.13. Datenverwaltung im FPGA . . . . .	45
3.14. Frequenzerzeugung im FPGA . . . . .	46
3.15. Impulserzeugung im FPGA . . . . .	48
3.16. Kontinuierliche Impulserzeugung im FPGA . . . . .	50
3.17. Erzeugung n-Impulsen im FPGA . . . . .	51
3.18. Impulszähler im FPGA . . . . .	52
4.1. Testaufbau diffentielle zu single ended Wandlung . . . . .	54

---

4.2. Testaufbau für Auswertung der Endlagen . . . . .	55
4.3. Impulserzeugung mit 1kHz . . . . .	56
4.4. Verhalten des Encoderzählers . . . . .	57
4.5. Test zur Kommunikation mit der Endstufe . . . . .	58
4.6. Testaufbau für die ZMX-Handsteuerung . . . . .	61

# Literaturverzeichnis

- [1] DESY, "Wir machen Erkenntnis möglich," Webseite:, 2018, [Zugriff am 02.08.2018]. [Online]. Available: [http://www.desy.de/ueber\\_desy/desy/index\\_ger.html](http://www.desy.de/ueber_desy/desy/index_ger.html)
- [2] —, "50 Jahre DESY," Firmenschrift: 50 Jahre DESY, 2009.
- [3] —, "Forschung für die Zukunft," Webseite:, 2018, [Zugriff am 02.08.2018]. [Online]. Available: [http://www.desy.de/ueber\\_desy/desy/forschung\\_fuer\\_die\\_zukunft/index\\_ger.html](http://www.desy.de/ueber_desy/desy/forschung_fuer_die_zukunft/index_ger.html)
- [4] —, "FLASH," Webseite:, 2018, [Zugriff am 02.08.2018]. [Online]. Available: [http://www.desy.de/forschung/anlagen\\_\\_projekte/flash/index\\_ger.html](http://www.desy.de/forschung/anlagen__projekte/flash/index_ger.html)
- [5] —, "European XFEL," Webseite:, 2018, [Zugriff am 02.08.2018]. [Online]. Available: [http://www.desy.de/forschung/anlagen\\_\\_projekte/european\\_xfel/index\\_ger.html](http://www.desy.de/forschung/anlagen__projekte/european_xfel/index_ger.html)
- [6] —, "PETRA III," Webseite:, 2018, [Zugriff am 02.08.2018]. [Online]. Available: [http://www.desy.de/forschung/anlagen\\_\\_projekte/petra\\_iii/index\\_ger.html](http://www.desy.de/forschung/anlagen__projekte/petra_iii/index_ger.html)
- [7] —, "Experiment Control Taks," Webseite:, 2018, [Zugriff am 02.08.2018]. [Online]. Available: [http://photon-science.desy.de/research/technical\\_groups/experiment\\_control/index\\_eng.html](http://photon-science.desy.de/research/technical_groups/experiment_control/index_eng.html)
- [8] Phytron, "Befehlssatz für Schrittmotor-Endstufen mit ServiceBus," Manual: MA 1246-A004 D, 2008, [Zugriff am 03.07.2018]. [Online]. Available: [https://www.phytron.de/fileadmin/user\\_upload/produkte/kommunikation\\_programmierung/pdf/ma-servicebus-befehlssatz-de.pdf](https://www.phytron.de/fileadmin/user_upload/produkte/kommunikation_programmierung/pdf/ma-servicebus-befehlssatz-de.pdf)
- [9] —, "ZMX+ Schrittmotorenendstufe mit ServiceBus, Original Betriebsanleitung," Manual: MA 2109-A015 D, 2018, [Zugriff am 03.07.2018]. [Online]. Available: [https://www.phytron.de/fileadmin/user\\_upload/produkte/endstufen\\_controller/pdf/ma-zmxplus-de.pdf](https://www.phytron.de/fileadmin/user_upload/produkte/endstufen_controller/pdf/ma-zmxplus-de.pdf)
- [10] N2Power, "Ultra small, high efficiency power supplies, XL275 AC-DC Series," Datenblatt: Rev: 07-14-17, 2017, [Zugriff am 03.07.2018]. [Online]. Available: [https://www.qualstar.com/n2p-datasheets/XL275\\_AC-DC\\_datasheet.pdf](https://www.qualstar.com/n2p-datasheets/XL275_AC-DC_datasheet.pdf)

- [11] nvent Schroff, "CONNECT AND PROTECT, PropacPRO," Produktkatalog: SCHROFF PRODUKTKATALOG 05/2018 ELECTRONICS PROTEC, 2018, [Zugriff am 20.07.2018]. [Online]. Available: [https://schroff.nvent.com/wcsstore/ExtendedSitesCatalogAssetStore/Attachment/SchroffAttachments/Documents/5\\_2\\_propacPRO\\_d.pdf](https://schroff.nvent.com/wcsstore/ExtendedSitesCatalogAssetStore/Attachment/SchroffAttachments/Documents/5_2_propacPRO_d.pdf)
- [12] Elmar Schrüfer, Leonhard Reindl und Bernhard Zagar, *Elektrische Messtechnik - Messung elektrischer und nichtelektrischer Größen*. Carl Hanser Verlag München, 2012, ISBN: 978-3-446-43079-2.
- [13] Europa Lehrmittel, *Industrieelektronik und Informationstechnik*. Verlag Europa Lehrmittel, 2009, ISBN: 978-3-8085-3250-8.
- [14] DESY, "2-Phasen Schrittmotor Handsteuerung," Manual, 2012.
- [15] Electronic Assembly, "LCD-Modul 4x20 - 6,45mm," Manual: LCD-Modul 4x20 - 6,45mm, Inkl. Kontroller SSD1803, 2013, [Zugriff am 12.07.2018]. [Online]. Available: <https://www.lcd-module.de/fileadmin/pdf/doma/dip203-6.pdf>
- [16] STMicroelectronics, "STM32 32-bit MCU family Leading supplier of Arm® Cortex®-M microcontrollers," Firmenschrift: BRSTM320218, 2018, [Zugriff am 29.06.2018]. [Online]. Available: [https://www.st.com/content/ccc/resource/sales\\_and\\_marketing/promotional\\_material/brochure/f0/93/da/5c/6b/31/4a/96/brstm32.pdf/files/brstm32.pdf/jcr:content/translations/en.brstm32.pdf](https://www.st.com/content/ccc/resource/sales_and_marketing/promotional_material/brochure/f0/93/da/5c/6b/31/4a/96/brstm32.pdf/files/brstm32.pdf/jcr:content/translations/en.brstm32.pdf)
- [17] —, "STM32F405xx and STM32F407xx Datasheet - production data," Datenblatt: DocID022152 Rev 8, 2016, [Zugriff am 14.08.2018]. [Online]. Available: <https://www.st.com/resource/en/datasheet/dm00037051.pdf>
- [18] Intel, "Cyclone® IV FPGAs Product Table," Firmenschrift: Gen-1036-1.2, 2017, [Zugriff am 10.07.2018]. [Online]. Available: [https://www.altera.com/content/dam/altera-www/global/en\\_US/pdfs/literature/pt/cyclone-iv-product-table.pdf](https://www.altera.com/content/dam/altera-www/global/en_US/pdfs/literature/pt/cyclone-iv-product-table.pdf)
- [19] STMicroelectronics, "RM0090 Reference manual, STM32F405/415, STM32F407/417, STM32F427/437 and STM32F429/439 advanced ARM®-based 32-bit MCUs," Manual: DocID018909 Rev 15, 2017, [Zugriff am 20.06.2018]. [Online]. Available: [https://www.st.com/content/ccc/resource/technical/document/reference\\_manual/3d/6d/5a/66/b4/99/40/d4/DM00031020.pdf/files/DM00031020.pdf/jcr:content/translations/en.DM00031020.pdf](https://www.st.com/content/ccc/resource/technical/document/reference_manual/3d/6d/5a/66/b4/99/40/d4/DM00031020.pdf/files/DM00031020.pdf/jcr:content/translations/en.DM00031020.pdf)
- [20] —, "AN4776, General-purpose timer cookbook," Application Note: DocID028459 Rev 2, 2011, [Zugriff am 09.07.2018]. [Online]. Available: [https://www.st.com/content/ccc/resource/technical/document/application\\_note/group0/91/01/84/3f/7c/67/41/3f/DM00236305/files/DM00236305.pdf/jcr:content/translations/en.DM00236305.pdf](https://www.st.com/content/ccc/resource/technical/document/application_note/group0/91/01/84/3f/7c/67/41/3f/DM00236305/files/DM00236305.pdf/jcr:content/translations/en.DM00236305.pdf)

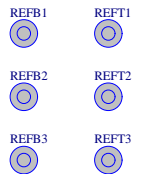
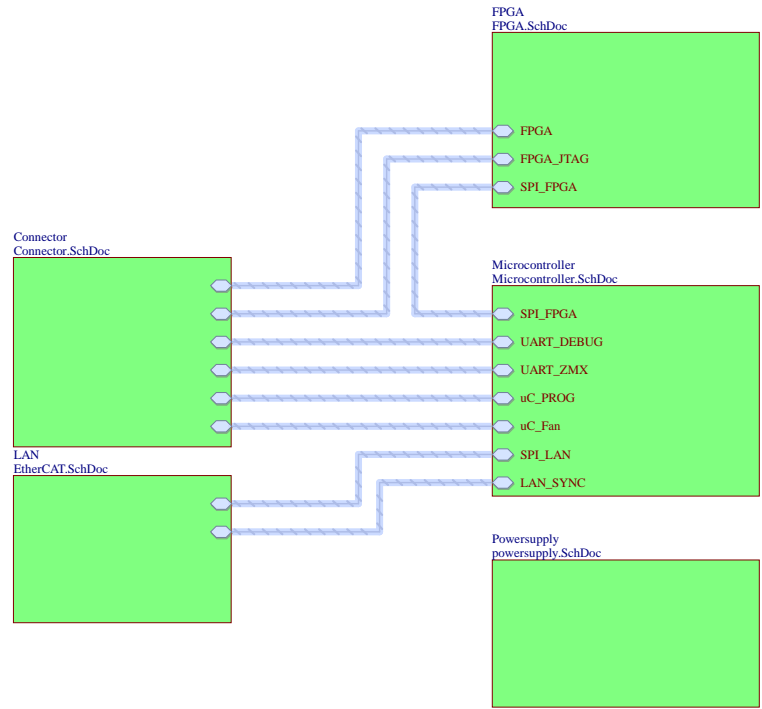
- [21] —, “AN3969, EEPROM emulation in STM32F40x/STM32F41x microcontrollers,” Application Note: Doc ID 022108 Rev 1, 2011, [Zugriff am 25.07.2018]. [Online]. Available: [https://www.st.com/content/ccc/resource/technical/document/application\\_note/ec/dd/8e/a8/39/49/4f/e5/DM00036065.pdf/files/DM00036065.pdf/jcr:content/translations/en.DM00036065.pdf](https://www.st.com/content/ccc/resource/technical/document/application_note/ec/dd/8e/a8/39/49/4f/e5/DM00036065.pdf/files/DM00036065.pdf/jcr:content/translations/en.DM00036065.pdf)
- [22] SOLOMONS YSTECH, “SOLOMON SYSTECH SEMICONDUCTOR TECHNICAL DATA, SSD1803, Advance Information,” Datenblatt: SSD1803 Rev 2.0 Feb 2010, 2010, [Zugriff am 12.07.2018]. [Online]. Available: [https://www.lcd-module.de/fileadmin/eng/pdf/zubehoer/ssd1803\\_2\\_0.pdf](https://www.lcd-module.de/fileadmin/eng/pdf/zubehoer/ssd1803_2_0.pdf)
- [23] STMicroelectronics, “AN4013, STM32 cross-series timer overview,” Application Note: DocID022500 Rev 6, 2016, [Zugriff am 09.08.2018]. [Online]. Available: [https://www.st.com/content/ccc/resource/technical/document/application\\_note/54/0f/67/eb/47/34/45/40/DM00042534.pdf/files/DM00042534.pdf/jcr:content/translations/en.DM00042534.pdf](https://www.st.com/content/ccc/resource/technical/document/application_note/54/0f/67/eb/47/34/45/40/DM00042534.pdf/files/DM00042534.pdf/jcr:content/translations/en.DM00042534.pdf)
- [24] L. Miller, “Drehgeber, Encoder, Quadraturdecoder,” Website, 2009, [Zugriff am 21.06.2018]. [Online]. Available: <http://www.lothar-miller.de/s9y/categories/46-Encoder>
- [25] Analog Devices, “A Technical Tutorial on Digital Signal Synthesis,” Firmenschrift: A Technical Tutorial on Digital Signal Synthesis, 1999, [Zugriff am 03.07.2018]. [Online]. Available: [http://www.analog.com/media/cn/training-seminars/tutorials/450968421DDS\\_Tutorial\\_rev12-2-99.pdf](http://www.analog.com/media/cn/training-seminars/tutorials/450968421DDS_Tutorial_rev12-2-99.pdf)
- [26] ALTERA, “Cyclone IV FPGA Device Family Overview,” Manual: Cyclone IV Device Handbook, Volume 1 March 2016, 2016, [Zugriff am 10.07.2018]. [Online]. Available: [https://www.altera.com/content/dam/altera-www/global/en\\_US/pdfs/literature/hb/cyclone-iv/cyiv-51001.pdf](https://www.altera.com/content/dam/altera-www/global/en_US/pdfs/literature/hb/cyclone-iv/cyiv-51001.pdf)
- [27] —, “Design Debugging Using the SignalTap II Logic Analyzer,” Manual: Quartus II Handbook Version 13, Volume 3: Verification, 2013, [Zugriff am 30.07.2018]. [Online]. Available: [https://www.altera.com/en\\_US/pdfs/literature/hb/qts/qts\\_qii53009.pdf](https://www.altera.com/en_US/pdfs/literature/hb/qts/qts_qii53009.pdf)
- [28] PI, “Präzisions-Lineartisch, Kompakte Bauform, für Lasten bis 10 kg,” Manual:Präzisions-Lineartisch L-509, 2018, [Zugriff am 02.08.2018]. [Online]. Available: [https://www.physikinstrumente.de/fileadmin/user\\_upload/physik\\_instrumente/files/datasheets/L-509-Datenblatt.pdf](https://www.physikinstrumente.de/fileadmin/user_upload/physik_instrumente/files/datasheets/L-509-Datenblatt.pdf)

# Anhang

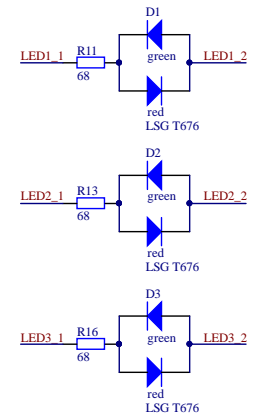
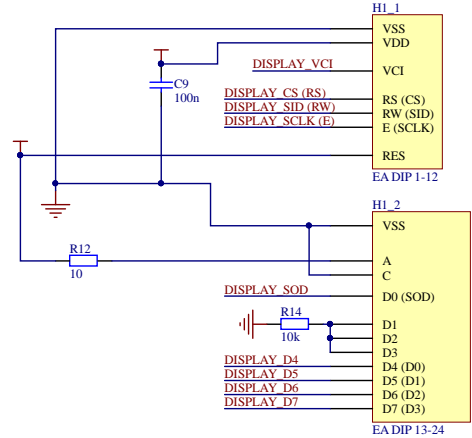
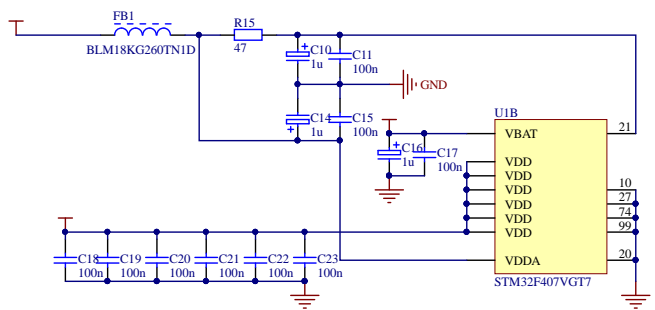
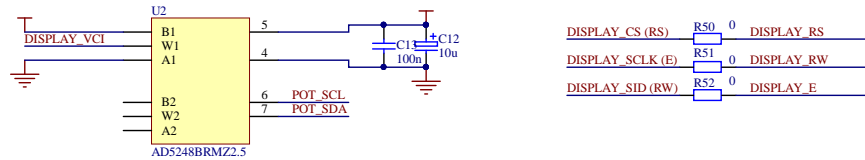
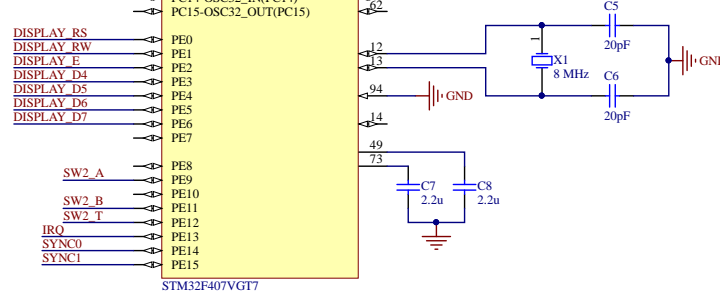
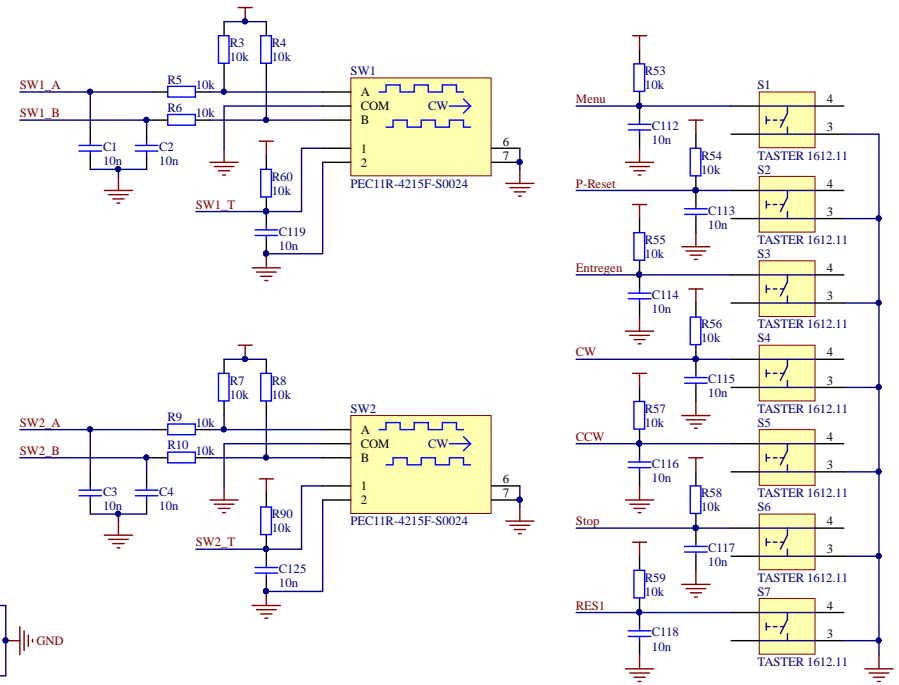
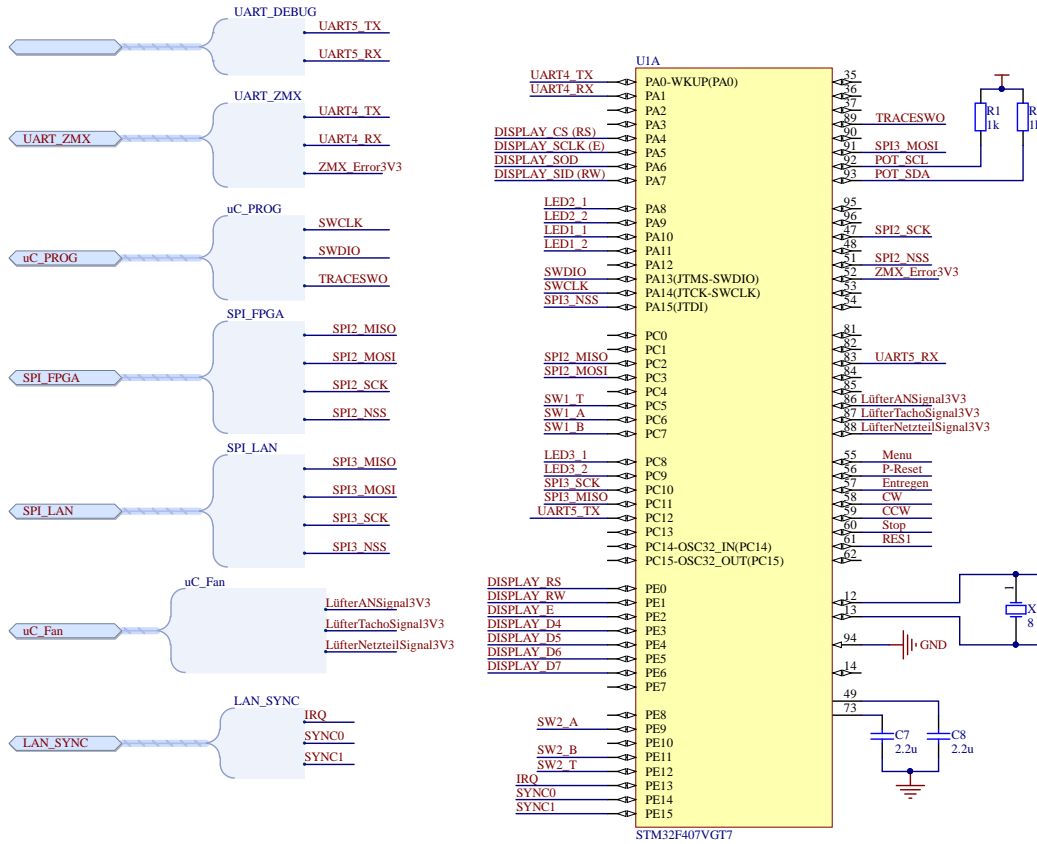
Im Anhang befinden sich die Schaltpläne und Zeichnungen (Anhang A) der ZMX-Handsteuerung. Des weiteren ist der Quellcode der Firmware im FPGA (Anhang B) und der Quellcode der Software im Mikrocontroller (Anhang C) enthalten. Zusätzlich befinden sich unter Anhang A auf dem beigefügten Datenträger die Gerber-Dateien der Leiterplatte. Außerdem sind unter Anhang D auf dem Datenträger die Abbildungen, sowie unter Anhang E die digitalen Quellen verfügbar.

# **A. Schaltpläne und Zeichnungen**

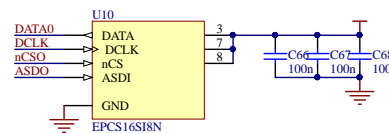
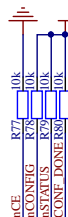
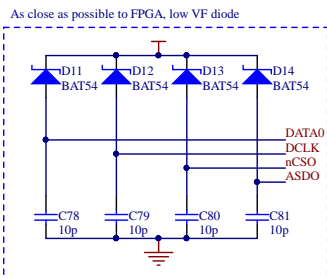
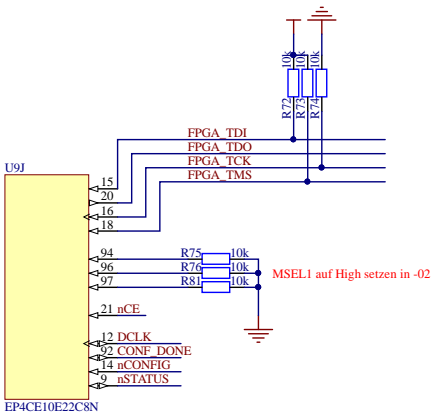
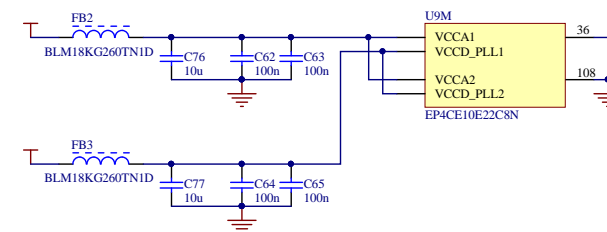
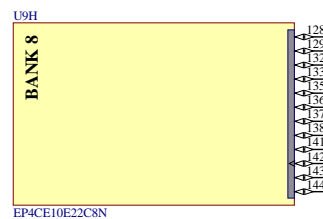
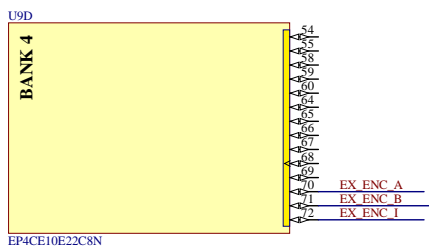
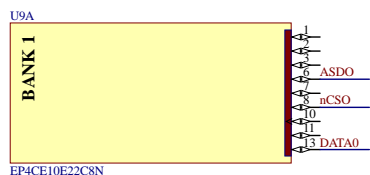
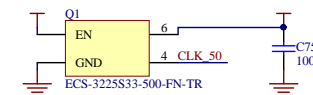
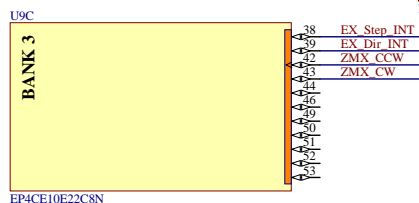
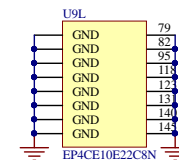
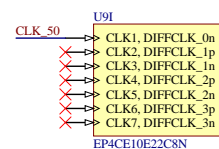
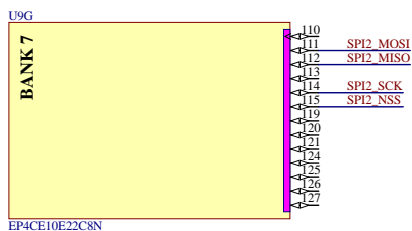
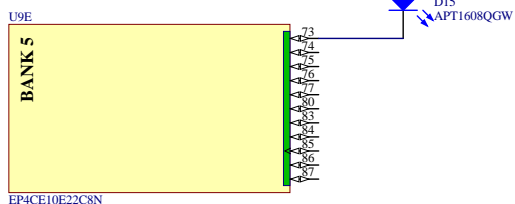
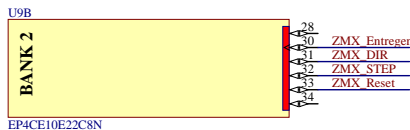
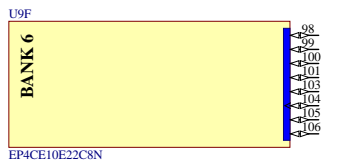
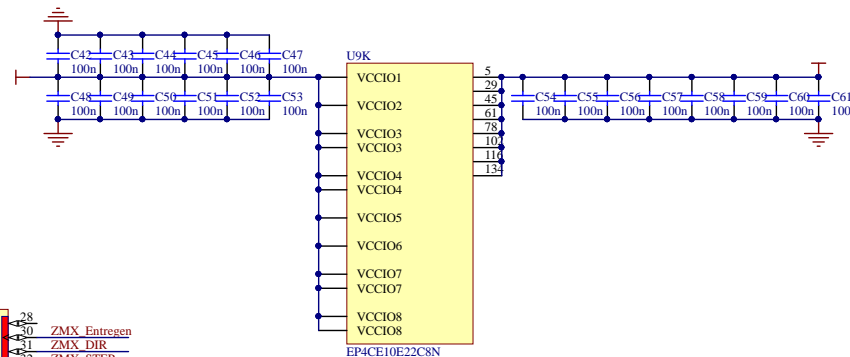
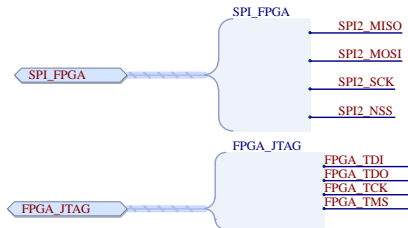
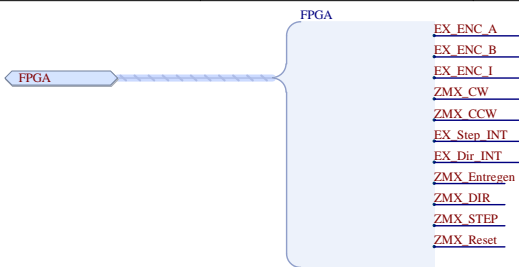
Der Anhang A enthält den Schaltplan der Kontrolleinheit und der Backplane der ZMX-Handsteuerung Serie 3. Des weiteren ist die Zeichnung der Frontplatte, sowie der Schaltplan der Vorgängerversion enthalten.



<b>DESY</b> FS-EC Notkestrasse 85 22607 Hamburg joshua.supra@desy.de		TITLE: <b>ZMX-Handsteuerung Serie 3</b>	
		SCHEMATIC: <b>Overview</b> DATE: 27.07.2018 12:47:14	
<b>CONFIDENTIAL MATERIAL</b> DESY reserves all rights according to ISO 16016. © Project_CopyrightDate	ENGINEER: Joshua Supra	Rev: Size: A3	
	DRAWN BY: Joshua Supra	Sheet: 1 of 6	
FILENAME: Control.SchDoc			



<b>DESY</b> FS-EC Notkestrasse 85 22607 Hamburg joshua.supra@desy.de		TITLE: <b>ZMX-Handsteuerung Serie 3</b>	
		SCHEMATIC: <b>Microcontroller / IOs</b>	
<b>CONFIDENTIAL MATERIAL</b> DESY reserves all rights according to ISO 16016. © Project_CopyrightDate		ENGINEER: Joshua Supra	DATE: 27.07.2018 12:47:14
FILENAME: Microcontroller.SchDoc		DRAWN BY: Joshua Supra	Rev: A3 Size: A3 Sheet: 2 of 6



DESY

FS-EC  
Notkestrasse 85  
22607 Hamburg  
joshua.supra@desy.de



TITLE:  
ZMX-Handsteuerung Serie 3  
SCHEMATIC:  
FPGA  
DATE: 27.07.2018 12:47:14

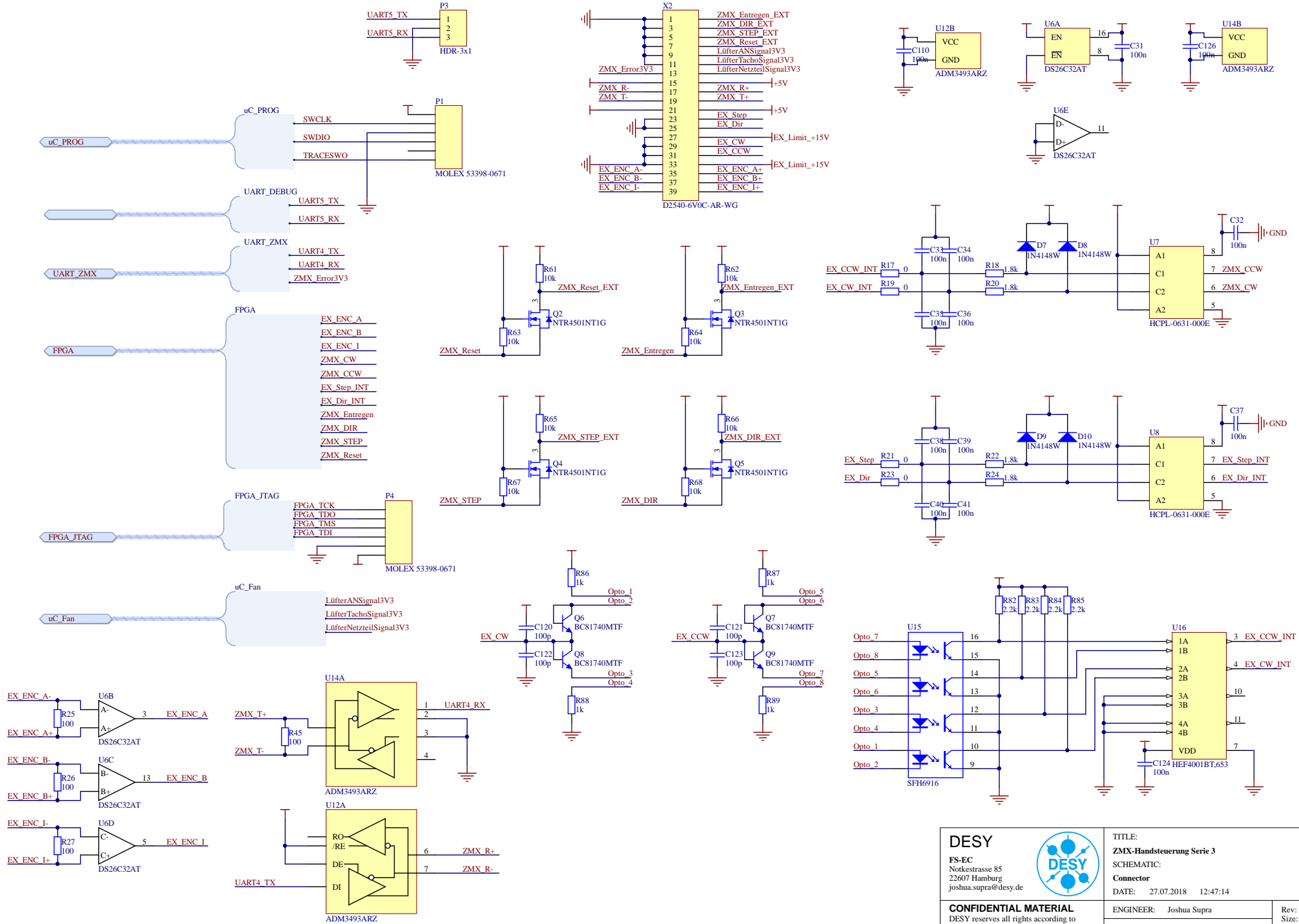
CONFIDENTIAL MATERIAL  
DESY reserves all rights according to  
ISO 16016. © Project\_CopyrightDate

ENGINEER: Joshua Supra  
DRAWN BY: Joshua Supra

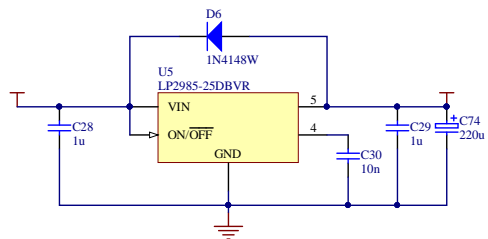
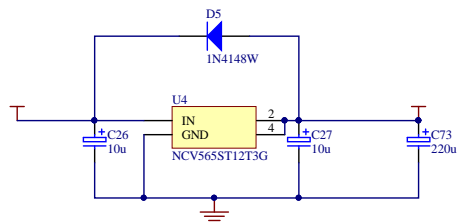
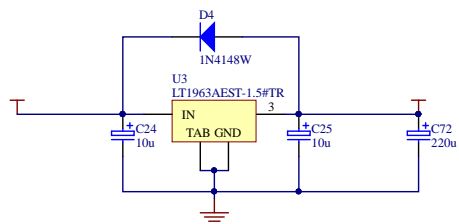
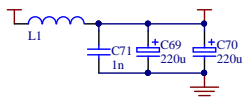
Rev:  
Size: A3  
Sheet:

FILENAME: FPGA.SchDoc

3 of 6



<b>DESY</b> FS-EC Notkestrasse 85 22607 Hamburg joshua.supra@desy.de		 TITLE: <b>ZMX-Handsteuerung Serie 3</b> SCHEMATIC: Connector DATE: 27.07.2018 12:47:14	
<b>CONFIDENTIAL MATERIAL</b> DESY reserves all rights according to ISO 16016. © Project_CopyrightDate			
FILENAME: Connector.SchDoc			



**DESY**

FS-EC  
 Notkestrasse 85  
 22607 Hamburg  
 joshua.supra@desy.de



TITLE:  
**ZMX-Handsteuerung Serie 3**  
 SCHEMATIC:  
**Powersupply**  
 DATE: 27.07.2018 12:47:15

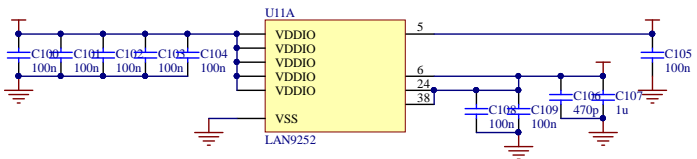
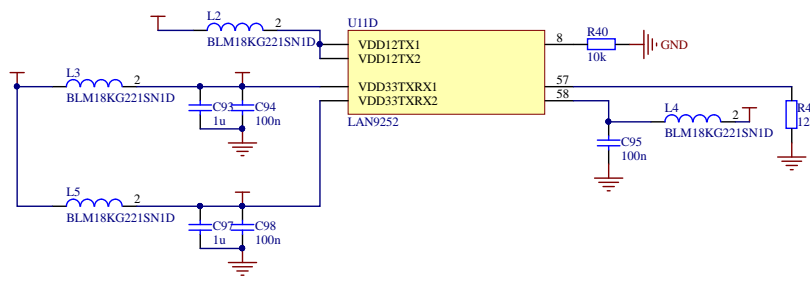
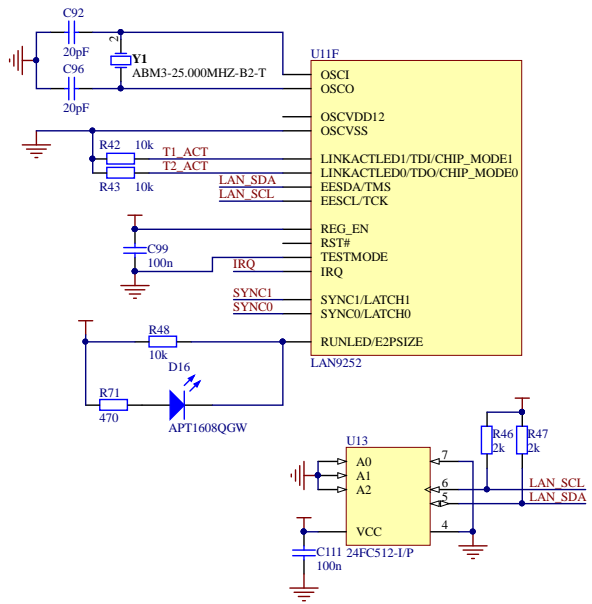
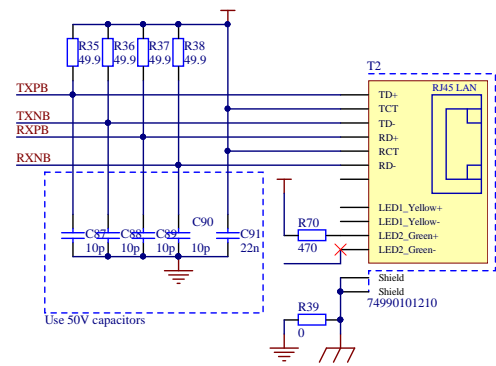
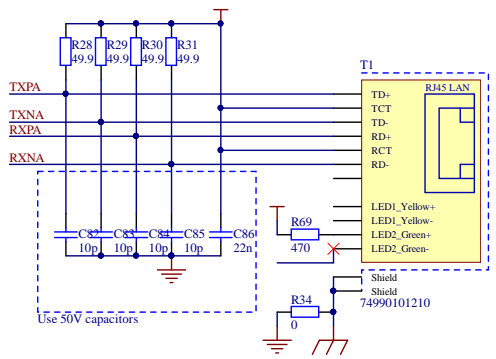
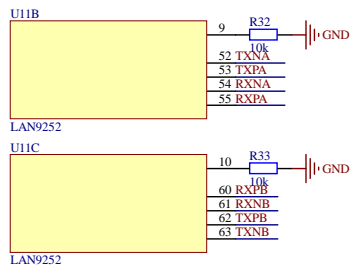
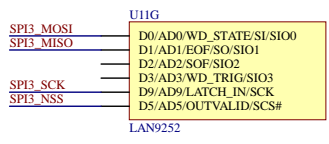
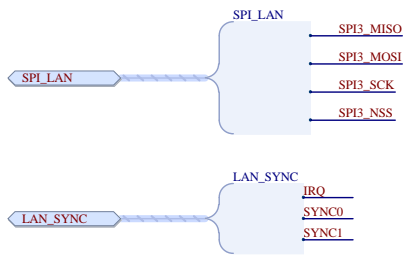
**CONFIDENTIAL MATERIAL**  
 DESY reserves all rights according to  
 ISO 16016. © Project\_CopyrightDate

ENGINEER: Joshua Supra  
 DRAWN BY: Joshua Supra

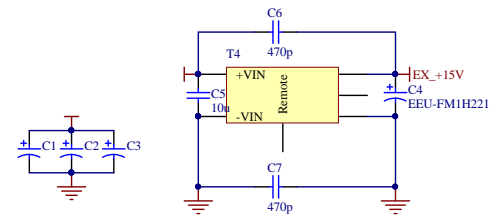
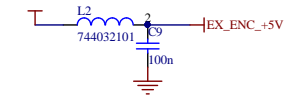
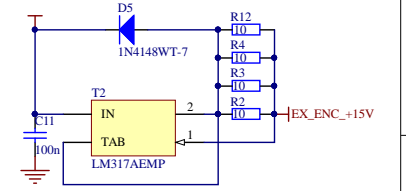
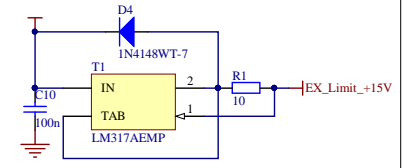
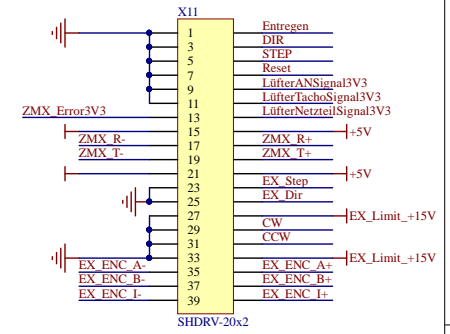
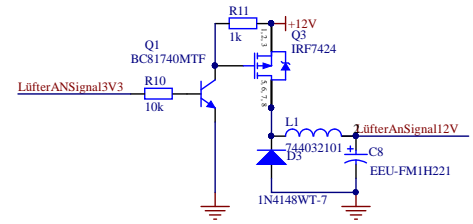
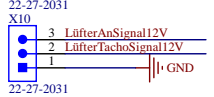
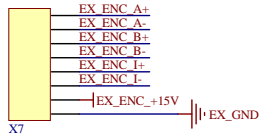
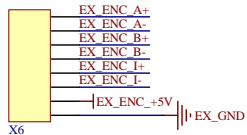
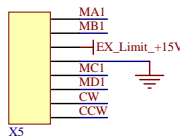
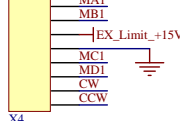
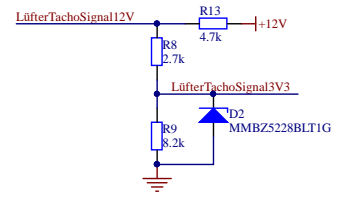
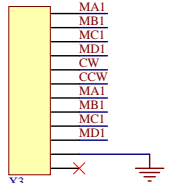
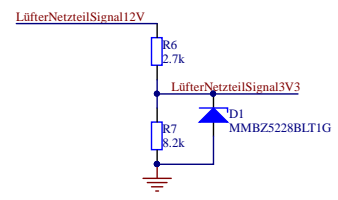
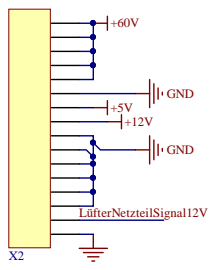
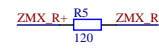
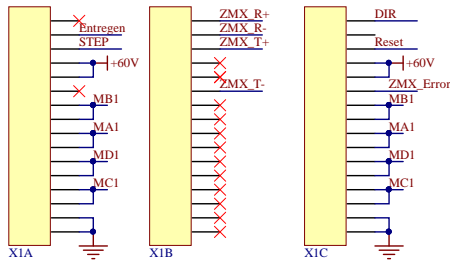
Rev:  
 Size: A3  
 Sheet:

FILENAME: powersupply.SchDoc

5 of 6



<b>DESY</b> FS-EC Notkestrasse 85 22607 Hamburg joshua.supra@desy.de		TITLE: <b>ZMX-Handsteuerung Serie 3</b>	Rev: Size: A3 Sheet: 6 of 6
		SCHEMATIC: <b>EtherCAT Slave</b> DATE: 27.07.2018 12:47:15	
<b>CONFIDENTIAL MATERIAL</b> DESY reserves all rights according to ISO 16016. © Project_CopyrightDate		FILENAME: EtherCAT.SchDoc	



**DESY**

FS-EC  
Notkestrasse 85  
22607 Hamburg  
tobias.spitzbart@desy.de



TITLE:  
**ZMX Handsteuerung Backplane**  
SCHEMATIC:  
**Backplane**  
DATE: 09.08.2018 15:19:53

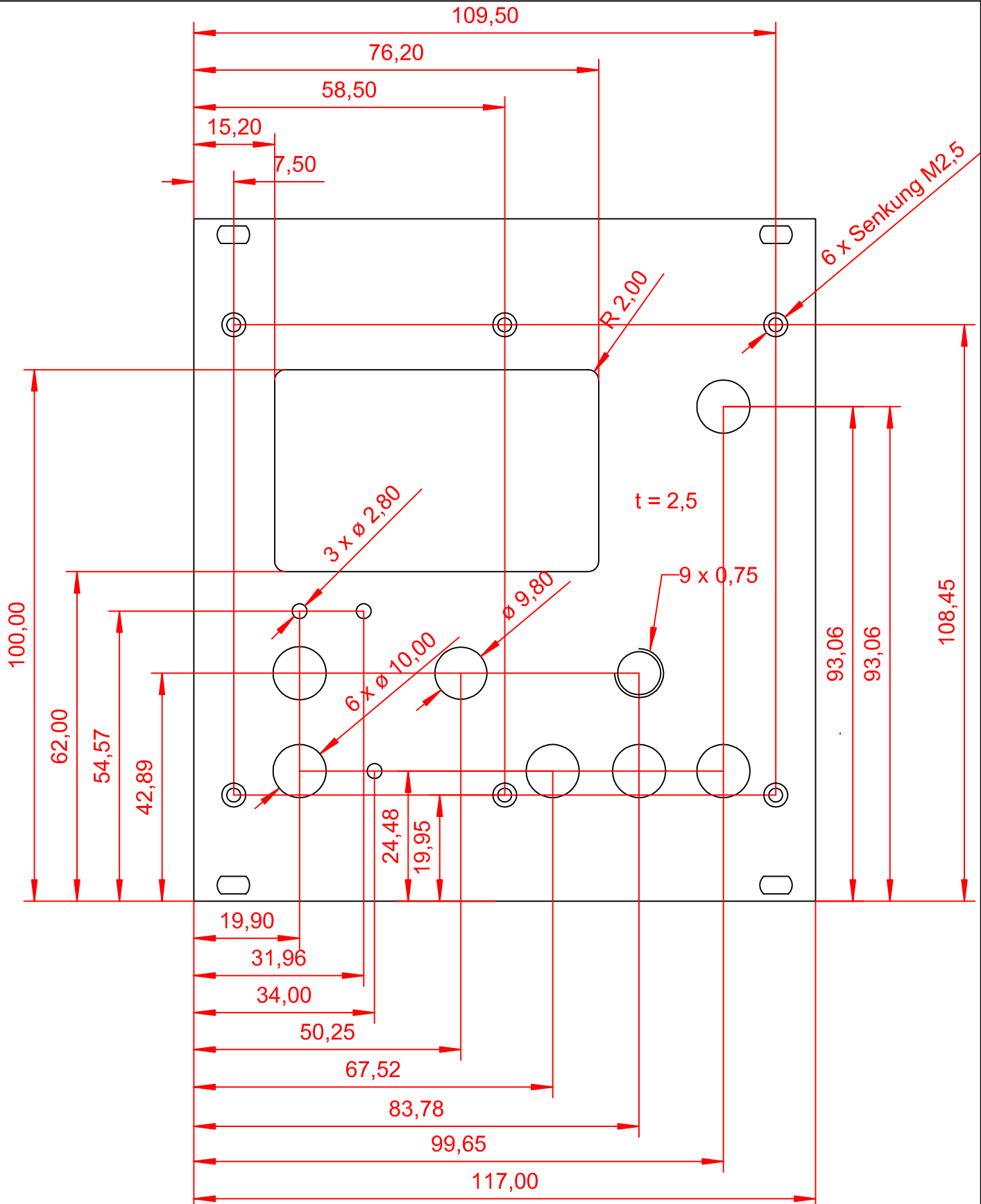
**CONFIDENTIAL MATERIAL**  
DESY reserves all rights according to  
ISO 16016. © Project\_CopyrightDate

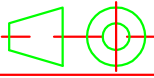
ENGINEER: Joshua Supra  
DRAWN BY: Tobias Spitzbart

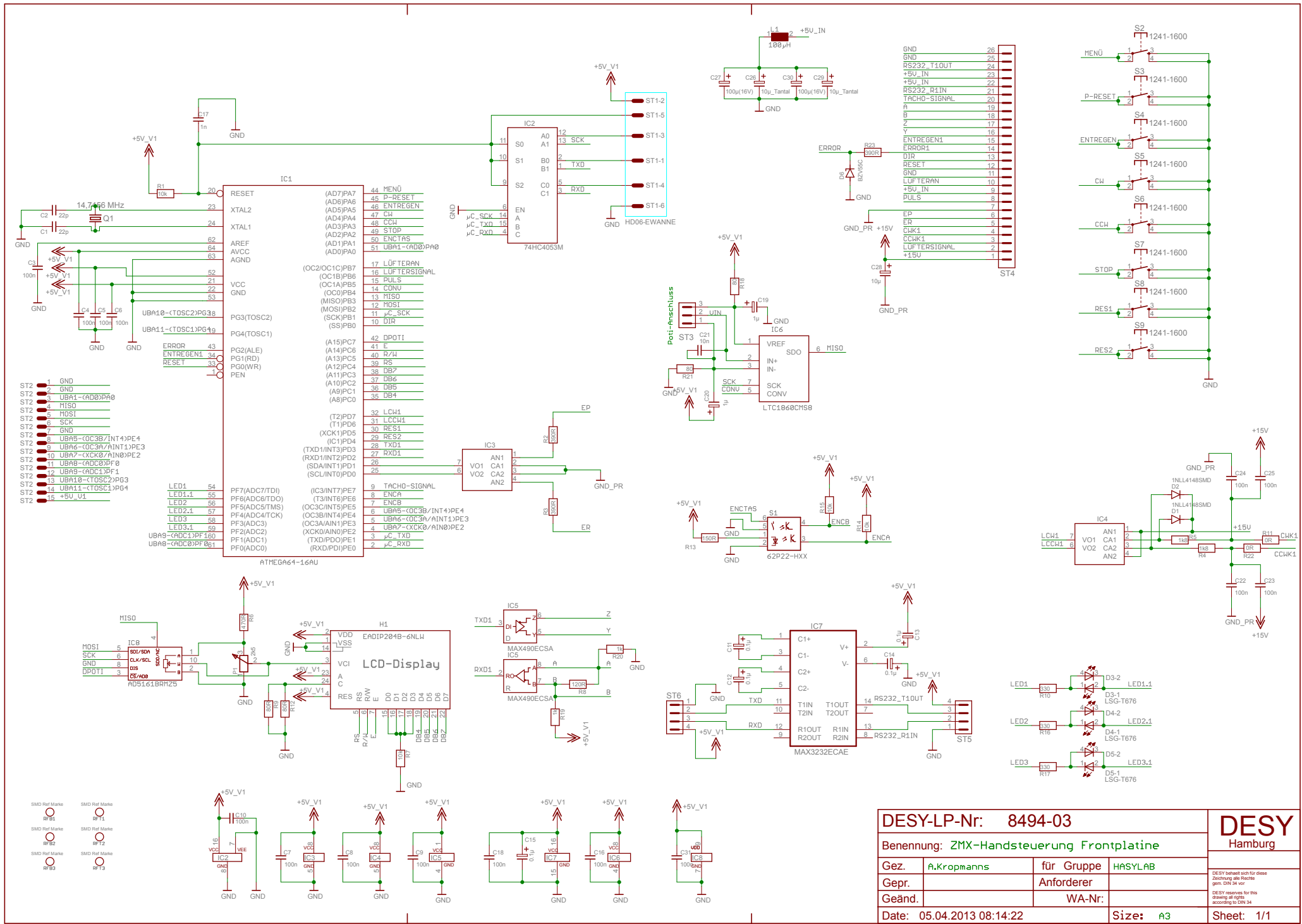
Rev: Project\_Revision  
Size: A3  
Sheet:

FILENAME: Backplane.SchDoc

1 of 1



Projekt / PROJECT		Arbeitspaket / WORKPACKAGE		Gruppe / GROUP ZE		Ers.für / REPLACES		Ers.durch / REPLACED BY	
Gewicht / WEIGHT		Halbzeug / SEMIFINISHED PRODUCT				Werkstoff / MATERIAL Alu 2,5mm		Format / SIZE A4	
Allg. Toleranzen / ISO 2768 GENERAL TOLERANCES ISO 13920  Tolerierungsgrundsatz / FUNDAMENTAL ISO 8015 TOLERANCING PRINCIPLE  Oberflächenkenngrößen / ISO 1302 SURFACE TEXTURE 4287, 4288		 Maßstab / SCALE <b>1:1</b>  Toleranzklasse / TOLERANCE CLASS		Teile-ID / PART-ID  Datum / DATE Name / NAME		Titel / TITLE <b>Frontplatte ZMX Handsteuerung</b> <b>2 Phasen Schrittmotor</b>  <b>Baugruppe Nr. 12174-00</b>			
• DESY, DESY behält sich alle Rechte vor. Schutzvermerk ISO 16016 beachten. Für Rückfragen bitte an -TT- wenden Tel. +49-40-8998-3675. • DESY, ALL RIGHTS RESERVED. PREFERRED TO PROTECTION NOTICE ISO 16016. FOR FURTHER ENQUIRIES PLEASE CONTACT -TT- TEL. +49-40-8998-3675.		Gepr. REV. Frei. REL. Gen. APR.		10.12.2010 T. Spitzbart		Dokument-Nr. / DOCUMENT NO. <b>4-10-7715-0-004</b>		Blatt SHEET 1 von OF 1  Zchn.-ID DRAW.-ID Rev. VER. Ver. VER. Status STATUS	

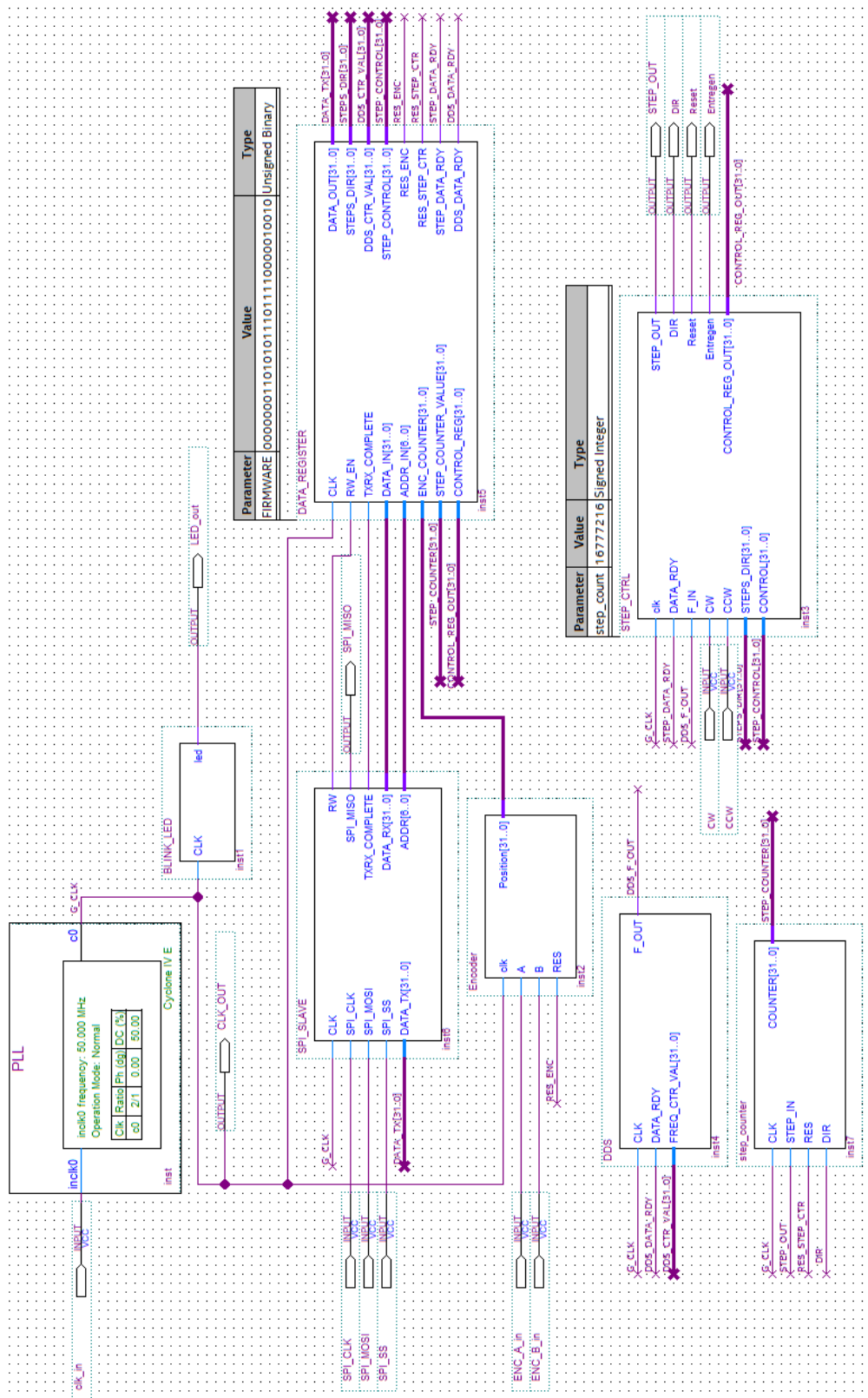


DESJ-LP-Nr: 8494-03			DESJ Hamburg
Benennung: ZMX-Handsteuerung Frontplatine			
Gez.	A.Kropmanns	für Gruppe	HASYLAB
Gepr.		Anforderer	
Geänd.		WA-Nr:	
Date:	05.04.2013 08:14:22		Size: A3
			Sheet: 1/1

DESJ behält sich für diese  
Zeichnung alle Rechte  
gemäß DIN 34 vor.  
DESJ reserves for this  
drawing all rights  
according to DIN 34

## **B. VHDL-Quellcode der Firmware vom FPGA**

Der Anhang B enthält den VHDL-Quellcode des FPGAs. Am Anfang jeder Datei befindet sich eine Kurzbeschreibung, die einen Überblick über den Inhalt bietet. Abbildung ?? zeigt die Übersicht der Firmware des FPGA innerhalb der Entwicklungsumgebung (Quartus Prime).



Übersicht der Firmware im FPGA.

## B.1. DDS.vhd

```
--Firma: DESY Hamburg
--Autor: Joshua Supra
--Projekt: ZMX-Handsteuerung Serie 3
--Letzte Aenderung am: 10.07.2018
--Kurzbeschreibung: DDS zur Erzeugung der Frequenz von Pulsen fuer
die ZMX-Endstufe
--(c) Copyright 2018 DESY
--/*****
--/ * Kurzbeschreibung: DDS
--/ * Frequenz von 1Hz bis 100kHz
--/*****/
library IEEE;
use IEEE.STD_LOGIC_1164.ALL;
use IEEE.numeric_std.all;
--/*****
--/ * Port Deklaration DDS
--/*****/
entity DDS is
    port(
        CLK, DATA_RDY    : in STD_LOGIC;
        FREQ_CTR_VAL      : in STD_LOGIC_VECTOR (31 downto 0);
        F_OUT             : out STD_LOGIC
    );
end DDS;

architecture Verhalten of DDS is
--/*****
--/ * Signal Deklarationen und ggf. Initialisierungen vom DDS
--/*****/
    signal DDS_VALUE      : unsigned (31 downto 0) := x"00000000";--
        Wert mit dem DDS Counter bei jeden Takt inkrementiert wird
    signal DDS_CTR       : unsigned (31 downto 0) := x"00000000";-- DDS
        Counter
    signal F_OUT_TEMP    : STD_LOGIC := '0';
begin

process (CLK)
begin
--/*****
--/ * Sequentielle Umgebung
--/*****/
```

```
if (CLK'event and CLK = '1') then
    if ( DATA_RDY = '1') then -- wenn neuer Zaehler Wert bereit
        liegt
        DDS_VALUE <= unsigned(FREQ_CTR_VAL);--in den Counter laden
    end if;
    DDS_CTR<=DDS_CTR + DDS_VALUE;-- DDS Counter um Zaehlerwert
        erhoehen

    if (DDS_CTR>(x"7FFFFFFF"))then --wenn der Zaehler groesser
        als 2^16 ist
        F_OUT_TEMP<='0'; --Ausgang low setzen
    else
        F_OUT_TEMP<='1'; --ansosnten Ausgang high
        setzen
    end if;
end if;
end process;
--/*****
--/ * Nebenlaeufige Anweisungen
--/ * Zuweisung der Signale an die Ports
--/*****/
F_OUT <= F_OUT_TEMP;
end Verhalten;
```

## B.2. SPISlave.vhd

```
--Firma: DESY Hamburg
--Autor: Joshua Supra
--Projekt: ZMX-Handsteuerung Serie 3
--Letzte Aenderung am: 20.06.2018
--Kurzbeschreibung: SPI Slave Schnittstelle fuer die Kommunikation
zwischen Mikrocontroller und FPGA
--(c) Copyright 2018 DESY
--/*****
--/ * Kurzbeschreibung: 6-Byte SPI Datuebertragung:
--/ * 1 Byte: MSB: R/W, 6 bis 0: Adresse
--/ * 2 Byte: Dummy Byte damit FPGA genug Zeit hat Daten
        bereit zu stellen
--/ * 3 - 6 Byte: 32 Bit Daten, MSB zuerst
--/*****/
library IEEE;
use IEEE.STD_LOGIC_1164.ALL;
--/*****
```

```

--/ * Port Deklaration des SPI Slaves
--/*****/
entity SPI_SLAVE is
  port(
    CLK, SPI_CLK, SPI_MOSI, SPI_SS : in STD_LOGIC;
    RW, SPI_MISO, TXRX_COMPLETE : out STD_LOGIC;
    DATA_RX : out STD_LOGIC_VECTOR (31 downto 0); --
      Daten die an die Register gesendet werden
    DATA_TX : in STD_LOGIC_VECTOR (31 downto 0); --
      Daten die aus Register gelesen werden
    ADDR : out STD_LOGIC_VECTOR (6 downto 0) --
      Register Adresse
  );
end SPI_SLAVE;

architecture Verhalten of SPI_SLAVE is
--/*****/
--/ * Signal Deklarationen und ggf. Initialisierungen des SPI
  Slaves
--/*****/
signal SPI_CLK_SR : STD_LOGIC_VECTOR(3 downto 0);
signal SPI_SS_SR : STD_LOGIC_VECTOR(3 downto 0);

signal ADDRDRDY, DUMMYRDY, DATAINRDY, RW_TEMP, MISO_EN, SEND_RDY
  : STD_LOGIC := '0';
signal WRITE_TO_REG, READ_FROM_REG, TXRX_COMPLETE_TEMP : STD_LOGIC
  := '0';

signal SPI_CLK_CTR : integer range 0 to 63 := 0;
signal DATA_BUFFER : STD_LOGIC_VECTOR (31 downto 0) := x"00000000
";
signal ADDR_DATA : STD_LOGIC_VECTOR (6 downto 0) := b"0000000";
signal MISO_BUFFER : STD_LOGIC_VECTOR (31 downto 0) := x"00000000"
;
--/*****/
--/ * Type Deklaration der SPI Slave State-Machine
--/*****/
type SPI_TRANSFER is(
  START_TRANS, -- Anfang der Uebertragung
  ADDR_READY, -- Adresse empfangen
  GET_DATA, -- Daten werden aus Uebertragung entnommen
  RX_DATA, -- Status zum Empfangen der Daten
  TX_DATA, -- Status zum Senden der Daten
  EOT -- Ende der uebertragung
);

```

```

signal SPI_STATE : SPI_TRANSFER;

begin
process (CLK)
begin
--/*****/
--/ * Sequentielle Umgebung, takt synchron
--/ * Eintakten vom SPI-CLOCK und CHIP-SELECT (active low)
--/ * 4 Bit Schieberegister um falsche Zustaeude durch Stoerung
  auf den Leitungen zu verhindern
--/*****/
if (CLK'EVENT and CLK='1') then
  -- Steigende Flanke am FPGA CLOCK
  SPI_CLK_SR <= SPI_CLK_SR (2) & SPI_CLK_SR (1) & SPI_CLK_SR (0)
    & SPI_CLK; -- SPI-CLOCK wird eingetaktet
  SPI_SS_SR <= SPI_SS_SR (2) & SPI_SS_SR (1) & SPI_SS_SR (0) &
    SPI_SS; -- CHIP-SELECT wird eingetaktet

  if (SPI_CLK_SR = "0111" and SPI_SS_SR = "0000") then --
    Steigenden Flanke am SPI-CLOCK und low am CHIP-SELECT
    SPI_CLK_CTR <= SPI_CLK_CTR + 1; --
      Inkrementierung des CLOCK counters um 1
    DATA_BUFFER <= DATA_BUFFER (30 downto 0) & SPI_MOSI; --
      Einlesen des jeweiligen MOSI Signals
  end if;
  if (MISO_EN = '1') then
    if (SPI_CLK_SR = "1000" and SPI_SS = '0') then -- fallende
      Flanke am SPI-CLOCK und CHIP-SELECT low
      MISO_BUFFER <= MISO_BUFFER (30 downto 0) & '0'; --
        MISO_BUFFER heraus takten
    end if;
  end if;

  if (SPI_SS_SR = "0011") then -- steigende Flanke am
    CHIP-SELECT
    TXRX_COMPLETE_TEMP <= '1'; -- Dateneuebertragungs-Flag
      wird 1 gesetzt
--/*****/
--/ * CHIP-SELECT high fuehrt zum Reset der SPI-Kommunikation,
  egal ob die
--/ * Dateneuebertragung vollstaendig ist oder nicht.
--/ * Alle Flags und Counter werden zurueck gesetzt
--/*****/

```

```

elsif(SPI_SS_SR = "1111") then
  TXRX_COMPLETE_TEMP <= '0';
  SPI_CLK_CTR <=0;
  SPI_STATE <= START_TRANS;
  ADDRDY <= '0';
  DUMMYRDY <= '0';
  DATAINRDY <= '0';
  SEND_RDY <= '0';
  MISO_EN <= '0';
  WRITE_TO_REG <= '0';
  READ_FROM_REG <= '0';
  DATA_BUFFER <= x"00000000";
end if;
--/*****/
--/ * Type Deklaration des SPI Slave Clock-Zaehlers
--/*****/
case SPI_CLK_CTR is
  when 8 => ADDRDY <= '1';
  when 16 => DUMMYRDY <= '1';
  when 17 => SEND_RDY <= '1';
  when 48 => DATAINRDY <= '1';
  when others =>
end case;
--/*****/
--/ * SPI Slave State-Machine
--/*****/
case SPI_STATE is
  when START_TRANS => if(ADDRDY = '1') then
    ADDR_DATA <= DATA_BUFFER
      (6 downto 0); -- lese
      Adresse aus Daten
    RW_TEMP <= DATA_BUFFER (7)
      ; -- lese R
      /W aus Daten
    SPI_STATE <= ADDR_READY;
      -- gehe
      zum State Adresse
      liegt bereit
    end if;
  when ADDR_READY => if(RW_TEMP = '1' and DUMMYRDY
    = '1') then -- Register soll geschrieben werden
    SPI_STATE <= RX_DATA;
      --

```

```

      weiter im State
      empfangen Daten
    elsif (RW_TEMP = '0') then
      -- Register
      soll gelesen werden
      SPI_STATE <= GET_DATA;
      --
      weiter im State hole
      Daten aus Register
    end if;
  when GET_DATA => READ_FROM_REG <= '1';
    -- Register lese Flag wird high gesetzt
    if(READ_FROM_REG = '1') then
      -- wenn
      Daten bereit liegen
      MISO_BUFFER <= DATA_TX;
      --
      Register Daten in
      MISO_BUFFER kopieren
      READ_FROM_REG <='0';
      --
      Register lese Flag wird
      low gesetzt
      SPI_STATE <= TX_DATA;
      --
      weiter im State Sende
      Daten
    end if;
  when RX_DATA => if(DATAINRDY = '1') then
    -- wenn Adresse und Daten empfangen
    wurden
    WRITE_TO_REG <= '1';
    --
    setze Register schreib
    Flag high
    SPI_STATE <= EOT;
    --
    weiter im State Ende
    der uebertragung
  end if;
  when TX_DATA => if(SEND_RDY = '1') then
    -- wenn Daten zum Senden bereit liegen
    MISO_EN <= '1';

```

```

-- gebe
        MISO frei
    elsif (DATAINRDY = '1') then
        -- wenn 48
        SPI Clocks gezaehlt wurden
        SPI_STATE <= EOT;
        --
        weiter im State Ende
        der uebertragung
    end if;
when EOT
    => ADDRDY <= '0';
    -- Ruecksetze Clock-Counter Flags
    DUMMYRDY <= '0';
    DATAINRDY <= '0';
    SEND_RDY <= '0';
    READ_FROM_REG <= '0';
    SPI_CLK_CTR <= 0;
    -- Reset
    Clock-Counter

end case;
end if;
end process;
--/*****
--/ * Nebenlaeufige Anweisungen
--/ * Zuweisung der Signale an die Ports
--/*****
ADDR <= ADDR_DATA when WRITE_TO_REG = '1' or READ_FROM_REG = '1'
    else (others => 'Z');--Adresse schreiben
RW <= RW_TEMP when WRITE_TO_REG = '1' or READ_FROM_REG = '1' else '
Z';-- R/W schreiben
DATA_RX <= DATA_BUFFER when WRITE_TO_REG = '1' else (others => 'Z')
; -- Daten an Register uebergeben
SPI_MISO <= MISO_BUFFER(31) when SPI_CLK_CTR > 16 else '0';--
    Daten aus Register auf MISO legen
TXRX_COMPLETE <= TXRX_COMPLETE_TEMP;-- uebertragung abgeschlossen
    Flag
end Verhalten;

```

### B.3. Registerverwaltung.vhd

```

--Firma: DESY Hamburg
--Autor: Joshua Supra
--Projekt: ZMX-Handsteuerung Serie 3

```

```

--Letzte Aenderung am: 05.06.2018
--Kurzbeschreibung: Datenregister, Verteilung der Daten im FPGA,
    bzw. Auslesen der
--
    einzelnen Register und Rueckgabe an SPI-Slave,
    max Adressen
--
    7 Bit = 128 Adressen,
--(c) Copyright 2018 DESY
--/*****
--/ Adresse:      Mode:      Beschreibung:
--/ 0x00          R          Lese aktuelle Firmware Version aus
--/ 0x01          R          Lese Encoder Wert aus
--/              W          Reset Encoder
--/ 0x02          R          Lese Step Control Register und
    Limits
--/              W          Schreibe Step Control Register
--/ 0x03          W          Schreibe Step Sollwert
--/ 0x04          W          Schreibe DDS Zaehler Wert
--/ 0x05          R          Lese Step-Counter Wert
--/              W          Reset Step-Counter
--/*****
library IEEE;
use IEEE.STD_LOGIC_1164.ALL;
--/*****
--/ * Port Deklaration des Datenregisters
--/*****
entity DATA_REGISTER is
    generic(
        FIRMWARE: STD_LOGIC_VECTOR(31 downto 0) :=x"01
        ABC12");--28032018
    port(
        CLK, RW_EN, TXRX_COMPLETE: in STD_LOGIC;
        DATA_OUT : out STD_LOGIC_VECTOR (31 downto 0);
        STEPS_DIR : out STD_LOGIC_VECTOR (31 downto 0);
        DDS_CTR_VAL: out STD_LOGIC_VECTOR (31 downto 0);
        DATA_IN: in STD_LOGIC_VECTOR (31 downto 0);
        ADDR_IN: in STD_LOGIC_VECTOR (6 downto 0);
        ENC_COUNTER : in STD_LOGIC_VECTOR(31 downto 0);
        STEP_CONTROL: out STD_LOGIC_VECTOR(31 downto 0);
        STEP_COUNTER_VALUE: in STD_LOGIC_VECTOR(31 downto 0);
        CONTROL_REG: in STD_LOGIC_VECTOR(31 downto 0);
        RES_ENC, RES_STEP_CTR, STEP_DATA_RDY, DDS_DATA_RDY:
            out STD_LOGIC
    );
end DATA_REGISTER;
architecture Verhalten of DATA_REGISTER is
--/*****

```

```

--/ * Signal Deklarationen und ggf. Initialisierungen des
    Datenregisters
--/*****
signal ADDRESS: STD_LOGIC_VECTOR (6 downto 0) := "1111111";
signal DATA :   STD_LOGIC_VECTOR (31 downto 0) := x"FFFFFFFF";
signal DATA_IN_TEMP :   STD_LOGIC_VECTOR (31 downto 0) := x"
    FFFFFFFF";
signal RW_TEMP, RES_ENC_TEMP, STEP_CTRL_TEMP, DDS_DR_TEMP,
    STEP_GEN_CTR_DR_TEMP, STEP_CTR_DR_TEMP, RES_STEP_CTR_TEMP :
    STD_LOGIC := '0';

signal STEP_MODE: STD_LOGIC_VECTOR (31 downto 0) := x"FFFFFFFF";
signal ENC_COUNTER_VALUE: STD_LOGIC_VECTOR (31 downto 0) := x"
    FFFFFFFF";
signal DDS_CTR_VAL_TEMP: STD_LOGIC_VECTOR (31 downto 0) := x"
    00000000";
signal STEP_CTR: STD_LOGIC_VECTOR (31 downto 0) := x"00000000";
begin

process(CLK, ADDRESS, RW_EN, DATA_IN)
begin
--/*****
--/ * Sequentielle Umgebung, taktsynchron
--/ * eine abgeschlossene SPI uebertragung setzt alle Flags
    zurueck
--/*****
if(CLK'event and CLK = '1') then
    if(TXRX_COMPLETE = '0') then
        RES_ENC_TEMP <= '0';
        STEP_CTRL_TEMP <= '0';
        DDS_DR_TEMP <= '0';
        STEP_GEN_CTR_DR_TEMP <= '0';
        STEP_CTR_DR_TEMP <= '0';
        RES_STEP_CTR_TEMP <= '0';
    end if;
--/*****
--/ * Nur bei aenderung der Daten, Adresse oder R/W werden neue
    Werte vom Bus
--/ * uebernommen, bei Idle ist der Bus x"00000000"
--/*****
if((((DATA_IN /= DATA_IN_TEMP) and DATA_IN /= x"00000000") or
    (ADDR_IN /= ADDRESS) or (RW_EN /= RW_TEMP))) then
    ADDRESS <= ADDR_IN;
    RW_TEMP <= RW_EN;

```

```

        DATA_IN_TEMP <= DATA_IN;
elsif( not ((DATA_IN /= DATA_IN_TEMP) or (ADDR_IN /= ADDRESS)
    or (RW_EN /= RW_TEMP))) then
end if;
--/*****
--/ * Auswertung der Adresse (siehe oben) und R/W
--/*****
case ADDRESS is
    when "0000000" => if(RW_TEMP = '0') then
        DATA <= FIRMWARE;
    end if;
    when "0000001" => if (RW_TEMP = '0') then
        DATA <= ENC_COUNTER;
    elsif (RW_TEMP = '1' and TXRX_COMPLETE
        = '1' and RES_ENC_TEMP = '0') then
        RES_ENC_TEMP <= '1';
    end if;
    when "0000010" => if(RW_TEMP = '0') then
        DATA <= CONTROL_REG;
    elsif (RW_TEMP = '1' and TXRX_COMPLETE
        = '1' and STEP_CTRL_TEMP = '0')
        then
        STEP_MODE <= DATA_IN_TEMP;
        STEP_CTRL_TEMP <= '1';
    end if;
    when "0000011" => if (RW_TEMP = '1' and TXRX_COMPLETE
        = '1' and STEP_GEN_CTR_DR_TEMP = '0') then
        STEP_CTR <= DATA_IN_TEMP;
        STEP_GEN_CTR_DR_TEMP <= '1';
    end if;
    when "0000100" => if (RW_TEMP = '1' and TXRX_COMPLETE
        = '1' and DDS_DR_TEMP = '0') then
        DDS_DR_TEMP <= '1';
        DDS_CTR_VAL_TEMP <= DATA_IN_TEMP;
    end if;
    when "0000101" => if (RW_TEMP = '1' and TXRX_COMPLETE =
        '1' and STEP_CTR_DR_TEMP = '0') then
        RES_STEP_CTR_TEMP <= '1';
        STEP_CTR_DR_TEMP <= '1';
    elsif(RW_TEMP = '0') then
        DATA <= STEP_COUNTER_VALUE;
    end if;

    when others =>

end case;

```

```

end if;
end process;
--/*****/
--/ * Nebenlaufige Anweisungen
--/ * Zuweisung der Signale an die Ports
--/ * Daten werden an die einzelnen Bausteine verteilt
--/*****/
DATA_OUT <= DATA;-- Daten fuer SPI TX
RES_ENC <= RES_ENC_TEMP;-- Reset Encoder Value
STEP_CONTROL <= STEP_MODE;-- Step generation Kontrollregister
STEP_DATA_RDY <= STEP_GEN_CTR_DR_TEMP;-- Data Ready Flag fuer Step
generation
DDS_CTR_VAL <= DDS_CTR_VAL_TEMP;-- Counter Wert fuer DDS
DDS_DATA_RDY <= DDS_DR_TEMP;-- Data Ready Flag fuer DDS
STEPS_DIR <= STEP_CTR;-- Schritte und Richtungsregister fuer Step
generation
RES_STEP_CTR <= RES_STEP_CTR_TEMP;-- Reset Step Counter
end Verhalten;

```

## B.4. Impulszaeler.vhd

```

--Firma: DESY Hamburg
--Autor: Joshua Supra
--Projekt: ZMX-Handsteuerung Serie 3
--Letzte Aenderung am: 29.06.2018
--Kurzbeschreibung: Zaehler um erzeugte Pulse zu zaehlen
--/*****/
--/ *
--/*****/
library IEEE;
use IEEE.STD_LOGIC_1164.ALL;
use ieee.numeric_std.ALL;
--/*****/
--/ * Port Deklaration des Step-Counter
--/*****/
entity step_counter is
    port (CLK, STEP_IN, RES, DIR: in STD_LOGIC;
          COUNTER: out STD_LOGIC_VECTOR (31 downto 0)
          );
end step_counter;

architecture Verhalten of step_counter is
--/*****/

```

```

--/ * Signal Deklarationen und ggf. Initialisierungen des Step-
Counters
--/*****/
signal STEP_SR: STD_LOGIC_VECTOR (1 downto 0) := "00";
signal COUNTER_TEMP: integer := 0;
begin
process (CLK, STEP_IN)
begin
--/*****/
--/ * Sequentielle Umgebung, takt synchron
--/ * Eintakten von STEP_IN um Flanke zu detektieren
--/*****/
if (CLK'event and CLK = '1') then
    STEP_SR <= STEP_SR(0) & STEP_IN;
    if (RES = '1') then -- wenn RES high
        COUNTER_TEMP <= 0; -- Zaehler zuruecksetzen
    elsif (STEP_SR = "01") then -- wenn "01" d.h. steigende Flanke
        an STEP_IN
            if (DIR = '1') then --Richtung CW
                COUNTER_TEMP <= COUNTER_TEMP + 1; -- Counter
                inkrementieren
            elsif (DIR = '0') then --Richtung CCW
                COUNTER_TEMP <= COUNTER_TEMP - 1; --Counter
                dekrementieren
            end if;
        end if;
    end if;
end process;
--/*****/
--/ * Nebenlaufige Anweisungen
--/ * Zuweisung der Signale an die Ports
--/*****/
COUNTER <= std_logic_vector(to_signed(COUNTER_TEMP, 32));
end Verhalten;

```

## B.5. Encoder.vhd

```

-- Der folgende Quellcode stammt wenn nicht anders Vermerkt von
[1].
-- Es wurden Anpassungen vorgenommen, die entweder mit
-- (hinzugefuegt) = dem original Quellcode hinzugefuegter Code
-- oder mit
-- (angepasst) = aenderung am original Quellcode vorgenommen

```

```
-- kenntlich gemacht wurden.
-- [1] Lothar Miller, 21.6.2018, http://www.lothar-miller.de/s9y/
categories/46-Encoder
library IEEE;
use IEEE.STD_LOGIC_1164.ALL;
use IEEE.NUMERIC_STD.ALL;

entity Encoder is
    Port ( clk : in  STD_LOGIC;
          A  : in  STD_LOGIC;
          B  : in  STD_LOGIC;
          --Reset Eingang fuer Ruecksetzen des Zaehlers (
             hinzuefuegt)
          RES : in  STD_LOGIC;
          --
          -----
          Position : out  STD_LOGIC_VECTOR (31 downto 0));
end Encoder;

architecture Behavioral of Encoder is
type zustaende is (Z00, Z01, Z11, Z10);
signal z : zustaende := Z00;
signal p : integer := 0;
signal i : std_logic_vector(1 downto 0);
signal e : std_logic_vector(1 downto 0);
begin
    process begin -- Eintakten der asynchronen Signale
        wait until rising_edge(clk);
        i <= A & B; -- Zusammenfassen der Eingaenge A und B
        e <= i;
    end process;

    process(clk) -- Weiterschalten und Zaehlen
    variable cu, cd : std_logic := '0';
    begin
        -- Reset "high" bedeutet Ruecksetzen des Zaehlers (
            hinzuefuegt)
        if(RES = '1') then
            p <= 0;
            -----
        elsif(clk = '1' and clk'event) then
            cu := '0'; -- lokale Werte
            cd := '0';
```

```
case z is
-- Zaehlverhalten wurde der Vorzugsdrehrichtung fuer die ZMX
--Endstufe angepasst,
-- so dass CW drehend inkrementiert und CCW drehend
dekrementiert (angepasst)
    when Z00 => if (e = "01") then z <= Z01; cd := '1';
                elsif (e = "10") then z <= Z10; cu := '1';
                end if;
    when Z01 => if (e = "11") then z <= Z11; cd := '1';
                elsif (e = "00") then z <= Z00; cu := '1';
                end if;
    when Z11 => if (e = "10") then z <= Z10; cd := '1';
                elsif (e = "01") then z <= Z01; cu := '1';
                end if;
    when Z10 => if (e = "00") then z <= Z00; cd := '1';
                elsif (e = "11") then z <= Z11; cu := '1';
                end if;
--
-----

end case;
if (cu='1') then
    p <= p+1;
elsif (cd='1') then
    p <= p-1;
end if;
end process;

Position <= std_logic_vector(to_signed(p,32)); -- Position
ausgeben
end Behavioral;

B.6. Stepgeneration.vhd

--Firma: DESY Hamburg
--Autor: Joshua Supra
--Projekt: ZMX-Handsteuerung Serie 3
--Erstellt am: 28.08.2018
--Kurzbeschreibung: Impulserzeugung fuer die ZMX-Endstufe
--(c) Copyright 2018 DESY
--/*****
--/ * Register: Step Control Register
```

```

--/          Step Count & direction
--/*****
library IEEE;
use IEEE.STD_LOGIC_1164.ALL;
USE ieee.numeric_std.ALL;
--/*****
--/ * Port Deklaration
--/ * Statische Variablen
--/*****
entity STEP_CTRL is
  generic (step_count : integer := 16777216);-- maximale
    moegliche Pulse
  Port ( clk, DATA_RDY, F_IN, CW, CCW :   in STD_LOGIC;--
    Eingangsbits: Clock, Daten stehen bereit, Frequenz vom DDS,
    Endlagen CW und CCW
    STEPS_DIR   :   in STD_LOGIC_VECTOR(31 downto 0);--
    Eingangsvector Anzahl der Schritte und Drehrichtung
    CONTROL     :   in STD_LOGIC_VECTOR(31 downto 0);--
    Eingangsvector Kontrollregister
    STEP_OUT, DIR, Reset, Entregen :   out STD_LOGIC;--
    Ausgangsbits: Impulsausgang, Drehrichtung, Reset
    ZMX-Endstufe, Entregen ZMX-Endstufe
    CONTROL_REG_OUT: out STD_LOGIC_VECTOR(31 downto 0));--
    Ausgangsvector: Ausgabe vom Kontrollregister,
    enthaelt Zustand der Endlagen
end STEP_CTRL;

architecture Verhalten of STEP_CTRL is
--/*****
--/ * Type Deklaration der Impulserzeugung
--/*****
type Impuls_Gen is (
  Init_ctr,-- Status Initialisierung
  Impuls_high,-- Status fuer Impuls "igh" Zeit
  Impuls_low-- Status fuer Impuls "low" Zeit
);
--/*****
--/ * Signal Deklarationen und ggf. Initialisierungen
--/*****
signal Impuls : Impuls_Gen;-- Erzeuge Signal vom Typ Impuls_Gen
signal output, INIT : STD_LOGIC := '0';

signal DIR_TEMP: STD_LOGIC := '0';-- Richtung Temp

```

```

signal STEPS: STD_LOGIC_VECTOR (23 downto 0);-- Register fuer
  Schritte
signal CONTROL_TEMP: STD_LOGIC_VECTOR (1 downto 0);--Register fuer
  einstellen des Laufmodus
signal CONTROL_LIMITS_TEMP_CW, CONTROL_LIMITS_TEMP_CCW:
  STD_LOGIC_VECTOR (3 downto 0);--Register fuer einstellen der
  Endlagen
signal F_IN_SR : STD_LOGIC_VECTOR (1 downto 0) := "00";--
  Schieberegister zum eintakten der Frequenz aus dem DDS,
  Flankenerkennung
signal CW_IN_SR : STD_LOGIC_VECTOR (3 downto 0) := "0000";--
  Schieberegister zum eintakten der CW Endlage fuer Entprellung
signal CCW_IN_SR : STD_LOGIC_VECTOR (3 downto 0) := "0000";--
  Schieberegister zum eintakten der CCW Endlage fuer Entprellung
signal LIMIT_DISABLE : STD_LOGIC := '0';--Limits deaktiviert Bit
signal CONTROL_REG_OUT_TEMP: STD_LOGIC_VECTOR(31 downto 0);--
  Register zum zwischenspeichern der Ausgabe vom Kontrollregister
signal get_counter: STD_LOGIC := '0';--counter Flag

signal step_ctr: integer range 0 to step_count;-- Zaehler fuer
  Schritte im n-Schritte Modus

signal MODE_N_STEP, MODE_CONT: STD_LOGIC := '0';-- Modi fuer
  Laufmodus, n-Schritte oder kontinuierlich
signal CW_ACT_HIGH, CW_ACT_LOW, CW_DIS, CCW_ACT_HIGH, CCW_ACT_LOW,
  CCW_DIS: STD_LOGIC := '0';-- Zustaende der moeglichen
  Endlageneinstellung, "high", "low" oder "disabled"
signal CW_LIMIT, CCW_LIMIT: STD_LOGIC := '0';-- Bit fuer
  ausgeloeste Endlage
signal Reset_temp, Entregen_temp: STD_LOGIC := '0';--
  Zwischenspeicher Reset ZMX-Endstufe, Entregen ZMX-Endstufe
signal IO_temp: STD_LOGIC_VECTOR (2 downto 0):="001";--
  Zwischenspeicher fuer Auswertung von Reset und Entregen im
  Kontrollregister
begin
CREATE_IMPULS: process (clk, F_IN)
begin
  if(clk'event and clk = '1')then--wenn steigender Flanke am
  Clock wird
    F_IN_SR <= F_IN_SR (0) & F_IN;-- Zustand des DDS
    eingetaktet
    CW_IN_SR <= CW_IN_SR (2) & CW_IN_SR (1) & CW_IN_SR (0) &
    CW;--Zustand der Endlage CW eingetaktet

```

```

CCW_IN_SR <= CCW_IN_SR (2) & CCW_IN_SR (1) & CCW_IN_SR (0)
  & CCW;--Zustand der Endlage CCW eingetaktet
if(DATA_RDY = '1' and get_counter= '0') then-- wenn Daten
  im Step_Dir Register bereit liegen wird
  get_counter <= '1';
  DIR_TEMP <= STEPS_DIR(31);--die Drehrichtung
  ausgelesen
  step_ctr <= step_ctr + to_integer(unsigned(STEPS_DIR
    (23 downto 0)));-- die Anzahl der auszufuehrenden
    Schritte in den Zaehler fuer Schritte geladen
elsif(DATA_RDY = '0' and get_counter= '1')then
  get_counter<= '0';
end if;
--/*****
--/ * Auswertung Reset und Entregen
--/*****
IO_temp <= CONTROL (26 downto 24);--Zwischenspeicher fuer
  Auswertung von Reset und Entregen im Kontrollregister
  wird beschrieben
case IO_temp is
-- Eingaenge sind active low
  when "000" => Reset_temp <= '1';-- wenn "00"
    kein reset der Endstufe
    Entregen_temp <= '1';-- Endstufe
    ist inaktiv
  when "001" => Reset_temp <= '1';-- wenn "01"
    kein reset der Endstufe
    Entregen_temp <= '0';-- Endstufe
    ist aktiv
  when "010" => Reset_temp <= '0';-- wenn "10"
    reset der Endstufe
    Entregen_temp <= '1';-- Endstufe
    ist inaktiv
  when "011" => Reset_temp <= '0';--wenn "11"
    reset der Endstufe
    Entregen_temp <= '0';--Endstufe
    ist aktiv

  when others =>

end case;
--/*****
--/ * Auswertung Limit-switch Kontrollregister, Endlagen werden
  entsprechend
--/ gesetzt
--/ * Reset "000" senden

```

```

--/*****
CONTROL_LIMITS_TEMP_CW <= CONTROL (15 downto 12);
case CONTROL_LIMITS_TEMP_CW is
  -- Ruecksetzen der Limit Einstellungen
  when "0000" => CW_ACT_HIGH <= '0';
    CW_ACT_LOW <= '0';
    CW_DIS <= '0';
    -- CW ist active low
  when "0010" => CW_ACT_LOW <= '1';
    CW_ACT_HIGH <= '0';
    CW_DIS <= '0';
    -- CW ist active high
  when "0001" => CW_ACT_LOW <= '0';
    CW_ACT_HIGH <= '1';
    CW_DIS <= '0';
    -- CW ist disabled
  when "0011" => CW_ACT_LOW <= '0';
    CW_ACT_HIGH <= '0';
    CW_DIS <= '1';

  when others =>

end case;
CONTROL_LIMITS_TEMP_CCW <= CONTROL (11 downto 8);
case CONTROL_LIMITS_TEMP_CCW is
  when "0000" => CCW_ACT_HIGH <= '0';
    CCW_ACT_LOW <= '0';
    CCW_DIS <= '0';
    -- CCW ist active low
  when "0010" => CCW_ACT_LOW <= '1';
    CCW_ACT_HIGH <= '0';
    CCW_DIS <= '0';
    -- CCW ist active high
  when "0001" => CCW_ACT_LOW <= '0';
    CCW_ACT_HIGH <= '1';
    CCW_DIS <= '0';
    -- CCW ist disabled
  when "0011" => CCW_ACT_LOW <= '0';
    CCW_ACT_HIGH <= '0';
    CCW_DIS <= '1';

  when others =>

end case;
--/*****
--/ * Auswertung Endlagen
--/*****

```

```

if (CW_ACT_LOW = '1' and CW_IN_SR="0000") then-- wenn CW
  active low ist und CW Schieberegister komplett low
  CW_LIMIT <= '1';-- wird CW Endlage als betaetigt
  erkannt
elsif (CW_ACT_HIGH = '1' and CW_IN_SR = "1111") then--
  wenn CW active high ist und CW Schieberegister komplett
  high
  CW_LIMIT <= '1';-- wird CW Endlage als betaetigt
  erkannt
end if;
if (CCW_ACT_LOW = '1' and CCW_IN_SR = "0000") then-- wenn
  CCW active low ist und CCW Schieberegister komplett low
  CCW_LIMIT <= '1';-- wird CCW Endlage als betaetigt
  erkannt
elsif (CCW_ACT_HIGH = '1' and CCW_IN_SR = "1111") then--
  wenn CCW active high ist und CCW Schieberegister
  komplett high
  CCW_LIMIT <= '1';-- wird CCW Endlage als betaetigt
  erkannt
end if;
if (CW_ACT_LOW = '1' and CW_IN_SR= "1111") then-- wenn CW
  active low ist und CW Schieberegister komplett high
  CW_LIMIT <= '0';--wird CW Endlage als NICHT betaetigt
  erkannt
elsif (CW_ACT_HIGH = '1' and CW_IN_SR = "0000") then--
  wenn CW active high ist und CW Schieberegister komplett
  low
  CW_LIMIT <= '0';--wird CW Endlage als NICHT betaetigt
  erkannt
end if;
if (CCW_ACT_LOW = '1' and CCW_IN_SR = "1111") then-- wenn
  CCW active low ist und CCW Schieberegister komplett
  high
  CCW_LIMIT <= '0';--wird CCW Endlage als NICHT
  betaetigt erkannt
elsif (CCW_ACT_HIGH ='1' and CCW_IN_SR = "0000") then--
  wenn CCW active high ist und CCW Schieberegister
  komplett low
  CCW_LIMIT <= '0';--wird CCW Endlage als NICHT
  betaetigt erkannt
end if;
--/*****
--/ * Auswertung Endlagen LIMIT_DISABLE
--/*****

```

```

if (CW_ACT_LOW = '1' and CW_IN_SR="0000" and DIR_TEMP =
  '1' ) then-- hat die Endlage CW ausgelost und die
  Drehrichtung ist CW (CW act low)
  LIMIT_DISABLE <= '1';--wird der Vorschub verhindert
elsif (CW_ACT_HIGH = '1' and CW_IN_SR = "1111" and
  DIR_TEMP = '1') then-- hat die Endlage CW ausgelost
  und die Drehrichtung ist CW (CW act high)
  LIMIT_DISABLE <= '1';--wird der Vorschub verhindert
elsif (CCW_ACT_LOW = '1' and CCW_IN_SR = "0000" and
  DIR_TEMP = '0' ) then-- hat die Endlage CCW ausgelost
  und die Drehrichtung ist CCW (CCW act low)
  LIMIT_DISABLE <= '1';--wird der Vorschub verhindert
elsif (CCW_ACT_HIGH = '1' and CCW_IN_SR = "1111" and
  DIR_TEMP = '0') then-- hat die Endlage CCW ausgelost
  und die Drehrichtung ist CCW (CCW act low)
  LIMIT_DISABLE <= '1';--wird der Vorschub verhindert
end if;

if(LIMIT_DISABLE = '1') then
  step_ctr <= 0;-- Soll Schrittzaeher wird auf 0
  gesetzt
end if;

--/*****
--/ * Auswertung Kontrollregister
--/*****
CONTROL_TEMP <= CONTROL (1 downto 0);
case CONTROL_TEMP is
  --Stop Impuls Erzeugung, reset aller Endlagen, reset
  des Run-Mode
  when "00" => MODE_CONT <= '0';
  MODE_N_STEP <= '0';
  Impuls <= Init_ctr;-- Impuls
  State-Machine wird auf init
  zurueck gesetzt
  output <= '0';-- Impulsausgang
  wird auf low gesetzt
  step_ctr <= 0;-- Soll
  Schrittzaeher wird auf 0
  gesetzt
  LIMIT_DISABLE <= '0';
  when "01" => MODE_CONT <= '1';--
  einschalten des kontinuierlichen Modus
  MODE_N_STEP <= '0';--

```

```

                                ausschalten des n-Schritte
                                Modus
when    "10"    =>  MODE_N_STEP <= '1';--
                                einschalten des n-Schritte Modus
                                MODE_CONT <= '0';--
                                ausschalten des
                                kontinuierlichen Modus

                                when    others =>
end case;
--/*****/
--/ * Ausgabe des Control Registers, Endlagen, sowie Einstellungen
--/*****/
CONTROL_REG_OUT_TEMP(1 downto 0) <= CONTROL_TEMP;
CONTROL_REG_OUT_TEMP(4) <= DIR_TEMP;
CONTROL_REG_OUT_TEMP(11 downto 8) <=
    CONTROL_LIMITS_TEMP_CCW;
CONTROL_REG_OUT_TEMP(15 downto 12) <=
    CONTROL_LIMITS_TEMP_CW;
CONTROL_REG_OUT_TEMP(16) <= CW_LIMIT;
CONTROL_REG_OUT_TEMP(17) <= CCW_LIMIT;
if(step_ctr >0)then-- wenn noch Schritte ausgefuehrt
    werden sollen
    CONTROL_REG_OUT_TEMP(19) <= '1';
else
    CONTROL_REG_OUT_TEMP(19) <= '0';
end if;
--/*****/
--/ * Kontinuierlicher Modus, Frequenz ueber DDS einstellbar
--/*****/
if(MODE_CONT = '1' and LIMIT_DISABLE = '0') then--solange
    der Modus kontinuierlich ist und keine Endlage
    ausgeloeset hat
    case Impuls is--wird ein Impuls erzeugt
        when Init_ctr    =>  output <= '0';-- Im init
                                wird der Impulsausgang an die Endstufe auf low
                                gesetzt
                                Impuls <= Impuls_high;--
                                weiter im State fuer
                                Impuls high
        when Impuls_high =>  if(F_IN_SR ="01") then--
                                wenn eine steigende Flanke vom DDS kommt
                                output <= '1';--wird
                                der Impulsausgang

```

```

                                an die Endstufe auf
                                high gesetzt
                                Impuls <= Impuls_low;
                                --wird in den
                                Zustand Impuls low
                                gewechselt
                                end if;
when Impuls_low    =>  if(F_IN_SR ="10") then--
                                wenn eine fallende Flanke vom DDS kommt
                                output <= '0';--wird
                                der Impulsausgang
                                an die Endstufe auf
                                low gesetzt
                                Impuls <= Impuls_high;
                                -- und der Zustand
                                wechselt wieder zum
                                Impuls high
                                end if;
end case;
--/*****/
--/ * n-Puls Modus, Frequenz durch DDS vorgegeben (einstellbar),
    erzeugt bis
    --/ zu 16777216 aufeinander folgende Pulse
--/*****/
elsif(MODE_N_STEP = '1' and LIMIT_DISABLE = '0') then--
    wenn der Modus n-Step ist und keine Endlage ausgeloeset
    hat
    case Impuls is
        when Init_ctr    =>  output <= '0';-- Im init
                                wird der Impulsausgang an die Endstufe auf low
                                gesetzt
                                if(step_ctr >0)then-- wenn
                                noch Schritte
                                ausgefuehrt werden
                                sollen
                                Impuls <= Impuls_high;
                                -- weiter im State
                                fuer Impuls high
                                end if;
        when Impuls_high =>  if(F_IN_SR ="01") then--
                                wenn eine steigende Flanke vom DDS kommt
                                output <= '1';--wird
                                der Impulsausgang

```

```

        an die Endstufe auf
        high gesetzt
        Impuls <= Impuls_low;
        --wird in den
        Zustand Impuls low
        gewechselt
    end if;
when Impuls_low => if(F_IN_SR="10") then--
    wenn eine fallende Flanke vom DDS kommt
        output <= '0';--wird
        der Impulsausgang
        an die Endstufe auf
        low gesetzt
        step_ctr <= step_ctr -
        1;-- Schritt
        Sollwert um eins
        dekrementiert
        Impuls <= Init_ctr;--
        und in den Init
        Zustand gewechselt
    end if;
end case;
end if;
end if;
end process CREATE_IMPULS;
--/*****/
--/ * Nebenlaufige Anweisungen
--/ * Zuweisung der Signale an die Ports
--/*****/
Entregen <= Entregen_temp;
Reset <= Reset_temp;
STEP_OUT <= output;
DIR <= DIR_TEMP;
CONTROL_REG_OUT <= CONTROL_REG_OUT_TEMP;
end Verhalten;

```

## C. Quellcode der Software des Mikrocontrollers: Header Dateien

Der Anhang C enthält die Header Dateien der Software des Mikrocontrollers. Am Anfang jeder Datei befindet sich eine Kurzbeschreibung, die einen Überblick über den Inhalt bietet.

### C.1. main.h

```

/*****
 * Firma: DESY Hamburg
 * Autor: Joshua Supra
 * Projekt: ZMX-Handsteuerung Serie 3
 * Datei: main.h
 * Letzte Änderung: 30.08.2018
 * Kurzbeschreibung: Hauptprogramm: Auswertung der Eingabelemente
   , Ansteuerung
   LEDs, Visualisierung der Parameter im Display,
   Parametrierung der
   ZMX-Endstufe und Parametrierung des FPGAs.
 * (c) Copyright 2018 DESY
 *****/
#ifndef MAIN_H_
#define MAIN_H_

/*Defines für den Autodrive */
#define AUTODRIVE_FAKTOR 500 //Multiplikator
#define AUTODRIVE_MIN 0
#define AUTODRIVE_MAX 60000

/*Defines für den Singlestep*/
#define SINGLESTEP_MIN 1
#define SINGLESTEP_MAX 100
/*****
 * Globale Variablen

```

```

*****/
/*Übertragung zum Display*/
volatile uint8_t display_tx_data; //Sende Daten Flag
volatile uint8_t display_tx_busy; //Daten werden gerade gesendet
    Flag
volatile uint16_t display_tx_wait; //Wartezeit nach Übertragung
volatile uint8_t display_tx_data_ctr; //Anzahl der Datensätze im
    Display Buffer
/*Display Flags, Wert der aktualisiert werden soll*/
volatile uint8_t update_speed;
volatile uint8_t update_Irun;
volatile uint8_t update_Istop;
volatile uint8_t update_res;
volatile uint8_t update_cw;
volatile uint8_t update_ccw;
volatile uint8_t update_enc_speed;
volatile uint8_t update_single_step;
volatile uint8_t update_autodrive;
/*Taster Auswertung*/
volatile uint8_t button_get_state; //gate zum Auswerten der Taster
/*Endstufenparameter*/
volatile int8_t Irun; //Laufstrom
volatile int8_t Irun_old;
volatile int8_t Istop; //Stoppstrom
volatile int8_t Istop_old;
volatile int8_t res; //Schrittauflösung
volatile int8_t res_old;
/*Menüführung im Display*/
volatile uint8_t menu_state;
volatile uint8_t menu_state_old;
volatile uint8_t menu_print_select; //Parameter ausgewählt
volatile uint8_t menu_select;

volatile uint8_t Blink_ctr; //Zähler für blinkenden Char
/*FPGA Variablen und Flags*/
volatile uint8_t fpga_steps_enc;
volatile uint8_t fpga_steps_enc_old;
volatile uint8_t fpga_update;
//Empfangsbuffer
volatile int32_t fpga_receive_data;
volatile int32_t fpga_receive_enc;
volatile int32_t fpga_receive_steps;
//Werte für/aus Kontrollregister
volatile int8_t CCW_Limit; //Zustand CCW Endlage

```

```

volatile int8_t CW_Limit; //Zustand CW Endlage
volatile uint8_t zmx_entregen; //ZMX Zustand
volatile uint8_t zmx_entregen_old;
volatile uint8_t zmx_reset;
volatile uint8_t fpga_limit_cw; //Einstellung CW Endlage
volatile uint8_t fpga_limit_cw_old;
volatile uint8_t fpga_limit_ccw; //Einstellung CW Endlage
volatile uint8_t fpga_limit_ccw_old;
volatile uint8_t fpga_ctrl_mode; //Buffer für sende
    Kontrollregister
//Richtung CW/CCW
volatile uint8_t fpga_cw_drive;
volatile uint8_t fpga_cw_drive_old;
volatile uint8_t fpga_ccw_drive;
volatile uint8_t fpga_ccw_drive_old;
//Autodrive
volatile uint8_t fpga_cw_autodrive;
volatile uint8_t fpga_ccw_autodrive;
volatile uint32_t fpga_autodrive_steps;
//Single Step
volatile uint8_t fpga_single_step_cw;
volatile uint8_t fpga_single_step_ccw;
volatile int8_t fpga_single_step_ctr;
volatile int16_t fpga_single_step_factor;
//Last Pos. Dirve
volatile uint8_t fpga_cw_last_pos_drive;
volatile uint8_t fpga_ccw_last_pos_drive;

volatile uint8_t fpga_steps_left; //Noch Schritte im Register Flag
volatile int32_t fpga_pos_1; //Speicher aktuelle Position
volatile int32_t fpga_pos_2; //Speicher letzte Position
/*Leds*/
volatile uint8_t LED_ctr_high; //Zähler wenn Endlag act. high
volatile uint8_t LED_ctr_dis; //Zähler wenn Endlage deaktiviert
/*EEPROM*/
volatile uint8_t eeprom_save_ctr;
volatile uint8_t eeprom_save;
/*Sonstige*/
volatile uint8_t startup_ctr;
#endif

```

## C.2. encoder.h

```

/*****
 * Firma: DESY Hamburg
 * Autor: Joshua Supra
 * Projekt: ZMX-Handsteuerung Serie 3
 * Datei: encoder.h
 * Letzte Aenderung: 30.08.2018
 * Kurzbeschreibung: Initialisierung fuer Drehencoder Menue und
   Frqueunzeinstellung
 * (c) Copyright 2018 DESY
 *****/

#ifndef ENCODER_H_
#define ENCODER_H_

#define SPEED TIM1
#define MENU TIM8

#define ENCODER_PERIOD 0xFF
/*****
 * Prototyp Funktionen
 *****/
/*Initialisierung GPIOs */
void init_GPIO_encoder(void);
void init_menu_encoder(void);
/*Initialisierung Timer */
void init_adjust_encoder(void);
void Timer6_Init(void);
/*****
 * Encoder Variablen
 *****/
/*Auswertung Menue*/
volatile int16_t encoder_menu_value;
volatile int16_t encoder_menu_value_old;
/*Auswertung Frequenz*/
volatile int16_t encoder_speed_value;
volatile int16_t encoder_speed_value_old;

#endif

```

### C.3. ea\_dip203B.h

```

/*****
Firma: DESY Hamburg

```

```

Autor: Joshua Supra
Projekt: ZMX-Handsteuerung Serie 3
Datei: ea_dip203B.h
Letzte Aenderung: 30.08.2018
Kurzbeschreibung: Initialisierung fuer das Display, Funktionen für
das Senden
und Aufbereiten von Daten an das Display
(c) Copyright 2018 DESY
 *****/
#ifndef EA_DIP203B_H_
#define EA_DIP203B_H_

/*Chip Select SPI Display*/
#define CS_DISP_LOW GPIO_ResetBits(GPIOA, GPIO_Pin_4)
#define CS_DISP_HIGH GPIO_SetBits(GPIOA, GPIO_Pin_4)

/*Befehle fuer das Display. Siehe Manual*/
#define START_INSTRUC 0x1F //Start Byte: Anweisung
#define START_WRITE 0x5F //Start Byte: Schreibe
Display

#define EXTENSION_REGISTER_OFF 0x30
#define INIT_ENTRY_MD_SET 0x06
#define EXTENSION_REGISTER_ON 0x36
#define INIT_4_LINES_SET 0x09
#define SEGRAM_ADR_0 0x40
#define EMPTY_CHARACTER 0x00
#define DISPLAY_ON 0x0C
#define CLEAR_DISPLAY 0x01

/*Display Buffer Einstellungen*/
#define DISPLAY_BUFFER_SIZE 30//Buffer Groesse
#define STRING_SIZE 20//Buffer Datenlaenge
/*****
 * Prototyp Funktionen
 *****/
/*Initialisierung Display*/
void init_display_SPI1(void);
void init_display(void);
void Timer5_Init(void);
void Timer3_Init(void);

/*Senden an das Display*/
void Write_Display(unsigned char data, uint16_t mode);

```

```

void display_puts(int y, int x, char *data);
void display_putc(int y, int x, uint8_t data);
void display_puts_frame(uint8_t y, uint8_t x, uint32_t value, char
    *data, uint8_t max_digits);
void display_puts_frame_s(uint8_t y, uint8_t x, uint32_t value,
    char *data, uint8_t max_digits);
void display_put_ASCII_Current(uint8_t y, uint8_t x, unsigned int
    Wert);
void Write_Display_CG(unsigned char addr, char *zeichen);
/*sonstige Funktionen*/
void SPI1_send(unsigned char data);
void User_symbol(char *zeichen);
int convert_addr(int y, int x);
void ItoA_point(uint16_t u, char* Buffer);
void blink_cursor(char *data, uint8_t y, uint8_t x);
/*****
Variablen
*****/
char databuffer[DISPLAY_BUFFER_SIZE][STRING_SIZE]; //Datenbuffer
    fuer SPI Kommunikation zum Display
uint8_t old_x; //Cursor x-Koordinate Zwischenspeicher
uint8_t old_y; //Cursor y-Koordinate Zwischenspeicher
#endif

```

## C.4. various.h

```

/*****
Firma: DESY Hamburg
Autor: Joshua Supra
Projekt: ZMX-Handsteuerung Serie 3
Datei: various.h
Letzte Aenderung: 30.08.2018
Kurzbeschreibung: Diverse Funktionen
(c) Copyright 2018 DESY
*****/
#ifndef VARIOUS_H_
#define VARIOUS_H_
/*****
Prototyp Funktionen
*****/
/*UART5 für Debug mit PC*/
void uart5_putc(unsigned char c);
void uart5_puts(const char *s);

```

```

void UART5_Init(void);
void gpio_UART5_Init(void);
void debug(char* strn, int value); //debug mit Putty

/*Blink LEDs, Startup*/
void Timer2_Init(void);

/*Wandlung */
char ItoA_unsigned(uint32_t u, char* Buffer);
char ItoA_signed(int32_t u, char* Buffer);
char ASCII_Spiegeln(char* Buffer, int i);
char HtoA(char HEX_Wert);

int32_t Grenzwert(int32_t Wert, int32_t min, int32_t max);
#endif

```

## C.5. spi\_fpga.h

```

/*****
Firma: DESY Hamburg
Autor: Joshua Supra
Projekt: ZMX-Handsteuerung Serie 3
Datei: spi_fpga.h
Letzte Aenderung: 30.08.2018
Kurzbeschreibung: Initialisierung der Kommunikation mit dem FPGA
    über SPI,
Funktionen zum Senden und Empfangen von Daten
(c) Copyright 2018 DESY
*****/
#ifndef COM_FPGA_H_
#define COM_FPGA_H_

#define DDS_K 42.94967296 //DDS Faktor

#define CS_FPGA_LOW GPIO_ResetBits(GPIOB, GPIO_Pin_12)
#define CS_FPGA_HIGH GPIO_SetBits(GPIOB, GPIO_Pin_12)

/*Zugriffsmodi*/
#define R 0x0
#define W 0x1

/*Registeradressen*/
#define FPGA_ENCODER_REG 0x1

```

```

#define    FPGA_STEP_MODE_REG    0x2
#define    FPGA_DIR_STEP_REG    0x3
#define    FPGA_DDS_REG    0x4
#define    FPGA_STEP_CTR_REG    0x5

/*Endlageneinstellungen*/
#define    FPGA_LIMIT_LOW    0x1
#define    FPGA_LIMIT_HIGH    0x2
#define    FPGA_LIMIT_DIS    0x3
#define    FPGA_LIMITS_RESET    0x0

/*Laufriichtung*/
#define    FPGA_RUN_CW    0x80000000
#define    FPGA_RUN_CCW    0x00000001

/*Laufmodi*/
#define    FPGA_MODE_RES    0x0
#define    FPGA_MODE_CONT    0x1
#define    FPGA_MODE_STEP    0x2
/*****
 * Prototyp Funktionen
 *****/
void init_fpga_SPI2(void);
void Timer4_Init(void);
uint8_t SPI2_send(unsigned char data);
int32_t send_FPGA(uint8_t rw, uint8_t address ,uint32_t data);
uint32_t calc_DDS_count(uint32_t f);
#endif

```

## C.6. I2C.h

```

/*****
Firma: DESY Hamburg
Autor: Joshua Supra
Projekt: ZMX-Handsteuerung Serie 3
Datei: I2C.h
Letzte Aenderung: 30.08.2018
Kurzbeschreibung: Initialisierung fuer das digitale Potentiometer
zum Einstellen
des Kontrasts vom Display
(c) Copyright 2018 DESY
 *****/
#ifndef I2C_H_

```

```

#define I2C_H_
/*****
Prototyp Funktionen
 *****/
void init_I2C(void);
void Set_Display_contrast(uint8_t wert);
void I2C_Write(uint8_t data);

#endif

```

## C.7. gpio.h

```

/*****
Firma: DESY Hamburg
Autor: Joshua Supra
Projekt: ZMX-Handsteuerung Serie 3
Datei: gpio.h
Letzte Aenderung: 30.08.2018
Kurzbeschreibung: Initialisierung der GPIOs für Taster und LEDs
(c) Copyright 2018 DESY
 *****/
#ifndef DISPLAY_H_
#define DISPLAY_H_

/----- Button define -----/
#define    BUT_MENU    GPIO_ReadInputDataBit(GPIOD,
        GPIO_Pin_8)
#define    BUT_P_RESET    GPIO_ReadInputDataBit(GPIOD,
        GPIO_Pin_9)
#define    BUT_ENTREGEN    GPIO_ReadInputDataBit(GPIOD,
        GPIO_Pin_10)
#define    BUT_CW    GPIO_ReadInputDataBit(GPIOD,
        GPIO_Pin_11)
#define    BUT_CCW    GPIO_ReadInputDataBit(GPIOD,
        GPIO_Pin_12)
#define    BUT_STOP    GPIO_ReadInputDataBit(GPIOD,
        GPIO_Pin_13)
#define    BUT_RES1    GPIO_ReadInputDataBit(GPIOD,
        GPIO_Pin_14)

#define    BUT_ENC1    GPIO_ReadInputDataBit(GPIOC,
        GPIO_Pin_5)

```

```

#define BUT_ENC2          GPIO_ReadInputDataBit(GPIOE,
GPIO_Pin_12)

/*----- LED define -----*/
#define LED_CW_OFF()      GPIO_ResetBits(GPIOA, GPIO_Pin_8
)
#define LED_CW_ON()       GPIO_SetBits(GPIOA, GPIO_Pin_8)
#define LED_CCW_OFF()     GPIO_ResetBits(GPIOA,
GPIO_Pin_10)
#define LED_CCW_ON()      GPIO_SetBits(GPIOA, GPIO_Pin_10)
#define LED_ZMX_R_ON()    GPIO_SetBits(GPIOC, GPIO_Pin_8)
#define LED_ZMX_R_OFF()   GPIO_ResetBits(GPIOC, GPIO_Pin_8
)
#define LED_ZMX_G_ON()    GPIO_SetBits(GPIOC, GPIO_Pin_9)
#define LED_ZMX_G_OFF()   GPIO_ResetBits(GPIOC, GPIO_Pin_9
)

/*****
Prototyp Funktionen
*****/
void init_GPIOs(void);

#endif

```

## C.8. ZMX.h

```

/*****
Firma: DESY Hamburg
Autor: Joshua Supra
Projekt: ZMX-Handsteuerung Serie 3
Datei: ZMX.h
Letzte Aenderung: 30.08.2018
Kurzbeschreibung: Initialisierung der Kommunikation mit der ZMX-
Endstufe über
UART, Funktionen zum Senden und Empfangen von Daten
(c) Copyright 2018 DESY
*****/
#ifndef _ZMX_H_
#define _ZMX_H_

#define ZMX_MAX_DATA 97

/*****
Prototyp Funktionen
*****/

```

```

void init_uart_ZMX(void);
void send_ZMX(char *command, uint16_t value);
void uart4_putc(unsigned char data);
void uart4_puts(char *data);
void ZMX_get_address(void);
/*****
Variablen
*****/
uint8_t ZMX_Adresse_L; //Low Byte ZMX Adresse
uint8_t ZMX_Adresse_H; //High Byte ZMX Adresse

char ZMX_Daten_Empfangen[20]; // Empfangsbuffer
volatile uint8_t ZMX_Datensatz_Empfangen; //Flag
volatile uint8_t ZMX_Daten_gesendet; //Flag

#endif

```

## D. Quellcode der Software des Mikrocontrollers: Source Dateien

Der Anhang C enthält die Source Dateien der Software des Mikrocontrollers. Am Anfang jeder Datei befindet sich eine Kurzbeschreibung, die einen Überblick über den Inhalt bietet.

### D.1. main.c

```

/*****
 * Firma: DESY Hamburg
 * Autor: Joshua Supra
 * Projekt: ZMX-Handsteuerung Serie 3
 * Datei: main.c
 * Letzte Aenderung: 30.08.2018
 * Kurzbeschreibung: Hauptprogramm: Auswertung der Eingabeelemente
   , Ansteuerung
 *      LEDs, Visualisierung der Parameter im Display,
   Parametrierung der
 *      ZMX-Endstufe und Parametrierung des FPGAs.
 * (c) Copyright 2018 DESY
 *****/
#include "stm32f4xx_conf.h"
#include "main.h"
#include "encoder.h"
#include "various.h"
#include "I2C.h"
#include "ea_dip203B.h"
#include "spi_fpga.h"
#include "gpio.h"
#include "ZMX.h"
#include "eeprom.h"
/*****
 * EEPROM Arrays
 *****/

```

```

/*Adress-Array, virtuelle EEPROM Adressen*/
uint16_t eeprom_addr[NB_OF_VAR] = {0x0000, 0x0001, 0x0002, 0x0003,
    0x0004, 0x0005};
/*Daten-Array zum lesen und schreiben in das EEPROM*/
uint16_t eeprom_data[NB_OF_VAR] = {0};

int main(void)
{
/*****
 * Initialisierung Peripherie und Mikrocontroller
 *****/
    SystemInit(); //CPU Clock, PLLs etc.
    UART5_Init();
    gpio_UART5_Init();
    init_I2C(); //Kommunikation Potentiometer f. Display Kontrast
    Set_Display_contrast(14); //Lege Display
    init_GPIO_encoder(); //GPIOs für die Drehencoder
    init_menu_encoder(); // Menü Drehencoder
    init_adjust_encoder(); // Frequenz Drehencoder
    init_display_SPI1(); //SPI Display
    init_uart_ZMX(); //UART ZMX-Endstufe
    init_GPIOs(); // GPIOs (Taster, LEDs)
    init_fpga_SPI2(); //SPI FPGA
    Timer3_Init(); //Interrupt zum senden des Buffers an das
        Display
    Timer6_Init(); //Init. Timer 6: Auswertung Drehencoder
    FLASH_Unlock(); //Flash zugriff
    EE_Init(); //EEPROM im Flash speicher
/*****
 * Variablen und Flags
 *****/
    /*Taster Auswertung*/
    uint8_t button_flag=0; //Taster betätigt flag
    uint8_t button_cw_flag=0; //Taster cw betätigt flag
    uint8_t button_ccw_flag= 0; //Taster ccw betätigt flag

    /*Stop betätigt*/
    uint8_t fpga_stop=0;
    uint8_t fpga_stop_old=0;
    /*Position Reset betätigt*/
    uint8_t fpga_pos_reset=0;
    uint8_t fpga_pos_reset_old=0;

    /*Last Pos drive betätigt*/

```

```

uint8_t fpga_last_pos_drive=0;
uint8_t fpga_last_pos_drive_old=0;
uint8_t fpga_last_pos_drive_flag=0;

/*Drehencoder Speed Taster betätigt*/
uint8_t enc2_button=0;
uint8_t enc2_button_old=0;

/*Zustand Endlage alt, nicht ausgelöst*/
uint8_t cw_limit_old=0;
uint8_t ccw_limit_old=0;

/*Autodrive und single Step Schritte/Faktor*/
uint8_t fpga_single_step_factor_old=0;
uint16_t fpga_autodrive_steps_old=0;

uint8_t fpga_steps_left_old=0;//Schritte im Step Register flag

uint8_t eeprom_checksum=0;//Checksum für EEPROM
/*****
* Initial-Werte für globale Variablen
*****/
/*Menü*/
menu_state= 0;//Menü ist deaktiviert
menu_state_old=0;
menu_select=0;//Kein Parameter ausgewählt
menu_print_select=0;//Kein Parameter aktiv

/*Update Flags, Änderung der Anzeige im Display wenn update_xx
==1 */
update_Irun=0;//Laufstrom
update_Istop=0;//Stoppstrom
update_res=0;//Schrittauflösung
update_cw=0;//Endlage CW
update_ccw=0;//Endlage CCW
update_enc_speed=0;//Impulsfrequenz
update_single_step=0;//Single Step Faktor
update_autodrive=0;//Autodrive Faktor

/*Fahre ccw bis Endlage deaktiviert*/
fpga_ccw_drive=0;
fpga_ccw_drive_old=0;

```

```

/*Fahre cw bis Endlage deaktiviert*/
fpga_cw_drive=0;
fpga_cw_drive_old=0;

/*Autodrive cw/ccw deaktiviert*/
fpga_cw_autodrive=0;
fpga_ccw_autodrive=0;

/*Fahre zu letzter Position deaktiviert*/
fpga_cw_last_pos_drive=0;
fpga_ccw_last_pos_drive=0;

/*EEPROM Speicher Flags deaktiviert*/
eeprom_save=0;
eeprom_save_ctr=121;

/*FPGA default werde beim Start*/
zmx_reset = 0;//kein Reset
zmx_entregen=1;//Endstufe deaktiviert
zmx_entregen_old = 1;//Endstufe deaktiviert
fpga_limit_cw_old=0;// Endlage CW low aktiv
fpga_limit_ccw_old=0;//Endlage CCW low aktiv
fpga_ctrl_mode =FPGA_MODE_RES;// Impulserzeugung deaktiviert
fpga_single_step_factor = 1;//Single Step Faktor 1x
fpga_pos_1=0;//Letzte Position =0
fpga_pos_2=0;//Letzte Position =0
fpga_steps_left=0;//Schritte im Step Register flag

/*Initialisierung Drehencoder default Werte*/
encoder_menu_value=0;
encoder_menu_value_old=1;
encoder_speed_value=100;//100Hz Impulsfrequenz
encoder_speed_value_old=0;

/*Zeige Encoder im Display an*/
fpga_steps_enc=0;
fpga_steps_enc_old=0;

/*Rücksetzte single Step und Autodrive*/
fpga_single_step_ctr=0;
fpga_autodrive_steps=0;
fpga_single_step_cw=0;
fpga_single_step_ccw=0;

```

```

fpga_update = 1; //Update FPGA

/*Vorherige Cursorposition im Display*/
old_x = 6;
old_y = 1;

/*Endstufenparameter*/
Irun_old=1; //Laufstrom 0,1A
Istop_old=0; //Stoppstrom 0,0A
res_old=1; //Schrittauflösung 1/2
/*****
* Lade gespeicherte Parameter aus dem EEPROM
*****/
/*Lade Werte aus EEPROM und schreibe in Daten Array*/
for(uint8_t eeprom_counter=0; eeprom_counter < NB_OF_VAR;
    eeprom_counter++){
    EE_ReadVariable(eeprom_addr[eeprom_counter], &eeprom_data[
        eeprom_counter]);
}
/*XOR alle Werte*/
eeprom_checksum = eeprom_data[0]^eeprom_data[1]^eeprom_data[2]^
    eeprom_data[3]^eeprom_data[4]^eeprom_data[5];
if(eeprom_checksum!= 0){ //Wenn der Speicher nicht leer ist Lade
    Irun = eeprom_data[0]; //Laufstrom
    Istop = eeprom_data[1]; //Stoppstrom
    res = eeprom_data[2]; //Schrittauflösung
    fpga_limit_ccw = eeprom_data[3]; //Endlageneinstellung CCW
    fpga_limit_cw = eeprom_data[4]; //Endlageneinstellung CW
    encoder_speed_value = eeprom_data[5]; //Impulsfrequenz
/*Wenn der Speicher Leer ist Schreibe Default Werte*/
}else{
    Irun = 5; //Laustrom 0,5A
    Istop = 2; //Stoppstrom 0,2A
    res = 0; //Schrittauflösung 1/1
    fpga_limit_ccw = FPGA_LIMIT_LOW; //Endlage CCW low aktiv
    fpga_limit_cw = FPGA_LIMIT_LOW; //Endlage CW low aktiv
    encoder_speed_value = 50; //Impulsfrequenz 50Hz
}

/*Display Transfer*/
display_tx_busy = 0; //Busy Flag
display_tx_data = 1; //????????????
display_tx_data_ctr = 0; //Display Buffer Counter
display_tx_wait = 0; //Wait flag

```

```

button_get_state = 0; //Taster Auswertung Flag
/*Aktiviere LEDs*/
LED_CW_ON();
LED_CCW_ON();
LED_ZMX_G_ON();
LED_ZMX_R_OFF();

init_display(); //Initiealiere Display

Timer2_Init(); //Init. Timer 2: 250us; LEDs, EEPROM save
ZMX_Adresse_L=0x30; //ZMX-Low Startadresse
ZMX_Adresse_H=0x30; //ZMX-High Startadresse
ZMX_get_address(); //Endstufenadresse herausfinden
startup_ctr=0;
while(startup_ctr!=4); //warte 2 Sekunden bis Endstufe bereit
/*Schreibe Parameternamen in Display Buffer*/
display_puts(1,1, "IRun");
display_puts(2,1, "IStop");
display_puts(3,1, "Res");
display_puts(1,12, "Encoder");
display_puts(3,12, "Speed");

Timer5_Init(); //Init. Timer 5: Auswertung Eingaben und
    Schreiben in den Display Buffer
Timer4_Init(); //Init. Timer 4: FPGA Auswertung Endlagen, Step/
    Encoder Register, Sende neuen Zustand

/*****
* Hauptschleife: Auswertung der Taster, Senden von Parameter an
* die ZMX-Endstufe, Ansteuerung der LEDs
*****/
while(1)
{
/*****
* Auswertung der Taster, Interrupt setzt alle 20ms Flag zum
* auswerten der Taster
*****/
if(button_get_state==1){ //Wenn Flag aktiv
    button_get_state=0; //setze Flag zurück.
    if(!button_flag){ //kein Taster gedrückt
        /*Taster Drehencoder Menü*/
        if(!BUT_ENC1){ //Wenn der Taster betätigt wird,

```



```

/*Auswertung abhängig davon wie die Taster betätigt
sind*/
/*CW wurde Betätigt und wieder losgelassen. CCW wurde
nicht betätigt*/
if(button_cw_flag == 1 && button_ccw_flag == 0 &&
    BUT_CW){
    fpga_cw_drive=1;//Fahre in Richtung CW
}
/*CCW wurde Betätigt und wieder losgelassen. CW wurde
nicht betätigt*/
if(button_cw_flag == 0 && button_ccw_flag == 1 &&
    BUT_CCW){
    fpga_ccw_drive=1;//Fahre in Richtung CCW
}
/*Wurden beide Taster gleichzeitig betätigt*/
if(button_cw_flag == 1 && button_ccw_flag == 1 &&
    fpga_last_pos_drive_flag == 0){
    fpga_last_pos_drive_flag = 1;//Setzte flag
    fpga_last_pos_drive=1;//Fahre die letzte position
    an
}
}
/*Wenn kein Taster betätigt sind, werden die flags zurück
gesetzt.*/
if(BUT_MENU && BUT_P_RESET && BUT_ENTREGEN && BUT_CW &&
    BUT_CCW && BUT_STOP && BUT_RES1 && BUT_ENC1 && BUT_ENC2
    && (button_flag||button_cw_flag==1||button_ccw_flag==1
    )){//Reset flag if no Button is pressed
    button_flag = 0;//Taster betätigt Flag
    button_cw_flag = 0;//Taster cw betätigt Flag
    button_ccw_flag = 0;//Taster ccw betätigt Flag
    fpga_last_pos_drive_flag = 0;//Fahre letzte Position
    an flag

//Reset ruecksetzen, damit nicht dauerhaft ausgeführt
wird.
fpga_pos_reset = 0;
fpga_stop = 0;
}
}
/*****
* Auswertung der Eingaben durch die Taster, Variablen können ggf.
* auch durch andere Mechanismen gesetzt werden (z.B. eine
Mögliche

```

```

* zukünftige EtherCAT Anbindung.
*****/
/*Reset Encoder/Steps*/
if(fpga_pos_reset!=fpga_pos_reset_old){//Ändert sich der
Zustand
    fpga_pos_reset_old=fpga_pos_reset;//wird der neue Zustand
    gespeichert
if(fpga_pos_reset_old==1){//Wird der Reset gesetzt
    if(fpga_steps_enc_old==0){//und die Darstellung
    Encoder ist gesetzt
        send_FPGA(W, FPGA_ENCODER_REG, 0);//wird das
        Encoder Register im FPGA auf 0 gesetzt.
    } else{//Ist die Darstellung Steps aktiv
        send_FPGA(W, FPGA_STEP_CTR_REG, 0);//wird das
        Schrittregister im FPGA auf 0 gesetzt.
    }
}
}
}
/*Stoppen der Impulserzeugung*/
if(fpga_stop!=fpga_stop_old){//Ändert sich der Zustand
    fpga_stop_old=fpga_stop;//wird der neue Zustand übernommen
if(fpga_stop_old==1){//Wird Stop gesetzt,
    fpga_ctrl_mode = FPGA_MODE_RES;//wird das
    Kontrollregister im FPGA resetet
    fpga_cw_drive=0;//CW drive beendet
    fpga_ccw_drive=0;//CCW drive beendet
    fpga_last_pos_drive=0;//das Anfahren der letzten
    Position beendet
    fpga_update=1;//und das Kontrollregister refresht
}
}
}
/*Änderung des ZMX Zustands aktiviert/deaktiviert und LED
anzeige*/
if(zmx_entregen!=zmx_entregen_old){//Ändert sich der Zustand
    zmx_entregen_old=zmx_entregen;//wird der neue Zustand
    übernommen
    fpga_update=1;//und an den FPGA übertragen.
if(zmx_entregen_old==1){//Ist der Zustand deaktiviert
    fpga_ctrl_mode = FPGA_MODE_RES;//erhält das
    Kontrollregister einen Reset Befehl
    LED_ZMX_G_ON();//Die Led für den Status der Endstufe
    LED_ZMX_R_OFF();//wird grün
    fpga_update=1;//der Reset befehl wird mit der nächsten
    Übertragung zum FPGA ausgeführt.
}
}
}

```

```

    fpga_cw_drive=0;//CW drive
    fpga_ccw_drive=0;// und CCW drive werden unterbrochen.
}else{//ist die ZMX-Endstufe aktiv
    LED_ZMX_G_OFF();//wird die Led für den Status der
        Endstufe
    LED_ZMX_R_ON();//rot
}
}
/*Schritte im Step Register im FPGA zum Rücksetzen von
Autodrive und Last Pos. drive*/
if(fpga_steps_left!= fpga_steps_left_old){//Ändert sich der
Zustand
    fpga_steps_left_old=fpga_steps_left;//wird der neue
        Zustand übernommen
    if((fpga_cw_drive==1 ||fpga_ccw_drive ==1 ||
        fpga_last_pos_drive==1)&& fpga_steps_left_old==0){//
        Autodrive oder Last pos drive aktiv und keine Schritte
        mehr übrig
        fpga_cw_drive=0;//wird Autodrive cw,
        fpga_ccw_drive=0;//Autodrive cc
        fpga_last_pos_drive=0;//und Last Pos. Drive zurück
            gesetzt.
    }
}
/*Einstellung Laufmodi. Autodrive oder kontinuierlich bis
Endlage CW*/
if(fpga_cw_drive_old!=fpga_cw_drive && zmx_entregen_old == 0){
//wird der Befehl CW fahren gesetzt oder rückgesetzt und
die Endstufe ist aktiv,
    fpga_cw_drive_old=fpga_cw_drive;//wird der neue Zustand
        übernommen.
    if(fpga_cw_drive_old==1){//Soll in Richtung CW gefahren
        werden,
        fpga_cw_drive=1;//wird die CW drive Flag gesetzt
        fpga_ccw_drive=0;//und die CCW Flag zurück gesetzt
        if(fpga_autodrive_steps==0){//Wenn Autodrive steps 0
            ist
            send_FPGA(W, FPGA_DIR_STEP_REG, FPGA_RUN_CW);//
                wird die Drehrichtung CW gesetzt
            fpga_ctrl_mode = FPGA_MODE_CONT;// und der
                kontinuierliche Modus aktiviert
        }else{//Ist eine Anzahl an Schritte vorgegeben
            fpga_ccw_autodrive=1;//wird Autodrive Flag
                Richtung CCW gesetzt
            fpga_ctrl_mode=FPGA_MODE_STEP;//und das Step Modus
                im FPGA aktiviert.
        }
        fpga_update=1;//Refresh FPGA
        update_speed=1;//Im Display werden die aktuelle
            Impulsfrequenz
        update_enc_speed=1;
    }else if(fpga_ccw_drive_old==0){//Soll nicht mehr in die
        Richtung CCW gefahren werden

```

```

        fpga_ctrl_mode=FPGA_MODE_STEP;//und das Step Modus
            im FPGA aktiviert.
    }
    fpga_update=1;//Refresh FPGA
    update_speed=1;//Im Display werden die aktuelle
        Impulsfrequenz
    update_enc_speed=1;// und der Parametername angezeigt
}else if(fpga_cw_drive_old==0){//Soll nicht mehr in die
Richtung CW gefahren werden
    if(menu_state == 1){//und das Menü ist aktiv
        menu_state_old = 0;//wird das Menü overlay im
            Display angezeigt.
    }
}
}
}
/*Einstellung Laufmodi. Autodrive oder kontinuierlich bis
Endlage CCW*/
if(fpga_ccw_drive_old!=fpga_ccw_drive && zmx_entregen_old ==
0){//wird der Befehl CCW fahren gesetzt oder rückgesetzt
und die Endstufe ist aktiv,
    fpga_ccw_drive_old=fpga_ccw_drive;//wird der neue Zustand
        übernommen.
    if(fpga_ccw_drive_old==1){//Soll in Richtung CCW gefahren
        werden,
        fpga_ccw_drive=1;//wird die CCW drive Flag gesetzt
        fpga_cw_drive=0;//und die CW Flag zurück gesetzt
        if(fpga_autodrive_steps==0){//Wenn Autodrive steps 0
            ist
            send_FPGA(W, FPGA_DIR_STEP_REG, FPGA_RUN_CCW);//
                wird die Drehrichtung CCW gesetzt
            fpga_ctrl_mode = FPGA_MODE_CONT;// und der
                kontinuierliche Modus aktiviert
        }else{//Ist eine Anzahl an Schritte vorgegeben
            fpga_ccw_autodrive=1;//wird Autodrive Flag
                Richtung CCW gesetzt
            fpga_ctrl_mode=FPGA_MODE_STEP;//und das Step Modus
                im FPGA aktiviert.
        }
        fpga_update=1;//Refresh FPGA
        update_speed=1;//Im Display werden die aktuelle
            Impulsfrequenz
        update_enc_speed=1;
    }else if(fpga_ccw_drive_old==0){//Soll nicht mehr in die
        Richtung CCW gefahren werden

```

```

        if(menu_state == 1){//und das Menü ist aktiv
            menu_state_old = 0;//wird das Menü overlay im
                Display angezeigt.
        }
    }
}
/*Hin und her fahren zwischen den letzten beiden Positionen*/
if(fpga_last_pos_drive!=fpga_last_pos_drive_old){//Wird Last
pos. Drive aktiviert oder deaktiviert
    fpga_last_pos_drive_old=fpga_last_pos_drive;//wird der
        neue Zustand übernommen.
    if(fpga_last_pos_drive_old==1){//Wenn die letzte Position
        angefahren werden soll
        if(fpga_pos_1<fpga_pos_2){//und die neue Position
            kleiner als die alte Position ist,
                fpga_cw_last_pos_drive=1;//soll in Richtung CW
                    gefahren werden.
                fpga_ctrl_mode=FPGA_MODE_STEP;//Step modus wird
                    gesetzt
            }
        if(fpga_pos_1>fpga_pos_2){//Wenn die neue Position
            größer ist als die alte Position
                fpga_ccw_last_pos_drive=1;//soll in Richtung CCW
                    gefahren werden.
                fpga_ctrl_mode=FPGA_MODE_STEP;//Step modus wird
                    gesetzt
            }
        fpga_update=1;//update FPGA
        update_speed=1;//Update Frequenzanzeige
        update_enc_speed=1;//Update Parameteranzeige
    }
}
}
/*****
* Reaktion auf Änderung von Endstufenparametern: Auswertung und
* Anzeige
*****/
/*Änderung Laufstrom*/
if(Irun!=Irun_old){//Wird der Laufstrom geändert
    Irun_old=Irun;//wird der neue Wert übernommen.
    send_ZMX("R", Irun_old*10);//Sende den neuen Wert an die
        ZMX-Endstufe
    if(Irun_old<Istop_old){//Ist der Laufstrom kleiner als der
        Eingestellte Stoppstrom

```

```

        Istop=Irun_old;//wird der Stoppstrom = Laufstrom
            gesetzt.
    }
    if(Istop_old==-1){//Ist der Stoppstrom auf Auto
        eingestellt,
            send_ZMX("S", (Irun_old>>1)*10);//berechne den Wert
                und sende den neuen Wert an die ZMX-Endstufe
    }
    update_Irun=1;//update Display Laufstrom
}
/*Änderung Stoppstrom*/
if(Istop!=Istop_old){//Wird der Stoppstrom geändert
    Istop_old=Istop;//wird der neue Wert übernommen.
    update_Istop=1;//update Display Stoppstrom
    send_ZMX("S", Istop_old*10);//Sende den neuen Wert an die
        ZMX-Endstufe
}
/*Änderung Schrittauflösung*/
if(res!=res_old){//Wird die Schrittauflösung geändert
    res_old=res;//wird der neue Wert übernommen.
    send_ZMX("M", res_old);//Sende den neuen Wert an die ZMX-
        Endstufe
    //Für den Displaycursor muss die Position angepasst werden
        , da der Cursor immer vor dem Wert stehen soll.
    if(res_old ==2 || res_old > 10){//Notwendig, da die Werte
        unterschiedlich lange Strings sind
            old_x=5;
        }else if(res_old > 5){
            old_x=6;
        }else{
            old_x=7;
        }
        update_res=1;//update Display Schrittauflösung
    }
}
/*CW Endlage Einstellung*/
if(fpga_limit_cw!=fpga_limit_cw_old){//Änderung der
    Endlageneinstellung CW
        fpga_limit_cw_old=fpga_limit_cw;//wird der neue Zustand
            übernommen.
        update_cw=1;//update Display CW
        fpga_update=1;//update FPGA
    }
}
/*CCW Endlage Einstellung*/

```

```

if(fpga_limit_ccw!=fpga_limit_ccw_old){//Änderung der
  Endlageneinstellung CCW
  fpga_limit_ccw_old=fpga_limit_ccw;//wird der neue Zustand
  übernommen.
  update_ccw=1;//update Display CCW
  fpga_update=1;//update FPGA
}
/*Zustand Endlage CW*/
if(CW_Limit!=cw_limit_old){//Änderung Zustand der Endlage CW
  cw_limit_old=CW_Limit;//wird der neue Zustand übernommen.
  update_cw=1;//update Display CW
}
/*Zustand Endlage CCW*/
if(CCW_Limit!=ccw_limit_old){//Änderung Zustand der Endlage
  CCW
  ccw_limit_old=CCW_Limit;//wird der neue Zustand übernommen
  .
  update_ccw=1;//update Display CCW
}
/*Single Step Faktor*/
if(fpga_single_step_factor!=fpga_single_step_factor_old){//
  Änderung am Single Step Faktor?
  fpga_single_step_factor_old=fpga_single_step_factor;//wird
  der neue Zustand übernommen.
  update_single_step=1;//update Display single Step
}
/*Autodrive Faktor*/
if(fpga_autodrive_steps!=fpga_autodrive_steps_old){//Änderung
  an den Autodrive Schritten
  fpga_autodrive_steps_old=fpga_autodrive_steps;//wird der
  neue Zustand übernommen.
  update_autodrive=1;//Update Display Autodrive Schritte
}
//Wenn die Endstufe nicht aktiv ist, darf der Menüencoder
  keine Änderung herovorrufen.
if(zmx_entregen==1 && menu_state==0){
  TIM8->CNT=0;
}
/*****
 * Auswertung des Zustands der Endlangen CW und CCW (FPGA) mit LED
  Anzeige
 *****/
/*CW Endlage*/

```

```

switch(fpga_limit_cw){//Abhängig von der Einstellung der Endlage
  , wird auf den Zustand reagiert
  /*Endlage CW active high*/
  case FPGA_LIMIT_HIGH: if(CW_Limit){//Hat die Endlage
    ausgelöst
    fpga_cw_drive = 0;//wird die
    Impulserzeugung gestoppt.
    /*LED rot: 0,5s aus 1,5s an*/
    if(LED_ctr_high < 2){
      LED_CW_OFF();
    }else if(LED_ctr_high > 0 &&
      LED_ctr_high < 8){
      LED_CW_ON();
    }else{
      LED_ctr_high = 0;
    }
  }else{//Im Normalzustand
    /**LED rot: 1,5s aus 0,5s an
    */
    if(LED_ctr_high < 2){
      LED_CW_ON();
    }else if(LED_ctr_high > 0 &&
      LED_ctr_high < 8){
      LED_CW_OFF();
    }else{
      LED_ctr_high = 0;
    }
  }
}
break;
/*Endlage CW active low*/
case FPGA_LIMIT_LOW: if(CW_Limit){//Hat die Endlage
  ausgelöst
  fpga_cw_drive = 0;//wird die
  Impulserzeugung gestoppt.
  LED_CW_ON();//LED leuchtet
  dauerhaft rot
} else{//Im normalzustand
  LED_CW_OFF();//Dauerhaft aus
}
break;
/*Endlage CW deaktivert: LED 1s rot 1s aus*/
case FPGA_LIMIT_DIS: if(LED_ctr_dis < 6){
  LED_CW_ON();
} else if(LED_ctr_dis > 4 &&
  LED_ctr_dis < 12){
  LED_CW_OFF();
}

```

```

    }else{
        LED_ctr_dis = 0;
    }break;
}
/*CCW Endlage*/
switch(fpga_limit_ccw){//Abhängig von der Einstellung der
Endlage, wird auf den Zustand reagiert
/*Endlage CCW active high*/
case FPGA_LIMIT_HIGH: if(CCW_Limit){//Hat die Endlage
ausgelöst

        fpga_ccw_drive= 0;//wird die
        Impulserzeugung gestoppt.
        /*LED rot: 0,5s aus 1,5s an*/
        if(LED_ctr_high < 2){
            LED_CCW_OFF();
        }else if(LED_ctr_high > 0 &&
        LED_ctr_high < 8){
            LED_CCW_ON();
        }else{
            LED_ctr_high = 0;
        }
    }else{//Im Normalzustand
        /*LED rot: 1,5s aus 0,5s an
        */
        if(LED_ctr_high < 2){
            LED_CCW_ON();
        }else if(LED_ctr_high > 0 &&
        LED_ctr_high < 8){
            LED_CCW_OFF();
        }else{
            LED_ctr_high = 0;
        }
    } break;
/*Endlage CCW active low*/
case FPGA_LIMIT_LOW: if(CCW_Limit){//Hat die Endlage
ausgelöst

        fpga_ccw_drive = 0;//wird die
        Impulserzeugung gestoppt.
        LED_CCW_ON();//LED leuchtet
        dauerhaft rot
    }else{//Im normalzustand
        LED_CCW_OFF();//Dauerhaft aus
    }break;
/*Endlage CCW deaktiviert: LED 1s rot 1s aus*/

```

```

case FPGA_LIMIT_DIS: if(LED_ctr_dis < 6){
        LED_CCW_ON();
    }else if(LED_ctr_dis > 4 &&
        LED_ctr_dis < 12){
        LED_CCW_OFF();
    }else{
        LED_ctr_dis = 0;
    }break;
}
}
}
/*****
* TIMER 5 Interrupt-Handler 20ms Schreibe Daten in den Display
Buffer
*****/
void TIM5_IRQHandler(){
    if(TIM_GetITStatus(TIM5, TIM_IT_Update)){
        TIM_ClearITPendingBit(TIM5, TIM_IT_Update);//clear
        interrupt flag
        button_get_state = 1;//Taster auswerte Flag
        /*
        *****/
        * Anzeige der Endstufenparameter im Display
        *****/
        /*
        /*Encoder oder Schritte*/
        if(menu_state==0 || fpga_cw_drive || fpga_ccw_drive){//
        Wenn das Menü nicht aktiv ist, oder der Motor sich
        bewegt
            if(fpga_steps_enc==0){//werden entweder die Encoder
            display_puts_frame_s(2,12,fpga_receive_enc, 0, 9);
        }else{//oder die Schritte angezeigt
            display_puts_frame_s(2,12,fpga_receive_steps, 0,
            9);
        }
    }
}
/*Laufstrom*/
if(update_Irun==1){//Wenn der Laufstrom geändert wurde
    update_Irun=0;
    display_put_ASCII_Current(1,7, Irun_old);//wird der
    neue Wert im Display angezeigt.
}
}

```



```

        case FPGA_LIMIT_LOW:display_putc(4,1, 0x02);
        display_putc(4,2, 0x02);display_putc(4,3, 0
        x03);break;//ccw invertiert
        case FPGA_LIMIT_HIGH: display_putc(4,1, 0x02);
        display_putc(4,2, 0x02);display_putc(4,3, 0
        x03);break;//ccw invertiert
        case FPGA_LIMIT_DIS: display_putc(4,1, 0x06);
        display_putc(4,2, 0x06);display_putc(4,3, 0
        x07);break;//CCW durchgestrichen
    }
}
}
/*Darstellung Parametername Steps oder Encoder*/
if(fpga_steps_enc!= fpga_steps_enc_old){//Wenn die
Darstellung geändert wurde
    fpga_steps_enc_old= fpga_steps_enc;//wird der neue
    Wert übernommen.
    if(fpga_steps_enc_old==0){//und entsprechend
        display_puts(1,12,"Encoder_");//der Parameter "
        Encoder"
    }else if(fpga_steps_enc_old==1){
        display_puts(1,12,"Steps_");//oder der Paramter
        "Steps" dargestellt.
    }
}
}
/*Darstellung aktuelle Impulsfrequenz*/
if(update_speed==1 && menu_state==0 || update_speed==1 &&
(fpga_cw_drive== 1 || fpga_ccw_drive ==1)){
    //Ist das Menü nicht aktiv und eine die
    Geschwindigkeit hat sich geändert, oder ein
    Laufmodus ist aktiv und die Geschw. hat sich
    geändert
    update_speed=0;
    display_puts_frame(4,12,encoder_speed_value_old, "Hz"
    ,9);//wird die aktuelle Frequenz dargestellt
}
}
/*Darstellung single Step Faktor*/
if(update_single_step==1){//Wenn der Single Step Faktor
geändert wurde
    update_single_step=0;
    if(menu_state==1 && encoder_menu_value_old == 6){//das
    Menü aktiv ist und der Cursor an der Position 6
    steht

```

```

        display_puts_frame(4,13, fpga_single_step_factor,
        "x",8);//Wird der Wert um eine Stelle nach
        rechts verschoben dargestellt
    }else{//ansonsten
        display_puts_frame(4,12, fpga_single_step_factor,
        "x",9);//wird der Wert eine Stelle nach link
        verschoben dargestellt.
    }
}
}
/*Darstellung Autodrive Faktor*/
if(update_autodrive==1){//Wenn der Autodrive Faktor
geändert wurde
    update_autodrive=0;
    if(menu_state==1 && encoder_menu_value_old == 7){//das
    Mneü aktiv ist und der Cursor an der Position 7
    steht
        //Wird der Wert um eine Stelle nach rechts
        verschoben dargestellt
        display_putc(2,13, 0x8C);// mit Plus-Minus Zeichen
        display_puts_frame(2,14, fpga_autodrive_steps,
        0,7);
    }else{//Ansonsten
        //Wird der Wert um eine Stelle nach links
        verschoben dargestellt
        display_putc(2,12, 0x8C);//mit Plus-Minus Zeichen
        display_puts_frame(2,13, fpga_autodrive_steps,
        0,8);
    }
}
}
/*
*****
* Menüführung
*****
*/
/*Blinkender Menücursor*/
if(menu_state==1 && menu_select == 0){//Wenn das Menü
aktiv ist und keine Parameter selektiert wurde
    switch (encoder_menu_value_old){//wird die Position
    des Cursors druch den Menüencoder festgelegt.
        case 1: blink_cursor(">",1,6);break;//Entsprechend
        des Werts wird der Cursor an der passenden
        case 2: blink_cursor(">",2,6);break;//Position
        dargestellt.

```

```

//Die Position des Cursors vor der
  Schrittauflösung hängt von dem eingestellten
  Wert ab.
case 3: if(res_old ==2 || res_old > 10){
    blink_cursor(">",3,5);
  }else if(res_old > 5){
    blink_cursor(">",3,6);
  }else{
    blink_cursor(">",3,7);
  }break;
case 4: blink_cursor("<",4,4);break;
case 5: blink_cursor("<",4,8);break;
case 6: blink_cursor(">",4,12);update_single_step
=1;break;//Erreicht der Cursor die Pos. vor
single step Faktor
case 7: blink_cursor(">",2,12);update_autodrive=1;
break;//oder Autodrive Faktor, muss der Wert um
eine Stelle nach rechts geschoben werden.
}
}
/*Darstellung Parametername Speed, Encoder und Steps*/
if(menu_state == 0 && menu_state_old == 1 ||
update_enc_speed==1){//Wenn das Menü deaktiviert wird,
oder die Darstellung von Steps/Enc
update_enc_speed=0;//geändert wurde
menu_state_old = menu_state;
display_puts(old_y, old_x, "_");//wird der Menücursor
gelöscht
display_puts(3,12, "Speed_");//Der Parametername
Speed
if(fpga_steps_enc_old==0){//sowie je nach Einstellung
display_puts(1,12,"Encoder_");//der Parametername
Encoder
}else{//oder
display_puts(1,12,"Steps_");//Steps dargestellt
}
}
update_speed=1;//Zuletzt wird die aktuelle
Impulsfrequenz angezeigt.
}
/*Darstellung Parameter Autodrive und Single Step Faktor im
Menü*/
if(menu_state == 1 && menu_state_old == 0){//Wenn das Menü
aktiviert wird

```

```

menu_state_old = menu_state;
display_puts(1,12, "Autodrive");//Werden die
Parametername Autodrive
display_putc(2,12, 0x8C);//plusminus
display_puts_frame(2,13, fpga_autodrive_steps, 0,8);//
mit dem dazugehörigen Wert
display_puts(3,12, "Factor_");//und der Single Step
Faktor
display_puts_frame(4,12, fpga_single_step_factor, "x"
,8);//mit zugehörigem Wert dargestellt.
}
/*Darstellung ausgewählter Parameter*/
if(menu_state==1 && menu_select==1 && menu_print_select
==1){//Wird ein Parameter zur Einstellung ausgewählt
menu_print_select=0;
if(encoder_menu_value_old==4 || encoder_menu_value_old
==5){//wird je nach Position ein ausgefüllter Pfeil
nach links
display_putc(old_y, old_x, 0x11);
}else{//oder
display_putc(old_y, old_x, 0x10);//nach rechts
dargestellt.
}
}
}
}
/*Nachdem alle aktualisierten Werte in den Display Buffer
geschrieben wurden, wird der Buffer zum Übertragen
freigegeben*/
display_tx_data= 1;
}
}
}
}
/*****
* TIMER 4 Interrupt-Handler 20ms lese/schreibe Daten FPGA
*****/
void TIM4_IRQHandler(){
if(TIM_GetITStatus(TIM4, TIM_IT_Update)){
TIM_ClearITPendingBit(TIM4, TIM_IT_Update);//clear
interrupt flag
static uint32_t fpga_ctrl_reg = 0;//Buffer
/* Endlagen aus FPGA auslesen */
fpga_receive_data = send_FPGA(R, FPGA_STEP_MODE_REG, 0);//
Lese entlagen aus FPGA
CW_Limit = (fpga_receive_data >> 16) & 0x1;//und Speicher
sie in den passenden

```

```

CCW_Limit = (fpga_receive_data >> 17) & 0x1;//Variablen ab
.
fpga_steps_left =(fpga_receive_data >> 19) & 0x1;//
  Speicher für noch Schritte übrig Flag
/*Kontroll und Richtungsregister update*/
if(fpga_update==1){//Wenn neue Daten für den FPGA bereit
  liegen
    fpga_update=0;
    send_FPGA(W, FPGA_STEP_MODE_REG, FPGA_MODE_RES);//wird
      zuerst das Kontrollregister zurückgesetzt bevor
      neue Daten gesendet werden.
    fpga_ctrl_reg = zmx_reset;//Schreibe Reset Zustand im
      Buffer
    fpga_ctrl_reg = (fpga_ctrl_reg << 1) |
      zmx_entregen_old;//Schiebe 1 links und schreibe
      Endstufenzustand in Buffer
    fpga_ctrl_reg = (fpga_ctrl_reg << 12) | fpga_limit_cw;
      //Schiebe 12 links und schreibe Endlageneinstellung
      CW in Buffer
    fpga_ctrl_reg = (fpga_ctrl_reg << 4) | fpga_limit_ccw;
      //Schiebe 4 links und schreibe Endlageneinstellung
      CCW in Buffer
    fpga_ctrl_reg = (fpga_ctrl_reg << 8) | fpga_ctrl_mode;
      //Schiebe 8 links und schreibe Laufmodus in Buffer
    send_FPGA(W, FPGA_STEP_MODE_REG, fpga_ctrl_reg);//
      Aktualisiere Kontrollregister in FPGA
    /*Beschreiben des Step/Direction-Register im FPGA*/
    if(fpga_cw_autodrive==1){//Wenn Autodrive in Richtung
      CW
      fpga_cw_autodrive=0;//Rücksetzten der update Flag
      send_FPGA(W, FPGA_DIR_STEP_REG, FPGA_RUN_CW+
        fpga_autodrive_steps);//schreibe Laufrichtung
        CW und Anzahl der Schritte
    }else if(fpga_ccw_autodrive==1){//Wenn Autodrive in
      Richtung CCW
      fpga_ccw_autodrive=0;//Rücksetzten der update Flag
      send_FPGA(W, FPGA_DIR_STEP_REG, FPGA_RUN_CCW+
        fpga_autodrive_steps-1);//schreibe Laufrichtung
        CW und Anzahl der Schritte
    }else if(fpga_ccw_last_pos_drive==1){//Wenn die letzte
      Position in Richtung CCW angefahren werden soll
      fpga_ccw_last_pos_drive=0;//Rücksetzten der update
      Flag

```

```

    send_FPGA(W, FPGA_DIR_STEP_REG, FPGA_RUN_CCW+(
      fpga_pos_1-fpga_pos_2)-1);//schreibe
      Laufrichtung CW und Anzahl der Schritte
  }else if(fpga_cw_last_pos_drive==1){//Wenn die letzte
    Position in Richtung CW angefahren werden soll
    fpga_cw_last_pos_drive=0;//Rücksetzten der update
    Flag
    send_FPGA(W, FPGA_DIR_STEP_REG, FPGA_RUN_CW+(
      fpga_pos_2-fpga_pos_1));//schreibe Laufrichtung
      CW und Anzahl der Schritte
  }else if(fpga_single_step_cw==1){//Wenn Einzelschritt
    in Richtung CW gefahren werden soll
    fpga_single_step_cw=0;//Rücksetzten der update
    Flag
    send_FPGA(W, FPGA_DIR_STEP_REG, FPGA_RUN_CW+(
      fpga_single_step_ctr*fpga_single_step_factor));
      //schreibe Laufrichtung CW und Anzahl der
      Schritte*Faktor
    fpga_single_step_ctr=0;//Rücksetzten des
      Signalstep counter (bei Mehrfachdrehung des
      Drehencoders)
  }else if(fpga_single_step_ccw==1){//Wenn Einzelschritt
    in Richtung CCW gefahren werden soll
    fpga_single_step_ccw=0;//Rücksetzten der update
    Flag
    send_FPGA(W, FPGA_DIR_STEP_REG, FPGA_RUN_CCW+(
      fpga_single_step_ctr*fpga_single_step_factor)
      -1);//schreibe Laufrichtung CW und Anzahl der
      Schritte*Faktor
    fpga_single_step_ctr=0;//Rücksetzten des
      Signalstep counter (bei Mehrfachdrehung des
      Drehencoders)
  }
}
/*Auslesen des Encoder und Schrittzählers*/
fpga_receive_enc= send_FPGA(R, FPGA_ENCODER_REG, 0);//Lese
  gezählte Encoder und Speicher in Variable
fpga_receive_steps= send_FPGA(R, FPGA_STEP_CTR_REG, 0);//
  Lese gefahrene Schritte und Speicher in Variable
/*Speichern der Positionen für das Anfahren der letzten
  Position*/
if(fpga_pos_1!=fpga_receive_steps && fpga_ccw_drive==0 &&
  fpga_cw_drive==0 && fpga_steps_left==0){//Ist kein

```

```

    Laufmodus aktiv und die aktuelle Position ist ungleich
    der letzten gespeicherten
    fpga_pos_2=fpga_pos_1;//wird die startposition
    gespeichert
    fpga_pos_1=fpga_receive_steps;//und die aktuelle
    Position übernommen.
}
}
}
/*****
 * TIMER 3 Interrupt-Handler lus, Sende Daten über SPI an das
 * Display
 *****/
void TIM3_IRQHandler() {
    if(TIM_GetITStatus(TIM3, TIM_IT_Update)){
        TIM_ClearITPendingBit(TIM3, TIM_IT_Update);//clear
        interrupt flag
        /*Wartezeit bevor eine neue Übertragung starten darf*/
        if(display_tx_wait>0){//Wenn noch gewartet werden muss
            display_tx_wait--;//wird der Zähler dekrementiert.
        }
        /*Senden an das Display*/
        if(display_tx_data==1 && display_tx_busy ==0 &&
            display_tx_wait == 0 ){//Befinden sich Daten im Buffer, es
            werden gerade keine Daten gesendet und die Wartezeit ist
            abgelaufen
            static int i = 0;
            display_tx_busy = 1;//wird die Busy Flag gesetzt.
            if(display_tx_data_ctr>0){//befinden sich noch Daten im
            Buffer
                CS_DISP_LOW;//wird CS für das Display low gesetzt
                if(databuffer[display_tx_data_ctr-1][i]!='\0'){//
                solange nicht das Ende des String erreicht wurde
                werden Daten gesendet.
                    if(i>1){//wurden schon Adresse und Startbyte
                    gesendet
                        Write_Display(databuffer[display_tx_data_ctr
                        -1][i], 0);//wird der jeweilige Char ohne
                        Startbyte übertragen
                    }else if(i==1){//Wenn der erste Chhar im Array
                    übertragen wird

```

```

        Write_Display(databuffer[display_tx_data_ctr
        -1][i], 2);//muss zuerst ein Startbyte
        gesendet werden.
    }else if(i==0){//Wird die Adresse übertragen
        Write_Display(databuffer[display_tx_data_ctr
        -1][i], 1);//muss hierfür das passende
        Startbyte gesendet werden.
    }
    i++;//nach jedem Zeichen wird die Stelle im Array
    erhöht.
}else{//Wird der 0 Terminator erreicht
    i = 0;//wird die Array Stelle auf 0 gesetzt
    display_tx_data_ctr--;//und der Datencounter für
    den Buffer um 1 verringert.
}
}
}
if(display_tx_data_ctr==0){//Wenn der gesamte Buffer
übertragen wurde
    display_tx_data=0;//Wird das Übertragungsflag zurück
    gesetzt
    CS_DISP_HIGH;//und CS wieder high.
}
display_tx_busy = 0;//ist eine Übertragung abgeschlossen
wird auch Busy wieder auf 0 gesetzt.
}
}
}
/*****
 * TIMER 2 Interrupt-Handler 250ms (LED CW, LED CCW)
 *****/
void TIM2_IRQHandler() {
    if(TIM_GetITStatus(TIM2, TIM_IT_Update)){
        TIM_ClearITPendingBit(TIM2, TIM_IT_Update);//clear
        interrupt flag
        startup_ctr++;//Wartezeit beim Einschalten der
        Handsteuerung
        LED_ctr_high++;//counter für CW und CCW LED
        LED_ctr_dis++;//counter für CW und CCW LED wenn deaktiviert
        Blink_ctr++;//counter für blinkenden Cursor im Menü
        if(Blink_ctr>= 8){//Nach 2 Sekunden
            Blink_ctr = 0;//wird der Counter zurück gesetzt
        }
        /*Speichern von Parametern im EEPROM*/

```

```

if(eeprom_save_ctr==120 || eeprom_save==1){//Wird die
  Impulsfrequenz für 30s nicht verändert, oder das Menü
  verlassen
  eeprom_save=0;//sollen die Werte im EEPROM gespeichert
  werden.
  EE_WriteVariable(eeprom_addr[0], (uint16_t)Irun);//
  Speicher Laufstrom
  EE_WriteVariable(eeprom_addr[1], (uint16_t)Istop);//
  Speicher Stoppstrom
  EE_WriteVariable(eeprom_addr[2], (uint16_t)res);//
  Speicher Schrittauflösung
  EE_WriteVariable(eeprom_addr[3], (uint16_t)
  fpga_limit_ccw);//Speicher Endlageneinstellung CCW
  EE_WriteVariable(eeprom_addr[4], (uint16_t)
  fpga_limit_cw);//Speicher Endlageneinstellung CW
  EE_WriteVariable(eeprom_addr[5], (uint16_t)
  encoder_speed_value);//Speicher Impulsfrequenz
  eeprom_save_ctr++;//Speichercounter um 1 erhöhen
} else if (eeprom_save_ctr<120){//Solange nicht 30 Sekunden
  vorbei sind
  eeprom_save_ctr++;//wird der Speichercounter um 1
  erhöht
}
}
}
/*****
 * TIMER 6 Interrupt-Handler 50ms, Auswertung der Drehencoder
 *****/
void TIM6_DAC_IRQHandler() {
  if(TIM_GetITStatus(TIM6, TIM_IT_Update)){
    TIM_ClearITPendingBit(TIM6, TIM_IT_Update);//clear
    interrupt flag
  /*
  *****/

  * Auswertung Menü-Drehencoder
  *****/
  */
  static int8_t buffer = 0;//Speicher für den aktuellen
  Zählerstand
  /*Positionsbestimmung im Menü*/
  if(menu_state==1 && menu_select == 0){//Wenn das Menü
  aktiv ist und keine Parameter ausgewählt

```

```

  buffer=(int8_t)TIM_GetCounter(MENU);//Speicher den
  aktuellen Zählerstand im Buffer
  encoder_menu_value = encoder_menu_value + buffer;//und
  addiere zur Menüposition
  if(fpga_cw_drive || fpga_ccw_drive){//Wenn der Motor
  in Bewegung
    encoder_menu_value= Grenzwert(encoder_menu_value
    ,1,5);//sind nur Parameter 1 bis 5 einstellbar
  }
} else{//Ist Motor nicht in Bewegung
  encoder_menu_value= Grenzwert(encoder_menu_value
  ,1,7);//sind alle Parameter einstellbar
}
TIM8->CNT=0;//Damit nicht dauerhaft der Zählerstand
addiert wird, wird er auf 0 gesetzt
/*Einstellung des ausgewählten Parameters*/
} else if (menu_state==1 && menu_select == 1){//Wenn das
  Menü aktiv ist und ein Parameter ausgewählt ist
  buffer=(int8_t)TIM_GetCounter(MENU);//wird der
  aktuelle Zählerstand gelesen
  if(buffer!=0){//Hat sich der Wert verändert,
  switch(encoder_menu_value_old){//wird je nach
  Auswahl des Parameters dessen Wert verändert.
  /*Laufstrom*/
  case 1: Irun = Irun+ buffer;//Addiere
  aktuellen Zählerstand zum Wert des
  Parameters
  Irun = Grenzwert(Irun,1,50);//Der
  Laufstrom ist einstellbar von
  0,1A bis 5,0A
  TIM8->CNT=0;//Damit nicht
  dauerhaft der Zählerstand
  addiert wird, wird er auf 0
  gesetzt
  break;
  /*Stoppstrom*/
  case 2: Istop = Istop+ buffer;//Addiere
  aktuellen Zählerstand zum Wert des
  Parameters
  Istop = Grenzwert(Istop,-1,Irun);
  //-1 = Auto, ansonsten 0A bis
  5,0A
  TIM8->CNT=0;//Damit nicht
  dauerhaft der Zählerstand

```

```

        addiert wird, wird er auf 0
        gesetzt
        break;
/*Schrittauflösung*/
case 3:    res = res+ buffer;//Addiere
          aktuellen Zählerstand zum Wert des
          Parameters
          res = Grenzwert(res,0,13);//14
          unterschiedliche
          Schrittauflösungen (siehe
          Manual)
          TIM8->CNT=0;//Damit nicht
          dauerhaft der Zählerstand
          addiert wird, wird er auf 0
          gesetzt
        break;
/*Endlage CCW*/
case 4:    fpga_limit_ccw = fpga_limit_ccw +
          buffer;//Addiere aktuellen Zählerstand zum
          Wert des Parameters
          fpga_limit_ccw = Grenzwert(
          fpga_limit_ccw, 1, 3);//
          Endlageneinstellung: high, low,
          disabled
          TIM8->CNT=0;//Damit nicht
          dauerhaft der Zählerstand
          addiert wird, wird er auf 0
          gesetzt
        break;
/*Endlage CW*/
case 5:    fpga_limit_cw = fpga_limit_cw +
          buffer;//Addiere aktuellen Zählerstand zum
          Wert des Parameters
          fpga_limit_cw = Grenzwert(
          fpga_limit_cw, 1, 3);//
          Endlageneinstellung: high, low,
          disabled
          TIM8->CNT=0;//Damit nicht
          dauerhaft der Zählerstand
          addiert wird, wird er auf 0
          gesetzt
        break;
case 6:    fpga_single_step_factor =
          fpga_single_step_factor +buffer;//Addiere

```

```

          aktuellen Zählerstand zum Wert des
          Parameters
          fpga_single_step_factor= Grenzwert
          (fpga_single_step_factor,
          SINGLESTEP_MIN,SINGLESTEP_MAX);
          //Singlestep Faktor 1x bis 100x
          TIM8->CNT=0;//Damit nicht
          dauerhaft der Zählerstand
          addiert wird, wird er auf 0
          gesetzt
        break;
case 7:    fpga_autodrive_steps=
          fpga_autodrive_steps+buffer*
          AUTODRIVE_FAKTOR;//Addiere aktuellen
          Zählerstand zum Wert des Parameters*Faktor
          fpga_autodrive_steps=Grenzwert(
          fpga_autodrive_steps,
          AUTODRIVE_MIN,AUTODRIVE_MAX);//
          Autodrive Steps
          TIM8->CNT=0;//Damit nicht
          dauerhaft der Zählerstand
          addiert wird, wird er auf 0
          gesetzt
    }
}
/*Encoderwert wird gespeichert für weitere Auswertung*/
if(encoder_menu_value!=encoder_menu_value_old){//Nur bei
  Änderung des Wertes
  encoder_menu_value_old=encoder_menu_value;//wird er
  gespeichert.
}
/*Single Step Modus, Auswertung des Drehencoders*/
if(zmx_entregen_old==0 && menu_state==0 && fpga_cw_drive
==0 && fpga_ccw_drive==0){//Ist die Endstufe aktiv und
der Motor steht ist der Single Step Modus aktiv
buffer=(int8_t)TIM_GetCounter(MENU);//Auswertung
Drehencoder
fpga_single_step_ctr = fpga_single_step_ctr + buffer;
//und Speicherung der Anzahl der Schritte
TIM8->CNT=0;//
/*Single Step CW*/
if(fpga_single_step_ctr > 0){//Wenn die Anzahl der
Schritte positiv ist

```



```

void init_GPIO_encoder(void) {
    /*Drehencoder 1 = Menue*/
    RCC_AHB1PeriphClockCmd(RCC_AHB1Periph_GPIOC, ENABLE);//
        aktiviere Clock an PortC (84Mhz)
    /* Time base configuration */
    GPIO_InitTypeDef GPIO_InitStructure;
    GPIO_InitStructure.GPIO_Pin = GPIO_Pin_6|GPIO_Pin_7;//Pin 6 =
        Encoder Menü A, Pin 7 = Encoder Menue B
    GPIO_InitStructure.GPIO_Mode = GPIO_Mode_AF;//Konfiguriere
        Pins Alternate Function
    GPIO_InitStructure.GPIO_OType = GPIO_OType_PP;//Push Pull Mode
    GPIO_InitStructure.GPIO_Speed = GPIO_Speed_25MHz;//Clock an
        Pins 25MHz
    GPIO_InitStructure.GPIO_PuPd = GPIO_PuPd_NOPULL;//kein Pull up/
        /down
    GPIO_Init (GPIOC, &GPIO_InitStructure);

    GPIO_PinAFConfig(GPIOC,GPIO_PinSource6,GPIO_AF_TIM8);//Timer 8
        an Pin C6
    GPIO_PinAFConfig(GPIOC,GPIO_PinSource7,GPIO_AF_TIM8);//Timer 8
        an Pin C7

    /*Drehencoder 2 = Speed*/
    RCC_AHB1PeriphClockCmd(RCC_AHB1Periph_GPIOE, ENABLE);//
        aktiviere Clock an PortE
    GPIO_InitTypeDef GPIO_InitStructure;
    GPIO_InitStructure.GPIO_Pin = GPIO_Pin_9|GPIO_Pin_11;//Pin 9 =
        Encoder Frequenz A, Pin 11 = Encoder Frequenz B
    GPIO_InitStructure.GPIO_Mode = GPIO_Mode_AF;//Konfiguriere Pins
        Alternate Function
    GPIO_InitStructure.GPIO_OType = GPIO_OType_PP;//Push Pull Mode
    GPIO_InitStructure.GPIO_Speed = GPIO_Speed_25MHz;//Clock an Pins
        25MHz
    GPIO_InitStructure.GPIO_PuPd = GPIO_PuPd_NOPULL;//kein Pull up/
        down
    GPIO_Init (GPIOE, &GPIO_InitStructure);

    GPIO_PinAFConfig(GPIOE,GPIO_PinSource9,GPIO_AF_TIM1);//Timer 1
        an Pin E9
    GPIO_PinAFConfig(GPIOE,GPIO_PinSource11,GPIO_AF_TIM1);//Timer
        1 an Pin E11
}
/*****
Initialisierung Timer für den Encoder für die Menüsteuerung

```

```

*****/
void init_menu_encoder(void)
{
    RCC_APB2PeriphClockCmd(RCC_APB2Periph_TIM8, ENABLE);//
        aktiviere Clock fuer Timer 8 (168Mhz)
    /* Time base configuration */
    TIM_TimeBaseInitTypeDef TIM_TimeBaseStructure;
    TIM_TimeBaseStructure.TIM_Period = ENCODER_PERIOD;//lege Timer
        Periode fest
    TIM_TimeBaseStructure.TIM_Prescaler = 0x1;//Inkrementiere um 1
    TIM_TimeBaseStructure.TIM_ClockDivision = TIM_CKD_DIV4;//Timer
        clock = 41Mhz
    TIM_TimeBaseStructure.TIM_CounterMode = TIM_CounterMode_Up;//
        Aufwärtszähler

    TIM_TimeBaseInit(TIM8, &TIM_TimeBaseStructure);
    TIM_EncoderInterfaceConfig(TIM8, TIM_EncoderMode_TI1,
        TIM_ICPolarity_Rising, TIM_ICPolarity_Rising);//Nur Channel
        1 wird ausgewertet

    TIM8->CNT=0;//Lade Wert in Timer

    /*Filter konfiguration*/
    TIM_ICInitTypeDef TIM_ICInitStruct;
    TIM_ICInitStruct.TIM_Channel = TIM_Channel_1;//Filter an
        Channel 1
    TIM_ICInitStruct.TIM_ICSelection= TIM_ICSelection_DirectTI;//
        Direct Capture
    TIM_ICInitStruct.TIM_ICPrescaler= TIM_ICPSC_DIV8;
    TIM_ICInitStruct.TIM_ICFilter=0x0F;
    TIM_ICInit(TIM8, &TIM_ICInitStruct);

    TIM_Cmd(TIM8, ENABLE);//Timer 8 EN
}
/*****
Initialisierung Timer für den Encoder für die Adjustierung
*****/
void init_adjust_encoder(void)
{
    RCC_APB2PeriphClockCmd(RCC_APB2Periph_TIM1, ENABLE);//
        aktiviere Clock fuer Timer 1 (168Mhz)

    /* Time base configuration */
    TIM_TimeBaseInitTypeDef TIM_TimeBaseStruct;

```

```

TIM_TimeBaseStruct.TIM_Period = ENCODER_PERIOD;//lege Timer
  Periode fest
TIM_TimeBaseStruct.TIM_Prescaler = 0x1;//Inkrementiere um 1
TIM_TimeBaseStruct.TIM_ClockDivision = TIM_CKD_DIV4 ;//Timer
  clock = 42Mhz
TIM_TimeBaseStruct.TIM_CounterMode = TIM_CounterMode_Up;//
  Aufwärtszähler

TIM_TimeBaseInit(TIM1, &TIM_TimeBaseStruct);
TIM_EncoderInterfaceConfig(TIM1, TIM_EncoderMode_TI1,
  TIM_ICPolarity_Rising, TIM_ICPolarity_Rising);//Nur Channel
  1 wird ausgewertet

TIM1->CNT=0;//Lade Wert in Timer

/*Filter konfiguration*/
TIM_ICInitTypeDef TIM_ICInitStruct;
TIM_ICInitStruct.TIM_Channel = TIM_Channel_1;//Filter an
  Channel 1
TIM_ICInitStruct.TIM_ICSelection= TIM_ICSelection_DirectTI;//
  Direct Capture
TIM_ICInitStruct.TIM_ICPrescaler= TIM_ICPSC_DIV8;
TIM_ICInitStruct.TIM_ICFilter=0x0F;
TIM_ICInit(TIM1, &TIM_ICInitStruct);
TIM_Cmd(TIM1, ENABLE);
}
/*****
 * TIMER 6 Initialisierung (84MHz clock), 20Hz = 84MHz/[(499+1)
 * (8399+1)]
 * Update alle 50ms, Interrupt
 *****/
void Timer6_Init(void){
  TIM_TimeBaseInitTypeDef TIM_TimeBaseInitStruct;
  NVIC_InitTypeDef NVIC_InitStruct;

  RCC_APB1PeriphClockCmd(RCC_APB1Periph_TIM6, ENABLE);

  TIM_TimeBaseInitStruct.TIM_Prescaler = 8399;
  TIM_TimeBaseInitStruct.TIM_Period = 499;
  TIM_TimeBaseInitStruct.TIM_ClockDivision = TIM_CKD_DIV4;
  TIM_TimeBaseInitStruct.TIM_CounterMode = TIM_CounterMode_Up;

  TIM_TimeBaseInit(TIM6, &TIM_TimeBaseInitStruct);

```

```

TIM_ITConfig(TIM6, TIM_IT_Update, ENABLE);

TIM_Cmd(TIM6, ENABLE);

NVIC_InitStruct.NVIC_IRQChannel = TIM6_DAC_IRQn;
NVIC_InitStruct.NVIC_IRQChannelPreemptionPriority = 3;
NVIC_InitStruct.NVIC_IRQChannelSubPriority = 0;
NVIC_InitStruct.NVIC_IRQChannelCmd = ENABLE;
NVIC_Init(&NVIC_InitStruct);
}

```

### D.3. ea\_dip203B.c

```

/*****
Firma: DESY Hamburg
Autor: Joshua Supra
Projekt: ZMX-Handsteuerung Serie 3
Datei: ea_dip203B.c
Letzte Aenderung: 30.08.2018
Kurzbeschreibung: Initialisierung fuer das Display, Funktionen für
  das Senden
  und Aufbereiten von Daten an das Display
(c) Copyright 2018 DESY
 *****/
#include "stm32f4xx_conf.h"
#include "ea_dip203B.h"
#include "various.h"
#include "main.h"

/*****
 * Initialisierung: SPI1, Frequenz: 42MHz
 * PIN A4: CS
 * PIN A5: SCLK
 * PIN A6: MISO
 * PIN A7: MOSI
 *****/
void init_display_SPI1(void){
  //GPIO und SPI Typedef
  GPIO_InitTypeDef GPIO_InitStruct;
  SPI_InitTypeDef SPI_InitStruct;

  // Enable Clock an GPIOA
  RCC_AHB1PeriphClockCmd(RCC_AHB1Periph_GPIOA, ENABLE);

```

```

//Konfiguriere GPIO Pins
GPIO_InitStruct.GPIO_Pin = GPIO_Pin_7 | GPIO_Pin_6 |
    GPIO_Pin_5;
GPIO_InitStruct.GPIO_Mode = GPIO_Mode_AF;
GPIO_InitStruct.GPIO_Speed = GPIO_Speed_50MHz;
GPIO_Init(GPIOA, &GPIO_InitStruct);

// Verbinde SPI1 mit Pins
GPIO_PinAFConfig(GPIOA, GPIO_PinSource5, GPIO_AF_SPI1);
GPIO_PinAFConfig(GPIOA, GPIO_PinSource6, GPIO_AF_SPI1);
GPIO_PinAFConfig(GPIOA, GPIO_PinSource7, GPIO_AF_SPI1);

//Konfiguriere NSS Pin
GPIO_InitStruct.GPIO_Pin = GPIO_Pin_4;
GPIO_InitStruct.GPIO_Mode = GPIO_Mode_OUT;
GPIO_InitStruct.GPIO_OType = GPIO_OType_PP;
GPIO_InitStruct.GPIO_Speed = GPIO_Speed_50MHz;
GPIO_InitStruct.GPIO_PuPd = GPIO_PuPd_UP;
GPIO_Init(GPIOA, &GPIO_InitStruct);

// enable peripheral clock
RCC_APB2PeriphClockCmd(RCC_APB2Periph_SPI1, ENABLE);
SPI_InitStruct.SPI_Direction = SPI_Direction_2Lines_FullDuplex
    ; // Full Duplex, MISO, MOSI
SPI_InitStruct.SPI_Mode = SPI_Mode_Master; //
    Mikrokontroller ist Master
SPI_InitStruct.SPI_DataSize = SPI_DataSize_8b; // Paketgröße =
    8 Bit
SPI_InitStruct.SPI_CPOL = SPI_CPOL_High; // Clock high
    wenn idle
SPI_InitStruct.SPI_CPHA = SPI_CPHA_2Edge; // Daten werden
    mit 2 Flanke übernommen
SPI_InitStruct.SPI_NSS = SPI_NSS_Soft |
    SPI_NSSInternalSoft_Set; // Soft NSS
SPI_InitStruct.SPI_BaudRatePrescaler = SPI_BaudRatePrescaler_2
    ; // SPI Frequenz ist 42MHz
SPI_InitStruct.SPI_FirstBit = SPI_FirstBit_LSB; // LSB wird
    zuerst übertragen
SPI_Init(SPI1, &SPI_InitStruct);

SPI_Cmd(SPI1, ENABLE); // enable SPI1
}
/*****

```

```

* TIMER 5 Initialisierung (84MHz clock), 50Hz = 84MHz/[(499+1)
    *(3359+1)]
* Update alle 20ms, Interrupt
*****/
void Timer5_Init(void){
    TIM_TimeBaseInitTypeDef TIM_TimeBaseInitStruct;
    NVIC_InitTypeDef NVIC_InitStruct;

    RCC_APB1PeriphClockCmd(RCC_APB1Periph_TIM5, ENABLE);

    TIM_TimeBaseInitStruct.TIM_Prescaler = 3359;
    TIM_TimeBaseInitStruct.TIM_Period = 499;
    TIM_TimeBaseInitStruct.TIM_ClockDivision = TIM_CKD_DIV4;
    TIM_TimeBaseInitStruct.TIM_CounterMode = TIM_CounterMode_Up;

    TIM_TimeBaseInit(TIM5, &TIM_TimeBaseInitStruct);

    TIM_ITConfig(TIM5, TIM_IT_Update, ENABLE);

    TIM_Cmd(TIM5, ENABLE);

    NVIC_InitStruct.NVIC_IRQChannel = TIM5_IRQn;
    NVIC_InitStruct.NVIC_IRQChannelPreemptionPriority = 1;
    NVIC_InitStruct.NVIC_IRQChannelSubPriority = 0;
    NVIC_InitStruct.NVIC_IRQChannelCmd = ENABLE;
    NVIC_Init(&NVIC_InitStruct);
}
/*****
* TIMER 3 Initialisierung (84MHz clock), 1MHz := 84MHz/[(1+1)
    *(41+1)]
* Update alle 1us, Interrupt
*****/
void Timer3_Init(void){
    TIM_TimeBaseInitTypeDef TIM_TimeBaseInitStruct;
    NVIC_InitTypeDef NVIC_InitStruct;

    RCC_APB1PeriphClockCmd(RCC_APB1Periph_TIM3, ENABLE); //
    aktiviere Clock fuer Timer 3

    TIM_TimeBaseInitStruct.TIM_Prescaler = 1;
    TIM_TimeBaseInitStruct.TIM_Period = 41;
    TIM_TimeBaseInitStruct.TIM_ClockDivision = TIM_CKD_DIV1;
    TIM_TimeBaseInitStruct.TIM_CounterMode = TIM_CounterMode_Up;

```

```

TIM_TimeBaseInit(TIM3, &TIM_TimeBaseInitStruct);

TIM_ITConfig(TIM3, TIM_IT_Update, ENABLE);

TIM_Cmd(TIM3, ENABLE);

NVIC_InitStruct.NVIC_IRQChannel = TIM3_IRQn;
NVIC_InitStruct.NVIC_IRQChannelPreemptionPriority = 0;
NVIC_InitStruct.NVIC_IRQChannelSubPriority = 1;
NVIC_InitStruct.NVIC_IRQChannelCmd = ENABLE;
NVIC_Init(&NVIC_InitStruct);
}
/*****
 * Initialisierungsvorgang fuer das Display (Siehe Manual
 * ea_dip203B), der Kontroller
 * im Display wird fuer die Nutzung konfiguriert
 *****/
void init_display(void) {
    CS_DISP_LOW;
    /* Array mit selbstdefinierten Zeichen*/
    char Zeichen[64] = {
        0x00, 0x1F, 0x11, 0x0F, 0x0F, 0x0E, 0x11, 0x1F, // c mit
        strich negiert
        0x00, 0x1F, 0x0E, 0x0E, 0x0A, 0x0A, 0x15, 0x1F, // w mit
        strich negiert
        0x1F, 0x1F, 0x11, 0x0F, 0x0F, 0x0E, 0x11, 0x1F, // c negiert
        0x1F, 0x1F, 0x0E, 0x0E, 0x0A, 0x0A, 0x15, 0x1F, // w negiert
        0x1F, 0x00, 0x0E, 0x10, 0x10, 0x11, 0x0E, 0x00, // c mit
        strich
        0x1F, 0x00, 0x11, 0x11, 0x15, 0x15, 0x0A, 0x00, // w mit
        strich
        0x0E, 0x11, 0x10, 0x1F, 0x10, 0x11, 0x0E, 0x00, // C
        durchgestrichen
        0x11, 0x11, 0x15, 0x1F, 0x15, 0x15, 0x0A, 0x00, // W
        durchgestrichen
    };
    Write_Display(EXTENSION_REGISTER_OFF, 1);
    while(display_tx_wait); //warte Ausfuerungszeit
    Write_Display(INIT_ENTRY_MD_SET, 1);
    while(display_tx_wait); //warte Ausfuerungszeit
    Write_Display(EXTENSION_REGISTER_ON, 1);
    while(display_tx_wait); //warte Ausfuerungszeit
    Write_Display(INIT_4_LINES_SET, 1);
}

```

```

while(display_tx_wait); //warte Ausfuerungszeit
Write_Display(SEGRAM_ADR_0, 1);
while(display_tx_wait); //warte Ausfuerungszeit
for(int i=0; i!=16; i++){
    Write_Display(EMPTY_CHARACTER, 2);
while(display_tx_wait); //warte Ausfuerungszeit
}
Write_Display(EXTENSION_REGISTER_OFF, 1);
while(display_tx_wait); //warte Ausfuerungszeit
Write_Display(DISPLAY_ON, 1);
while(display_tx_wait); //warte Ausfuerungszeit
Write_Display(CLEAR_DISPLAY, 1);
while(display_tx_wait); //warte Ausfuerungszeit
User_symbol(Zeichen); //Schreibe selbst definierte Zeichen in
das Display
CS_DISP_HIGH;
}
/*****
 * Sende Daten an das Display, mit passenden Start Byte.
 * Festlegung der
 * der Warte Zeit fuer SPI
 * data: Zeichen oder Befehl der gesendet wird
 * mode: Am Anfang einer Uebertragung muss das passend Start
 * Byte
 * uebertragen werden.
 *****/
void Write_Display(unsigned char data, uint16_t mode) {
    switch(mode) {
        case 1: SPI_I2S_SendData(SPI1, START_INSTRUC); break; //
        wenn mode Anweisung sende START_INSTUC
        case 2: SPI_I2S_SendData(SPI1, START_WRITE); break; //wenn
        mode sende Zeichen -> START_WRITE
    }
    while( !(SPI1->SR & SPI_I2S_FLAG_TXE) ); //warte bis
    Uebertragung abgeschlossen
    SPI1_send(data); //sende Character ueber SPI
    if(data == CLEAR_DISPLAY || data == DISPLAY_ON) { //Wenn die
    Anweisung loesche Display oder Display an
    display_tx_wait = 1530; // muss 1,53ms gewartet werden
    bevor die neachste Anweisung gesendet werden darf
    }
    else { //wird ein Zeichen in das Display geschrieben
    display_tx_wait = 43; //muss 43 us gewartet werden.
    }
}

```

```

}
/*****
 * Sende Char an das Display ueber SPI, Aufteilung in lower und
 * higher Byte
 * (vergl. Manual)
 * data: Daten die in das SPI Senderegister geschrieben
 * werden
*****/
void SPI1_send(unsigned char data){
    SPI_I2S_SendData(SPI1, (data & 0x0F)); // sende lower Byte
    while( !(SPI1->SR & SPI_I2S_FLAG_TXE) ); // Warte bis transmit
        complete
    SPI_I2S_SendData(SPI1, ((data>>4) & 0x0F)); //sende higher Byte
    while( !(SPI1->SR & SPI_I2S_FLAG_TXE) ); // Warte bis transmit
        complete
}
/*****
 * Display Fenster unsigned, erstellt ein vorzeichenloses
 * Schreibfenster
 * im Display
 * y: Y-Koordinate im Display
 * x: X-Koordinate im Display
 * value: Wert der im Fenster angezeigt werden soll
 * data: Zusätzliche Zeichen können angefügt werden
 * max_digits: maximale Fensterbreite
*****/
void display_puts_frame(uint8_t y, uint8_t x, uint32_t value, char
    *data, uint8_t max_digits){
    uint8_t cnt = 0;
    uint8_t n = 0;
    char Display_Array[9]= "0";
    n= Itoa_unsigned(value, Display_Array); // wandel den Int to
        ASCII signed und speicher Anzahl der Elemente im Array
    while(*data){ // wenn zusaetzliche Chars angefuegt werden
        sollen
        Display_Array[n+cnt]= *data;
        cnt++; // Anzahl der Chars +1
        data++; // erhoehe Array pointer
    }
    for(uint8_t i= 0; i<(max_digits-cnt-n); i++){ //noch freie
        Stellen im "Fenster"
        Display_Array[n+cnt+i]= '_'; // werden mit Leerzeichen
            aufgefüllt
    }
}

```

```

    Display_Array[9]= '\0';
    display_puts(y,x,Display_Array); //schreibe Daten in das den
        Buffer
}
/*****
 * Display Fenster signed, erstellt ein vorzeichenbehaftetes
 * Schreibfenster
 * im Display
 * y: Y-Koordinate im Display
 * x: X-Koordinate im Display
 * value: Wert der im Fenster angezeigt werden soll
 * data: Zusätzliche Zeichen können angefügt werden
 * max_digits: maximale Fensterbreite
*****/
void display_puts_frame_s(uint8_t y, uint8_t x, uint32_t value,
    char *data, uint8_t max_digits){
    uint8_t cnt = 0;
    uint8_t n = 0;
    char Display_Array[9]= "0";
    n= Itoa_signed(value, Display_Array); // wandel den Int to
        ASCII signed und speicher Anzahl der Elemente im Array
    while(*data){ // wenn zusätzliche Chars angefügt werden sollen
        Display_Array[n+cnt]= *data;
        cnt++; // Anzahl der Chars +1
        data++; // erhöhe Array pointer
    }
    for(uint8_t i= 0; i<(max_digits-cnt-n); i++){ //noch freie
        Stellen im "Fenster"
        Display_Array[n+cnt+i]= '_'; // werden mit Leerzeichen
            aufgefüllt
    }
    Display_Array[9]= '\0';
    display_puts(y,x,Display_Array); //schreibe Daten in das den
        Buffer
}
/*****
 * schreibe String in den Display Buffer
 * y: Y-Koordinate im Display
 * x: X-Koordinate im Display
 * data: String der dargestellt werden soll
*****/
void display_puts(int y, int x, char *data){
    databuffer[display_tx_data_ctr][0] = convert_addr(y, x); //
        Schreibe Koordinaten in den Buffer
}

```

```

int i= 1;
while(*data){//Solange der String nicht zu Ende ist
    databuffer[display_tx_data_ctr][i]= *data;//wird das
        jeweiligen Zeichen in den Buffer geschrieben
    data++;
    i++;
}
databuffer[display_tx_data_ctr][i]= '\0';//Füge Terminator am
    Ende ein
display_tx_data_ctr++;//Erhöhe die Anzahl der zu übertragenden
    Daten
}
/*****
* schreibe ein Zeichen in den Display Buffer (für Sonderzeichen)
*   y: Y-Koordinate im Display
*   x: X-Koordinate im Display
*   data: Zeichen die dargestellt werden sollen
*****/
void display_putc(int y, int x, uint8_t data){
    databuffer[display_tx_data_ctr][0] = convert_addr(y, x);//
        Schreibe Koordinaten in den Buffer
    databuffer[display_tx_data_ctr][1]= data;//Schreibe Zeichen in
        den Buffer
    databuffer[display_tx_data_ctr][2]= '\0';//Füge Terminator am
        Ende ein
    display_tx_data_ctr++;//Erhöhe die Anzahl der zu übertragenden
        Daten
}
/*****
* Umwandlung der Koordinaten für das Display
*   y: Y-Koordinate im Display
*   x: X-Koordinate im Display
*****/
int convert_addr(int y, int x){
    int line;
    switch(y){//Setze Offset für die Zeile
    case 1: line=0x80;break; //Zeile 1
    case 2: line=0xA0;break; //Zeile 2
    case 3: line=0xC0;break; //Zeile 3
    case 4: line=0xE0;break; //Zeile 4
    }
    return line+x-1;//gebe Adresse zurück. Zeile+Spalte-1
}
/*

```

```

*****
* Schreibe Selbstdefiniertes Zeichen in das Display GC RAM
*****
*/
void User_symbol(char *zeichen){
    unsigned char lcd_i; //Anzahl der Zeichen
    for(lcd_i = 0; lcd_i < 8; lcd_i++) {
        Write_Display_CG(lcd_i, &zeichen[lcd_i * 8]);
    }
}
/*
*****
* Schreibe in das Display GC RAM (Pixel für Pixel)
*   addr: Adresse im GC RAM
*   zeichen: Adresse im GC RAM
*****
*/
void Write_Display_CG(unsigned char addr, char *zeichen) {
    unsigned char lcd_i;
    for(lcd_i = 0; lcd_i < 8; lcd_i++) {
        Write_Display(0x40 + addr * 8 + lcd_i,1);//Setze Adresse im GC
            RAM
        while(display_tx_wait);//warte bis Display bereit
        Write_Display(*zeichen,2);//Schreibe Pixel
        while(display_tx_wait);//warte bis Display bereit
        zeichen++;
    }
}
/*
*****
* Schreibe Strom Wert in das Display. Format: X,XA
*   y: Y-Koordinate im Display
*   x: X-Koordinate im Display
*   Wert: Stromwert der Anzeigt werden soll
*****
*/
void display_put_ASCII_Current(uint8_t y, uint8_t x, unsigned int
    Wert){
    char Wert_ACSII[4];//Buffer
    ItoA_point(Wert,Wert_ACSII);// Wandel Wert in ASCII mit Komma
        darstellung

```

```

Wert_ACSII[3]='A';//füge A an
Wert_ACSII[4]='\0';//Terminator am Ende
display_puts(y,x,Wert_ACSII);//Schreibe Buffer in Display
    Buffer
}
/*
*****
* Int Umwandlung in ASCII für die Ströme, Spannung
*   u: Int Wert der gewandelt werden soll
*   Buffer: Speicher für den ASCII Wert
*****
*/
void ItoA_point(uint16_t u, char* Buffer){
    int i = 0;
    do {
        Buffer[i++] = '0'+ u % 10;// Den Restwert aus '0'+u/10
            brechnen
        if (u<10){// Wenn u kleiner als 10 ist wird im Buffer eine
            0 vor u erstellt
            if(i==1){// An der 2 stellen im Sting wird ein
                Buffer[i++]=',';//Komma eingefügt
            }
            if(i==2){// An der 3 Stelle im String wird
                Buffer[i++]='0';// Terminator eingefügt
            }
        }
        if (u>=10){//Wenn u größer als 10 kein Terminator
            if(i==1){// An der 2 stellen im Sting wird ein
                Buffer[i++]=',';// komma eingefügt
            }
        }
        u /= 10;// U durch 10 teilen.
    } while( u > 0 );// Solange U ist größer 0 wird die funktion
        wiederholt.

    Buffer[i]=ASCII_Spiegeln(Buffer,i); //ASCII wert spiegeln
}
/*
*****
* Blink Cursor: Erzeugt ein einen blinkendes Symbol
*   y: Y-Koordinate im Display
*   x: X-Koordinate im Display
*   data: Symbol das angezeigt wird
*****
*/

```

```

void blink_cursor(char *data, uint8_t y, uint8_t x){
    static unsigned char flag = 0;
    if(old_x != x || old_y != y){//Wenn neue Zeigerposition
        Blink_ctr = 0;//Rücksetze Blink Counter
        flag = 0;
        display_puts(old_y,old_x,"_");//lösche vorherige
            Zeigerposition
        old_x = x;//Speicher neue x Position
        old_y = y;//Speicher neue y Position
    }
    if(Blink_ctr==0 && flag==0){//Init Status
        flag = 1;
        display_puts(y,x,data);//Zeichen wird angezeigt
    }else if(Blink_ctr == 3 && flag == 1){//Nach 1,5s
        flag = 0;
        display_puts(y,x,"_");//wird das Zeichen wieder gelöscht
    }else if(Blink_ctr > 3){//Nach 4s
        Blink_ctr = 0;//wird der Blink Counter zurück gesetzt
    }
}

```

#### D.4. various.c

```

/*****
Firma: DESY Hamburg
Autor: Joshua Supra
Projekt: ZMX-Handsteuerung Serie 3
Datei: various.c
Letzte Aenderung: 30.08.2018
Kurzbeschreibung: Diverse Funktionen
(c) Copyright 2018 DESY
*****/
#include "stm32f4xx_conf.h"
#include "various.h"

/*****
* TIMER 2 Initialisierung (84MHz clock), 4Hz = 84MHz/[(4999+1)
* (4199+1)]
* Update alle 250ms, Interrupt
*****/
void Timer2_Init(void){
    TIM_TimeBaseInitTypeDef TIM_TimeBaseInitStruct;
    NVIC_InitTypeDef NVIC_InitStruct;

```

```

RCC_APB1PeriphClockCmd(RCC_APB1Periph_TIM2, ENABLE);

TIM_TimeBaseInitStruct.TIM_Prescaler = 4999;
TIM_TimeBaseInitStruct.TIM_Period = 4199;
TIM_TimeBaseInitStruct.TIM_ClockDivision = TIM_CKD_DIV1;
TIM_TimeBaseInitStruct.TIM_CounterMode = TIM_CounterMode_Up;

TIM_TimeBaseInit(TIM2, &TIM_TimeBaseInitStruct);

TIM_ITConfig(TIM2, TIM_IT_Update, ENABLE);

TIM_Cmd(TIM2, ENABLE);

NVIC_InitStruct.NVIC_IRQChannel = TIM2_IRQn;
NVIC_InitStruct.NVIC_IRQChannelPreemptionPriority = 4;
NVIC_InitStruct.NVIC_IRQChannelSubPriority = 0;
NVIC_InitStruct.NVIC_IRQChannelCmd = ENABLE;
NVIC_Init(&NVIC_InitStruct);
}
/*****
 * UART5 putc
 *****/
void uart5_putc(unsigned char c){
    while(USART_GetFlagStatus(USART5, USART_FLAG_TXE)== RESET);
    USART_SendData(USART5, c);
}
/*****
 * UART5 puts
 *****/
void uart5_puts(const char *s){
    while(*s){
        uart5_putc(*s);
        s++;
    }
}
/*****
 * UART 5 Initialization
 *****/
void UART5_Init(void){
    USART_DeInit(USART5);
    USART_InitTypeDef UART5_init;

    RCC_APB1PeriphClockCmd(RCC_APB1Periph_UART5, ENABLE);

```

```

RCC_AHB1PeriphClockCmd(RCC_AHB1Periph_GPIOC, ENABLE);

GPIO_InitTypeDef GPIO;

GPIO.GPIO_Mode=GPIO_Mode_AF;
GPIO.GPIO_OType=GPIO_OType_PP;
GPIO.GPIO_Pin=GPIO_Pin_12;
GPIO.GPIO_PuPd=GPIO_PuPd_UP;
GPIO.GPIO_Speed=GPIO_Speed_50MHz;
GPIO_Init(GPIOC, &GPIO);

GPIO_PinAFConfig(GPIOC, GPIO_PinSource12, GPIO_AF_UART5);

UART5_init.USART_BaudRate =256000;
UART5_init.USART_WordLength=USART_WordLength_8b;
UART5_init.USART_StopBits=USART_StopBits_1;
UART5_init.USART_Parity=USART_Parity_No;
UART5_init.USART_Mode=USART_Mode_Tx;
UART5_init.USART_HardwareFlowControl=
    USART_HardwareFlowControl_None;
UART5_Init(UART5, &UART5_init);

UART5_Cmd(UART5, ENABLE);
}
/*****
 * UART 5 Initialization
 *****/
void gpio_UART5_Init(void){
    RCC_AHB1PeriphClockCmd(RCC_AHB1Periph_GPIOD, ENABLE);

    GPIO_InitTypeDef GPIO;

    GPIO.GPIO_Mode=GPIO_Mode_OUT;
    GPIO.GPIO_Pin=GPIO_OType_PP;
    GPIO.GPIO_Pin=GPIO_Pin_2;
    GPIO.GPIO_PuPd=GPIO_PuPd_UP;
    GPIO.GPIO_Speed=GPIO_Speed_100MHz;
    GPIO_Init(GPIOD, &GPIO);
}
/*
 *****/
 * Unsigned Integer to ASCII Wandlung

```

```

*      u: Wert der gewandelt werden soll
*      Buffer: Speicher für die ASCII Zeichen
*      return: Anzahl der Zeichen
*****
*/
char ItoA_unsigned(uint32_t u, char* Buffer){
    int i = 0;
    do {
        Buffer[i++] = '0' + u % 10;          // Den Restwert aus '0'+
            u/10 brechnen
        u /= 10;                          // U druch 10 teilen.
    } while( u > 0 );                     // Solange U ist größer
        0 wird die funktion wiederholt.
    Buffer[i]=ASCII_Spiegeln(Buffer,i); // ASCII wert spiegeln

    return i;
}
/*
*****

* Signed Integer to ASCII Wandlung
*      u: Wert der gewandelt werden soll
*      Buffer: Speicher für die ASCII Zeichen
*      return: Anzahl der Zeichen
*****
*/
char ItoA_signed(int32_t u, char* Buffer){
    int i = 0;
    uint8_t sign = 0;
    if (u>0){
        Buffer[0] = '+';                   // Wenn u größer als 0 ist
            wird im Buffer ein + vor u erstellt
        Buffer++;
        sign = 1;
    }
    if (u<0){
        Buffer[0] = '-';                   // Wenn u kleiner als 0
            ist wird im Buffer ein - vor u erstellt
        Buffer++;
        u = (u*-1);
        sign= 1;
    }
    do {

```

```

        Buffer[i++] = '0' + u % 10; // Den Restwert aus '0'+u/10
            brechnen
        u /= 10;                          // U druch 10 teilen.
    } while( u > 0 );                     // Solange U ist größer 0
        wird die funktion wiederholt.

    Buffer[i]=ASCII_Spiegeln(Buffer,i); // ASCII wert spiegeln
    if(sign==1){
        return i+1;
    }else{
        return i;
    }
}
/*
*****

* ASCII String spiegeln
*      Buffer: Wert der gespiegelt wird
*      i: Anzahl der Zeichen
*      return: Rückgabe der Zeichen
*****
*/
char ASCII_Spiegeln(char* Buffer,int i){

    int j=0;
    char tmp=0;

    for( j = 0; j < i / 2; ++j ) {        // den String in sich
        spiegeln
        tmp = Buffer[j];
        Buffer[j] = Buffer[i-j-1];
        Buffer[i-j-1] = tmp;
    }
    Buffer[i] = '\0';                      //einfügen String ende
    return Buffer[i];
}
/*
*****

* Genzwert für Variablen
*      Wert: Wert der begrenzt wird
*      min: Wert Minimum
*      max: Wert Maximum
*      return: Wert begrenzt

```

```

/*****
*/
int32_t Grenzwert(int32_t Wert,int32_t min,int32_t max){
    if (Wert>=max){//Wenn der Wert größer als das Maximum
        Wert=max;//setze Wert = Maximum.
    }
    if (Wert<=min){//Wenn der Wert kleiner als das Minimum
        Wert=min;//setze Wert= Minimum
    }
    return Wert;
}
/*****
* Hex to ASCII Wandlung
*   HEX_Wert: Wert der gewandelt werden soll
*   return: ASCII Wert
*****/
char HtoA(char HEX_Wert){
    char ASCII_Wert;
    if(HEX_Wert <= 9){// Von Hex in ASCII Zeichen umwandlung
        ASCII_Wert = HEX_Wert +0x30;// Wenn H wert kleine/gleich 9
            ist mit 0x30 addieren
    }
    else{
        ASCII_Wert = HEX_Wert +0x37;// Wenn H wert größer als 9
            ist mit 0x37addieren
    }
    return ASCII_Wert;
}
/*****
Debug UART 5 (putty)
*****/
void debug(char* strn, int value){
    char buffer[10] = "0";
    Itoa_unsigned(value, buffer);
    uart5_puts(strn);
    uart5_puts(buffer);
    uart5_putc('\r');uart5_putc('\n');
}

```

## D.5. spi\_fpga.c

```

/*****
Firma: DESY Hamburg

```

```

Autor: Joshua Supra
Projekt: ZMX-Handsteuerung Serie 3
Datei: spi_fpga.c
Letzte Aenderung: 30.08.2018
Kurzbeschreibung: Initialisierung der Kommunikation mit dem FPGA
über SPI,
Funktionen zum Senden und Empfangen von Daten
(c) Copyright 2018 DESY
*****/
#include "stm32f4xx.h"
#include "spi_fpga.h"
#include "various.h"
/*****
* Initialisierung: SPI2, Frequenz: 5,25MHz
*   PIN B10: SCLK
*   PIN A12: CS
*   PIN C2: MISO
*   PIN C3: MOSI
*****/
void init_fpga_SPI2(void){
    GPIO_InitTypeDef GPIO_InitStruct;
    SPI_InitTypeDef SPI_InitStruct;

    RCC_APB1PeriphClockCmd(RCC_APB1Periph_SPI2, ENABLE);// Enable
        Clock für SPI2

    SPI_InitStruct.SPI_Direction = SPI_Direction_2Lines_FullDuplex
        ; // Full Duplex, MISO, MOSI
    SPI_InitStruct.SPI_Mode = SPI_Mode_Master; //
        Mikrokontroller ist Master
    SPI_InitStruct.SPI_DataSize = SPI_DataSize_8b; // Paketgröße
        = 8 Bit
    SPI_InitStruct.SPI_CPOL = SPI_CPOL_Low; // Clock high
        wenn idle
    SPI_InitStruct.SPI_CPHA = SPI_CPHA_2Edge; // Daten werden
        mit 2 Flanke übernommen
    SPI_InitStruct.SPI_NSS = SPI_NSS_Soft |
        SPI_NSSInternalSoft_Set; // Soft NSS
    SPI_InitStruct.SPI_BaudRatePrescaler = SPI_BaudRatePrescaler_8
        ; // SPI Frequenz ist 5.25MHZ
    SPI_InitStruct.SPI_FirstBit = SPI_FirstBit_MSB;// LSB wird
        zuerst übertragen
    SPI_Init(SPI2, &SPI_InitStruct);
    // Enable Clock für GPIOs

```

```

RCC_AHB1PeriphClockCmd(RCC_AHB1Periph_GPIOB, ENABLE);
RCC_AHB1PeriphClockCmd(RCC_AHB1Periph_GPIOC, ENABLE);

GPIO_InitStruct.GPIO_Pin = GPIO_Pin_10;
GPIO_InitStruct.GPIO_Mode = GPIO_Mode_AF;
GPIO_InitStruct.GPIO_Speed = GPIO_Speed_50MHz;
GPIO_Init(GPIOB, &GPIO_InitStruct);

GPIO_InitStruct.GPIO_Pin = GPIO_Pin_2 | GPIO_Pin_3;
GPIO_InitStruct.GPIO_Mode = GPIO_Mode_AF;
GPIO_InitStruct.GPIO_Speed = GPIO_Speed_50MHz;
GPIO_Init(GPIOC, &GPIO_InitStruct);

// Konfiguriere NSS Pin, wird über Software realisiert
GPIO_InitStruct.GPIO_Pin = GPIO_Pin_12;
GPIO_InitStruct.GPIO_Mode = GPIO_Mode_OUT;
GPIO_InitStruct.GPIO_OType = GPIO_OType_PP;
GPIO_InitStruct.GPIO_Speed = GPIO_Speed_50MHz;
GPIO_InitStruct.GPIO_PuPd = GPIO_PuPd_UP;
GPIO_Init(GPIOB, &GPIO_InitStruct);
// Aktiviere AF an GPIOB Pin 10, GPIOC Pin 2 und 3
GPIO_PinAFConfig(GPIOB, GPIO_PinSource10, GPIO_AF_SPI2);
GPIO_PinAFConfig(GPIOC, GPIO_PinSource2, GPIO_AF_SPI2);
GPIO_PinAFConfig(GPIOC, GPIO_PinSource3, GPIO_AF_SPI2);

SPI_Cmd(SPI2, ENABLE);
}
/*****
* TIMER 4 Initialisierung (84MHz clock), 50Hz := 84MHz/[(3359+1)
* (499+1)]
* Update alle 20ms, Interrupt
*****/
void Timer4_Init(void) {
    TIM_TimeBaseInitTypeDef TIM_TimeBaseInitStruct;
    NVIC_InitTypeDef NVIC_InitStruct;

    RCC_APB1PeriphClockCmd(RCC_APB1Periph_TIM4, ENABLE);

    TIM_TimeBaseInitStruct.TIM_Prescaler = 3359;
    TIM_TimeBaseInitStruct.TIM_Period = 499;
    TIM_TimeBaseInitStruct.TIM_ClockDivision = TIM_CKD_DIV1;
    TIM_TimeBaseInitStruct.TIM_CounterMode = TIM_CounterMode_Up;
    TIM_TimeBaseInit(TIM4, &TIM_TimeBaseInitStruct);

```

```

TIM_ITConfig(TIM4, TIM_IT_Update, ENABLE);

TIM_Cmd(TIM4, ENABLE);

NVIC_InitStruct.NVIC_IRQChannel = TIM4_IRQn;
NVIC_InitStruct.NVIC_IRQChannelPreemptionPriority = 2;
NVIC_InitStruct.NVIC_IRQChannelSubPriority = 1;
NVIC_InitStruct.NVIC_IRQChannelCmd = ENABLE;
NVIC_Init(&NVIC_InitStruct);
}
/*****
* Senden von Daten an FPGA insgesamt 48 Takte, R/W (1 Bit, MSB),
  Adresse
* (7 Bit, MSB +1 bis MSB+7) und Daten (Letzten 32 Bit)
*   rw: Lese/Schreib-Anweisung: R=0, W=1
*   addr: Registeradresse im FPGA
*   data: Daten die gesendet werden sollen
*****/
signed long int send_FPGA(uint8_t rw, uint8_t addr, uint32_t data)
{
    CS_FPGA_LOW; //Setze CS low
    signed long int buffer = 0; // init Buffer
    //Zerlege 32 Bit Daten in 4 Byte
    uint8_t a = data & 0xFF; // 7 downto 0
    uint8_t b = (data >> 8) & 0xFF; // 15 downto 8
    uint8_t c = (data >> 16) & 0xFF; // 23 downto 16
    uint8_t d = (data >> 24) & 0xFF; // 31 downto 24
    if(rw==1) {
        SPI2_send(addr + 0x80); // wenn W setze MSB high und sende
        mit Adresse
    }
    else {
        SPI2_send(addr); // ansonsten MSB low und Adresse
    }
    SPI2_send(0); // Dummy Byte um FPGA zu ermöglichen Daten auf
    MISO zu legen
    buffer = SPI2_send(d); // sende 31 downto 24 und schreibe
    empfangene Daten in Buffer
    buffer = (buffer << 8) | SPI2_send(c); // sende 23 downto 16
    und schreibe empfangene Daten in Buffer
    buffer = (buffer << 8) | SPI2_send(b); // sende 15 downto 8
    und schreibe empfangene Daten in Buffer
    buffer = (buffer << 8) | SPI2_send(a); // sende 7 downto 0 und
    schreibe empfangene Daten in Buffer

```

```

    CS_FPGA_HIGH;// Setze CS high
    return buffer;// gebe empfangene Daten zurÃ¼ck
}
/*****
 * Senden von Char an FPGA, mit gleichzeitiger aufnahme der Daten
 vom MISO,
 * return empfangenen Char
 * data: Daten die gesendet werden sollen
 *****/
uint8_t SPI2_send(unsigned char data){
    SPI_I2S_SendData(SPI2, data);
    while( !(SPI2->SR & SPI_I2S_FLAG_TXE) ); // warte bis Senden
    vollstÃ¤ndig
    while( !(SPI2->SR & SPI_I2S_FLAG_RXNE) ); // warte bis
    Empfangen vollstÃ¤ndig
    return SPI_I2S_ReceiveData(SPI2);// gebe empfangene Daten
    zurÃ¼ck
}
/*****
 * Berechnung des DDS ZÃ¤hler Wert
 * f: Frequenz die erzeugt werden soll
 * return: RÃ¼ckgabe ZÃ¤hlerwert fÃ¼r DDS
 *****/
uint32_t calc_DDS_count(uint32_t f){
    float count_temp = 0;
    count_temp =(f*DDS_K)+0.5;//Berechne Wert, +0.5 fÃ¼r korrekte
    Rundung
    return count_temp;
}

```

## D.6. I2C.c

```

/*****
Firma: DESY Hamburg
Autor: Joshua Supra
Projekt: ZMX-Handsteuerung Serie 3
Datei: I2C.c
Letzte Aenderung: 30.08.2018
Kurzbeschreibung: Initialisierung fuer das digitale Potentiometer
zum Einstellen
des Kontrasts vom Display
(c) Copyright 2018 DESY
 *****/

```

```

#include "stm32f4xx_conf.h"
#include "I2C.h"
#include "various.h"
/*****
 * Setze den Wert des Potentiometers
 * wert: Poti Wert 0-255
 *****/
void Set_Display_contrast(uint8_t wert){
    uint8_t addr = 0b00101111; //Adresse des Poti
    while(I2C_GetFlagStatus(I2C1, I2C_FLAG_BUSY));
    I2C_GenerateSTART(I2C1, ENABLE);//erzeuge Startbedingung
    while(!I2C_CheckEvent(I2C1, I2C_EVENT_MASTER_MODE_SELECT));//
    warte auf Ack Start vom Poti
    I2C_Send7bitAddress(I2C1, addr << 1, I2C_Direction_Transmitter
    );// Sende Adresse
    while(!I2C_CheckEvent(I2C1,
    I2C_EVENT_MASTER_TRANSMITTER_MODE_SELECTED));// warte auf
    Ack Adresse vom Poti
    I2C_Write(0b00111111);
    I2C_Write(wert);// schreibe Poti Wert
    I2C_GenerateSTOP(I2C1, ENABLE);//erzeuge Stoppbedingung
}
/*****
 * Sende Byte Ã¼ber I2C
 * data: Byte das Ã¼ber I2C gesendet werden soll
 *****/
void I2C_Write(uint8_t data){
    I2C_SendData(I2C1, data);
    while(!I2C_CheckEvent(I2C1, I2C_EVENT_MASTER_BYTE_TRANSMITTED)
    );//Warte bis Byte Ã¼bertragen
}
/*****
 * Initialisierung I2C fÃ¼r Diplay Kontrast Potentiometer
 * Parameter:
 * Clock : 50kHz
 * Adresse: 7 Bit
 * Ack: Adresse

 * PIN B6 SCL
 * PIN B7 SDA
 *****/
void init_I2C(void){
    //GPIO und I2C Typedefs
    GPIO_InitTypeDef GPIO_InitStructure;

```

```

I2C_InitTypeDef I2C_InitStruct;

//Enable CLock für GPIOB und I2C1
RCC_APB1PeriphClockCmd(RCC_APB1Periph_I2C1, ENABLE);
RCC_AHB1PeriphClockCmd(RCC_AHB1Periph_GPIOB, ENABLE);

//Konfiguriere PINS für I2C
GPIO_InitStruct.GPIO_Pin = GPIO_Pin_6 | GPIO_Pin_7;
GPIO_InitStruct.GPIO_Mode = GPIO_Mode_AF;
GPIO_InitStruct.GPIO_Speed = GPIO_Speed_2MHz;
GPIO_InitStruct.GPIO_OType = GPIO_OType_OD;
GPIO_InitStruct.GPIO_PuPd = GPIO_PuPd_UP;
GPIO_Init(GPIOB, &GPIO_InitStruct);

// Enable alternate Function
GPIO_PinAFConfig(GPIOB, GPIO_PinSource6, GPIO_AF_I2C2);
GPIO_PinAFConfig(GPIOB, GPIO_PinSource7, GPIO_AF_I2C2);

//Konfiguriere I2C
I2C_InitStruct.I2C_ClockSpeed = 50000;//I2C clock 50kHz
I2C_InitStruct.I2C_Mode = I2C_Mode_I2C;//I2C Modus
I2C_InitStruct.I2C_DutyCycle = I2C_DutyCycle_2;
I2C_InitStruct.I2C_OwnAddress1 = 0x00;//Eigene Adresse 0x00
I2C_InitStruct.I2C_Ack = I2C_Ack_Disable;//Kein Data Ack
I2C_InitStruct.I2C_AcknowledgedAddress =
    I2C_AcknowledgedAddress_7bit;

I2C_Init(I2C1, &I2C_InitStruct);

I2C_Cmd(I2C1, ENABLE);
}

```

## D.7. gpio.c

```

/*****
Firma: DESY Hamburg
Autor: Joshua Supra
Projekt: ZMX-Handsteuerung Serie 3
Datei: gpio.c
Letzte Aenderung: 30.08.2018
Kurzbeschreibung: Initialisierung der GPIOs für Taster und LEDs
(c) Copyright 2018 DESY
*****/

```

```

#include "stm32f4xx.h"
#include "gpio.h"

/*****
* Initialisierung der GPIOs für Taster und Leds
*   PIN A8      LEDCW_1      C8      LED_ZMX_1
*   PIN A9      LEDCW_2      C9      LED_ZMX_2
*   PIN A10     LEDCCW_1
*   PIN A11     LEDCCW_2
*
*   PIN D8      Taster Menu      D12      Taster CCW
*   PIN D9      Taster P-Reset    D13      Taster Stop
*   PIN D10     Taster Entregen   D14      Taster Reserve
*   PIN D11     Taster CW
*
*   PIN C5      Taster Encoder Menu
*   PIN E12     Taster Encoder Frequenz
*****/
void init_GPIOs(void) {
    GPIO_InitTypeDef GPIO;

    RCC_AHB1PeriphClockCmd(RCC_AHB1Periph_GPIOA, ENABLE);//Enable
        Clock GPIO bank A
    RCC_AHB1PeriphClockCmd(RCC_AHB1Periph_GPIOC, ENABLE);//Enable
        Clock GPIO bank C
    RCC_AHB1PeriphClockCmd(RCC_AHB1Periph_GPIOD, ENABLE);//Enable
        Clock GPIO bank D
    RCC_AHB1PeriphClockCmd(RCC_AHB1Periph_GPIOE, ENABLE);//Enable
        Clock GPIO bank D
    /***** LED Limits CW & CCW *****/
    GPIO.GPIO_Mode=GPIO_Mode_OUT;
    GPIO.GPIO_Pin=GPIO_OType_PP;
    GPIO.GPIO_Pin=GPIO_Pin_8 | GPIO_Pin_9 | GPIO_Pin_10 |
        GPIO_Pin_11;
    GPIO.GPIO_PuPd=GPIO_PuPd_UP;
    GPIO.GPIO_Speed=GPIO_Speed_2MHz;
    GPIO_Init(GPIOA, &GPIO);

    GPIO_ResetBits(GPIOA, GPIO_Pin_9);
    GPIO_ResetBits(GPIOA, GPIO_Pin_11);
    /***** LED ZMX ON *****/
    GPIO.GPIO_Mode=GPIO_Mode_OUT;
    GPIO.GPIO_Pin=GPIO_OType_PP;
    GPIO.GPIO_Pin=GPIO_Pin_8 | GPIO_Pin_9;
}

```

```

GPIO.GPIO_PuPd=GPIO_PuPd_UP;
GPIO.GPIO_Speed=GPIO_Speed_2MHz;
GPIO_Init (GPIOC, &GPIO);
/*----- Input Buttons -----*/
GPIO.GPIO_Mode=GPIO_Mode_IN;
GPIO.GPIO_Pin=GPIO_OType_PP;
GPIO.GPIO_Pin=GPIO_Pin_8 | GPIO_Pin_9 | GPIO_Pin_10 |
    GPIO_Pin_11 | GPIO_Pin_12 | GPIO_Pin_13 | GPIO_Pin_14;
GPIO.GPIO_PuPd=GPIO_PuPd_UP;
GPIO.GPIO_Speed=GPIO_Speed_2MHz;
GPIO_Init (GPIOD, &GPIO);

GPIO.GPIO_Mode=GPIO_Mode_IN;
GPIO.GPIO_Pin=GPIO_OType_PP;
GPIO.GPIO_Pin=GPIO_Pin_5;
GPIO.GPIO_PuPd=GPIO_PuPd_NOPULL;
GPIO.GPIO_Speed=GPIO_Speed_2MHz;
GPIO_Init (GPIOC, &GPIO);

GPIO.GPIO_Mode=GPIO_Mode_IN;
GPIO.GPIO_Pin=GPIO_OType_PP;
GPIO.GPIO_Pin=GPIO_Pin_12;
GPIO.GPIO_PuPd=GPIO_PuPd_NOPULL;
GPIO.GPIO_Speed=GPIO_Speed_2MHz;
GPIO_Init (GPIOE, &GPIO);
}

```

## D.8. ZMX.c

```

/*****
Firma: DESY Hamburg
Autor: Joshua Supra
Projekt: ZMX-Handsteuerung Serie 3
Datei: ZMX.c
Letzte Aenderung: 30.08.2018
Kurzbeschreibung: Initialisierung der Kommunikation mit der ZMX-
    Endstufe über
UART, Funktionen zum Senden und Empfangen von Daten
(c) Copyright 2018 DESY
*****/
#include "stm32f4xx.h"
#include "ZMX.h"
#include "various.h"

```

```

#include "main.h"

/*****
* UART 4 Initialisierung (ZMX Kommunikation)
* Parameter:
*   Baudrate : 57000
*   8 Bits/Byte
*   1 Stoppbit
*   1 Paritybit
*   PIN A0      TX
*   PIN A1      RX
*****/
void init_uart_ZMX(void) {
    USART_InitTypeDef UART4_init;
    NVIC_InitTypeDef NVIC_InitStructure;

    RCC_APB1PeriphClockCmd(RCC_APB1Periph_UART4, ENABLE); //
        aktiviere Clock an Port A
    RCC_AHB1PeriphClockCmd(RCC_AHB1Periph_GPIOA, ENABLE); //
        aktiviere Clock an UART4

    GPIO_InitTypeDef GPIO;

    GPIO.GPIO_Pin=GPIO_Pin_0 | GPIO_Pin_1; //wähle Pin A0=TX und A1
        =RX aus,
    GPIO.GPIO_Mode=GPIO_Mode_AF; //aktiviere alternative Funktion
    GPIO.GPIO_OType=GPIO_OType_PP; //Pins im Push-Pull Modus
    GPIO.GPIO_PuPd=GPIO_PuPd_UP; //aktiviere internen Pull up
    GPIO.GPIO_Speed=GPIO_Speed_50MHz; // Clock an den Pins 50MHz

    /*initialisiere Pins*/
    GPIO_Init (GPIOA, &GPIO);

    GPIO_PinAFConfig(GPIOA, GPIO_PinSource0, GPIO_AF_UART4); //
        Konfiguriere A0 als UART
    GPIO_PinAFConfig(GPIOA, GPIO_PinSource1, GPIO_AF_UART4); //
        Konfiguriere A1 als UART
    UART4_init.USART_BaudRate =57600;
    UART4_init.USART_WordLength=USART_WordLength_8b;
    UART4_init.USART_StopBits=USART_StopBits_1;
    UART4_init.USART_Parity=USART_Parity_No;
    UART4_init.USART_Mode=USART_Mode_Tx | USART_Mode_Rx; //Duplex
        betrieb

```

```

UART4_init.USART_HardwareFlowControl=
    USART_HardwareFlowControl_None;
USART_Init(UART4, &UART4_init);// initialisiere UART4

USART_ITConfig(UART4, USART_IT_RXNE, ENABLE);// aktiviere
    UART4 RX Interrupt

/*Konfiguriere Interrupt für UART4  RX*/
NVIC_InitStructure.NVIC_IRQChannel = UART4_IRQn;
NVIC_InitStructure.NVIC_IRQChannelPreemptionPriority = 2;
NVIC_InitStructure.NVIC_IRQChannelSubPriority = 1;
NVIC_InitStructure.NVIC_IRQChannelCmd = ENABLE;
NVIC_Init(&NVIC_InitStructure);

/*aktiviere UART4*/
USART_Cmd(UART4, ENABLE);
}
/*****
 * sende Char über UART4 an ZMX
 *   data: Character der übertragen wird
 *****/
void uart4_putc(unsigned char data){
while(USART_GetFlagStatus(UART4, USART_FLAG_TXE)== RESET);//Warte
    bis Senderegister leer
    USART_SendData(UART4, data);//sende Daten
}
/*****
 * sende String über UART4 an ZMX
 *   data: String der übertragen wird
 *****/
void uart4_puts(char *data){
    while(*data){//Solange das Array nicht leer ist
        uart4_putc(*data);//sende das jeweilige Array Elemente
        data++;//erhöhe Adresse
    }
}
/*****
 * Befehl mit Wert an die ZMX-Endstufe senden
 *   Befehl: Befehl der gesendet werden soll
 *   wert_binaer: Wert des Befehls (z.B. Laufstrom in A)
 *****/
void send_ZMX(char *Befehl, uint16_t wert_binaer){
    char ZMX_wert_ASCII[4];// ZMX_wert_ASCII(0|0|0|String Ende)
    uint8_t Pruefsumme=0;// variable für die Prüfsumme

```

```

uint8_t csh=0;// variable für High Nibble der Prüfsumme
uint8_t csl=0;// variable für low Nibble der Prüfsumme
uint8_t k=0;// Lauf variable für die Prüfsummen berechnung
uint8_t i = 0;// Lauf variable für das umwandel von Binär in
    ASCII
uint8_t l=0;
/*Den zu senden Wert von Binär zu ASCII umwandel*/
do {
    ZMX_wert_ASCII[i++] = '0' + wert_binaer % 10;
    wert_binaer /= 10;// U durch 10 teilen.
} while( wert_binaer > 0 );// Solange U ist größer 0 wird
    die funktion wiederholt
ZMX_wert_ASCII[i]=ASCII_Spiegeln(ZMX_wert_ASCII,i);// ASCII
    wert spiegeln
/*Prüfsummenberechnung*/
while (ZMX_wert_ASCII[k]){// Solange druchlaufen bis der Sting
    zuende ist
    Pruefsumme=(Pruefsumme^ZMX_wert_ASCII[k++]);// Jeder
        Stelle vom Sting (ver)Xor und auf Prüfsumme schreiben
    }
Pruefsumme=(Pruefsumme^':'^ZMX_Adresse_H^ZMX_Adresse_L);//
    Prüfsumme mit ':' (Begrenzer) und dem Befehle (ver)Xor
while (*Befehl){
    Pruefsumme=Pruefsumme^*Befehl;
    Befehl++;
    l++;
}
Befehl=Befehl-1;
/*Prüfsummenberechnung von Binär in ASCII umwandeln*/
csh=(Pruefsumme>>4);// Prüfsumme 4 Bits nach Rechts schieben
    um High Nibbel zu erzeugen
csl=(Pruefsumme&0x0F);// Prüfsumme mit 0F (ver)AND um den Low
    Nibble zu erzeugen

csh=HtoA(csh);// ASCII wert erstellen
csl=HtoA(csl);// ASCII wert erstellen
/*Prüfsummenberechnung von Binär in ASCII umwandeln*/
uart4_putc(0x02);// Start_Sring Senden
uart4_putc(ZMX_Adresse_H);// ZMX_Adresse_H senden
uart4_putc(ZMX_Adresse_L);// ZMX_Adresse_L senden
while (*Befehl){// Befehl(e) Senden
    uart4_putc(*Befehl);
    Befehl++;
}

```

```

uart4_puts(ZMX_wert_ASCII); // Wert Senden
uart4_putc('.'); // Begrenzer Senden
uart4_putc(csh); // Prüfsumme High Nibble Senden
uart4_putc(csl); // Prüfsumme LOW Nibble Senden
uart4_putc(0x03); // Stop_Sring Senden
ZMX_Daten_gesendet=1; // ZMX_Daten_gesendet auf 1 setzen
}
/*****
 * ZMX Adresse herausfinden
 *****/
void ZMX_get_address(void) {
    static uint8_t adresse=0x30; //Startadresse
    static uint8_t adresse_ok=0; //Flag für Adresse gefunden
    while(adresse_ok== 0) { //Solange die Adresse nicht gefunden
        wurde
        send_ZMX("U", 0); //wird versucht die ZMX-Endstufe zu
            aktivieren
        send_ZMX("B", 0); //und die Version auszulesen.
        if(ZMX_Daten_Empfangen[3] != 'b') { //Wenn der Befehl nicht
            zurück gegeben wurde
            adresse++; //wird die Adresse Schrittweise erhöht.
            if(adresse>0xF) { //Wenn die Adresse größer 15 ist
                adresse=0; //wid sie zurück gesetzt
            }
            ZMX_Adresse_L=HtoA(adresse); //Wandeln der Adresse in
                ASCII
            ZMX_Datensatz_Empfangen=0;
        } else if(ZMX_Datensatz_Empfangen==1 && ZMX_Daten_Empfangen
            [3]== 'b') { //Wenn Befehl erfolgreich empfangen wurde
            adresse_ok=1; //Adresse gefunden
            ZMX_Adresse_L=ZMX_Daten_Empfangen[2]; //Die Adresse
                wird gespeichert
        }
    }
}
/*****
 * Interrupt-Handler für Empfang von Daten über UART4, ZMX-
 * Endstufe
 *****/
void UART4_IRQHandler(void) {
    static uint8_t Start = 0; //Startbit Flag
    static uint8_t cnt = 0; //Datencounter
    static uint8_t data= 0; //Buffer für empfangene Daten
    /*Wenn Empfangsregister nicht leer ist*/

```

```

    if( USART_GetITStatus(UART4, USART_IT_RXNE) != RESET ) {
        data = UART4->DR; //kopiere Daten aus Empfangsregister
        /*Wenn Startbit empfangen und keine Übertragung*/
        if(data == 0x02 && Start == 0) {
            Start = 1; // Setze Startbit Flag
        }
        /*Wenn Beginn einer Übertragung*/
        if(Start == 1) {
            ZMX_Daten_Empfangen[cnt++]= data; //schreibe empfangene
                Daten in Empfangsregister, inkrementiere
                Datencounter
            /*Wenn Ende der Übertragung und Datencounter nicht
                überlaufen*/
            if(data == 0x03 && cnt < 20) {
                ZMX_Daten_Empfangen[cnt++]= '\0'; //hänge \0 an das
                    Arrayende
                ZMX_Datensatz_Empfangen =1; //Setze Flag für
                    Datensatz empfangen
                Start =0;
                cnt =0;
            }
            /*Wenn Überlauf beende Übertragung*/
            else if(cnt == 20) {
                cnt= 0;
                Start = 0;
            }
        }
    }
    USART_ClearITPendingBit (UART4,USART_IT_RXNE); //Lösche RX
        Interruptflag
}

```

# Versicherung über die Selbstständigkeit

Hiermit versichere ich, dass ich die vorliegende Arbeit im Sinne der Prüfungsordnung nach §16(5) APSO-TI-BM ohne fremde Hilfe selbstständig verfasst und nur die angegebenen Hilfsmittel benutzt habe. Wörtlich oder dem Sinn nach aus anderen Werken entnommene Stellen habe ich unter Angabe der Quellen kenntlich gemacht.

---

Ort, Datum

---

Unterschrift